

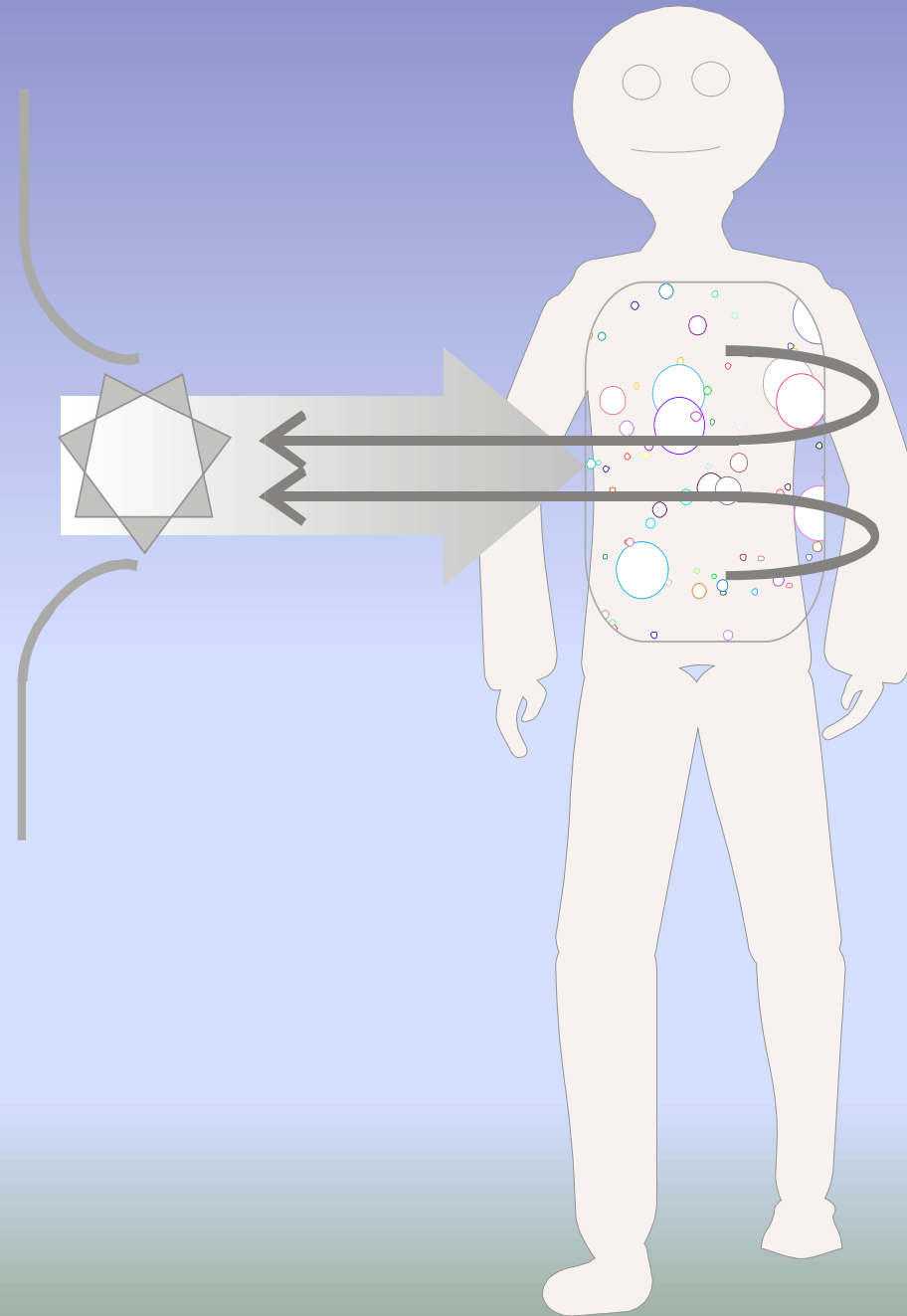


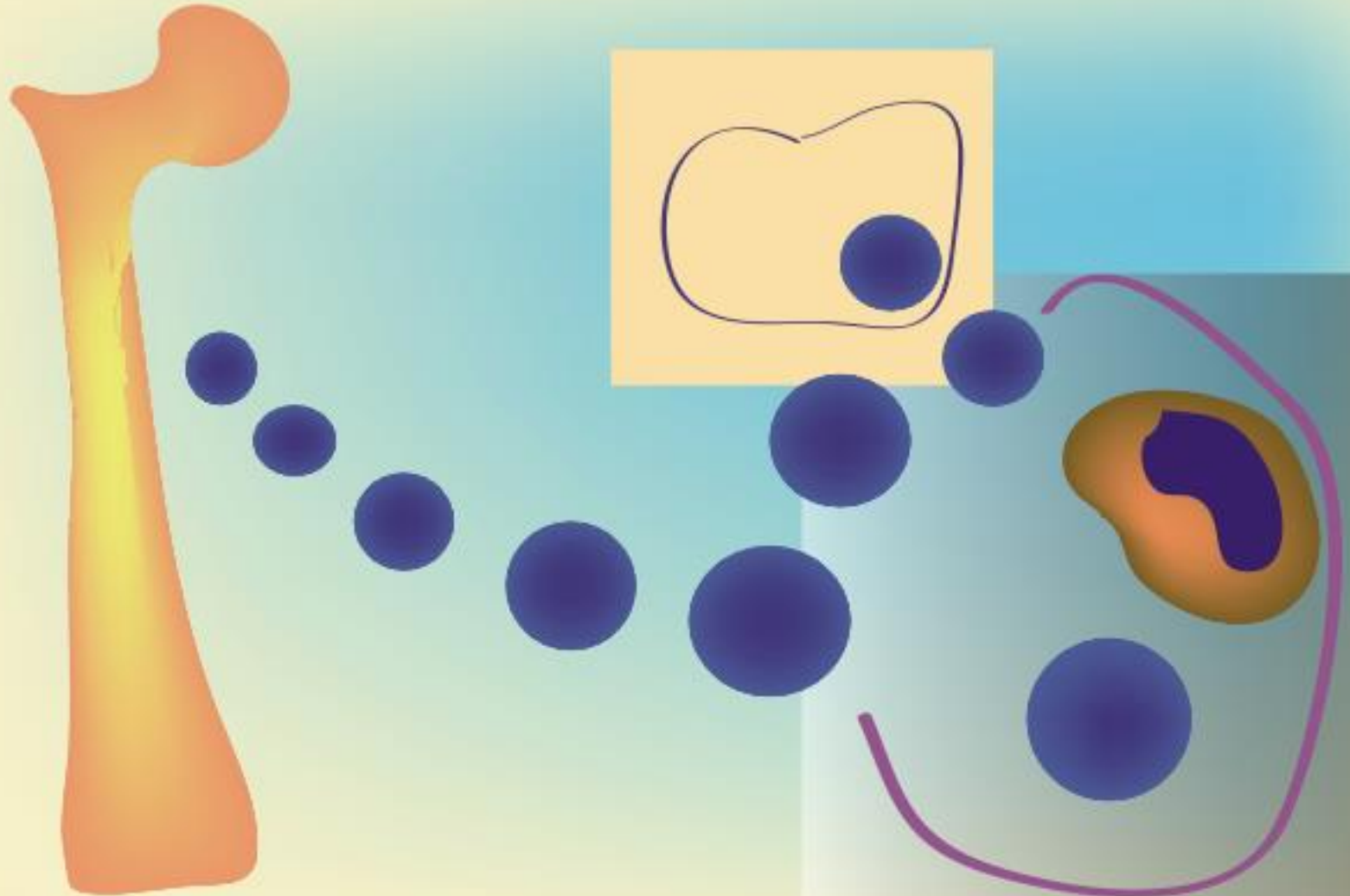
Patología linfática

2017

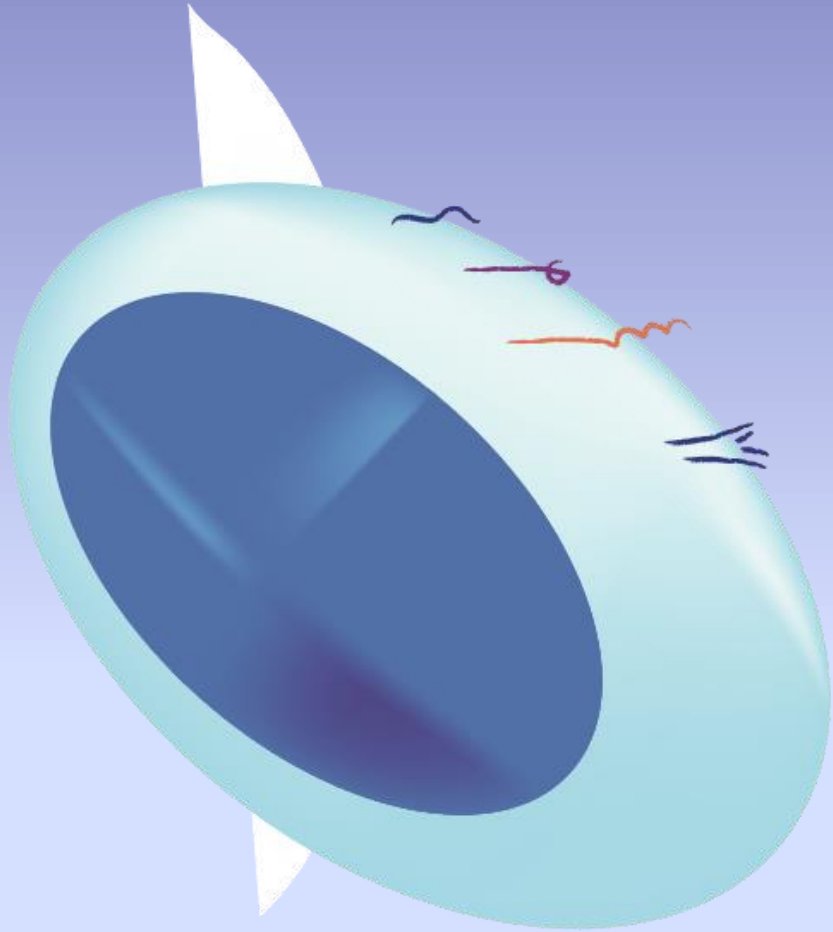
Carlos Ponzinibbio- María Lima

El tejido linfático
otorga la base
celular al
Sistema inmune



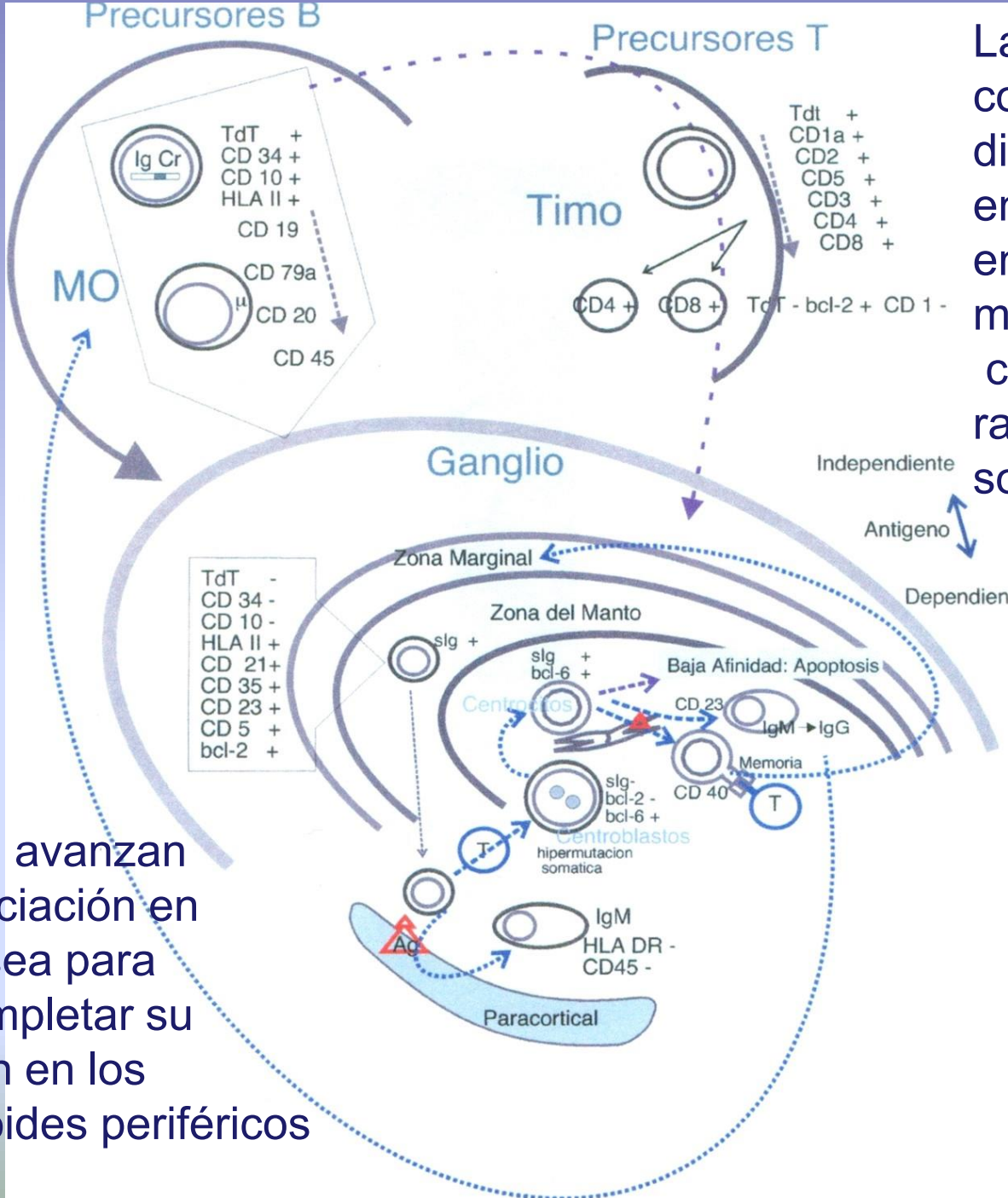


Todas la células linfoides tiene origen en un precursor común de la médula ósea

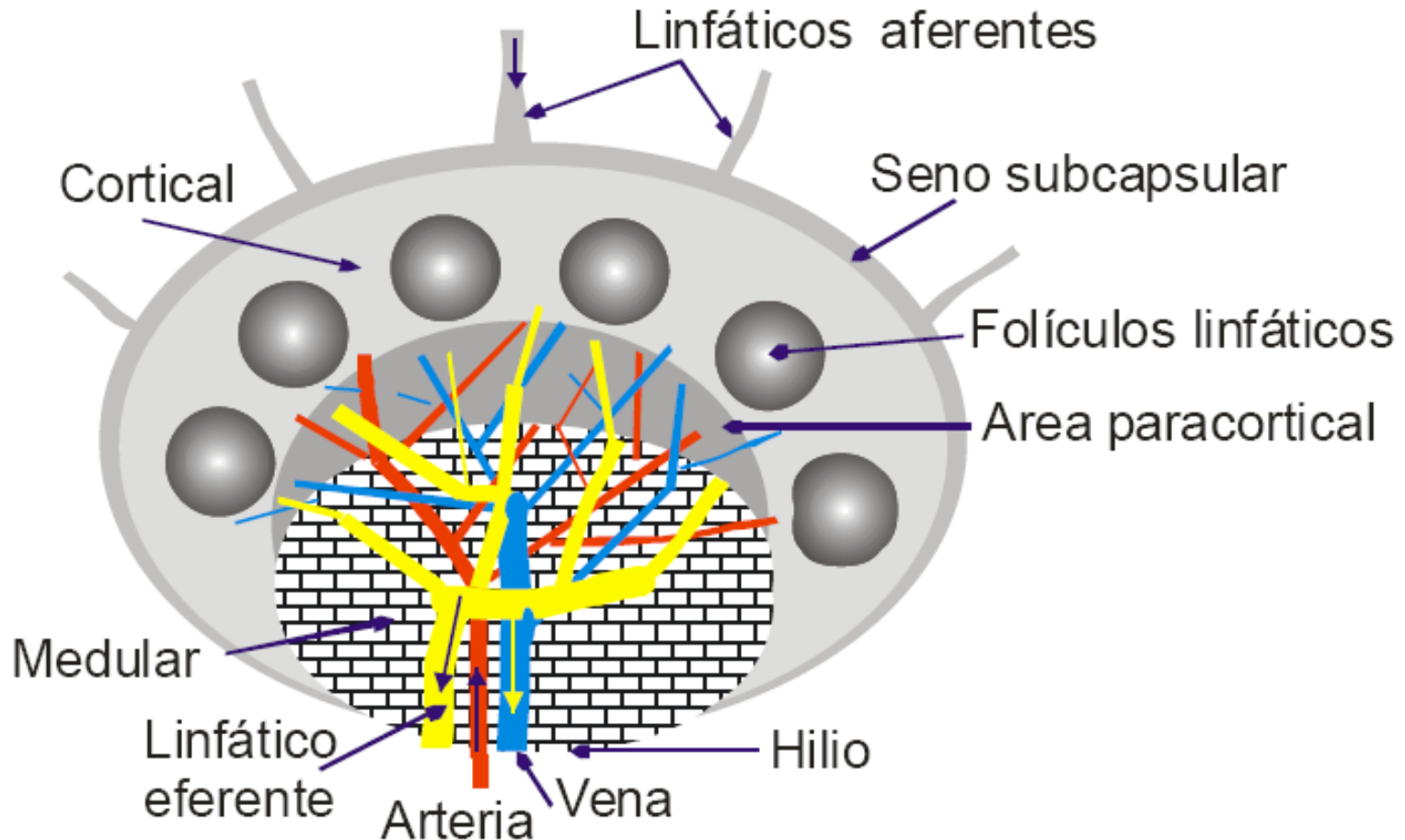


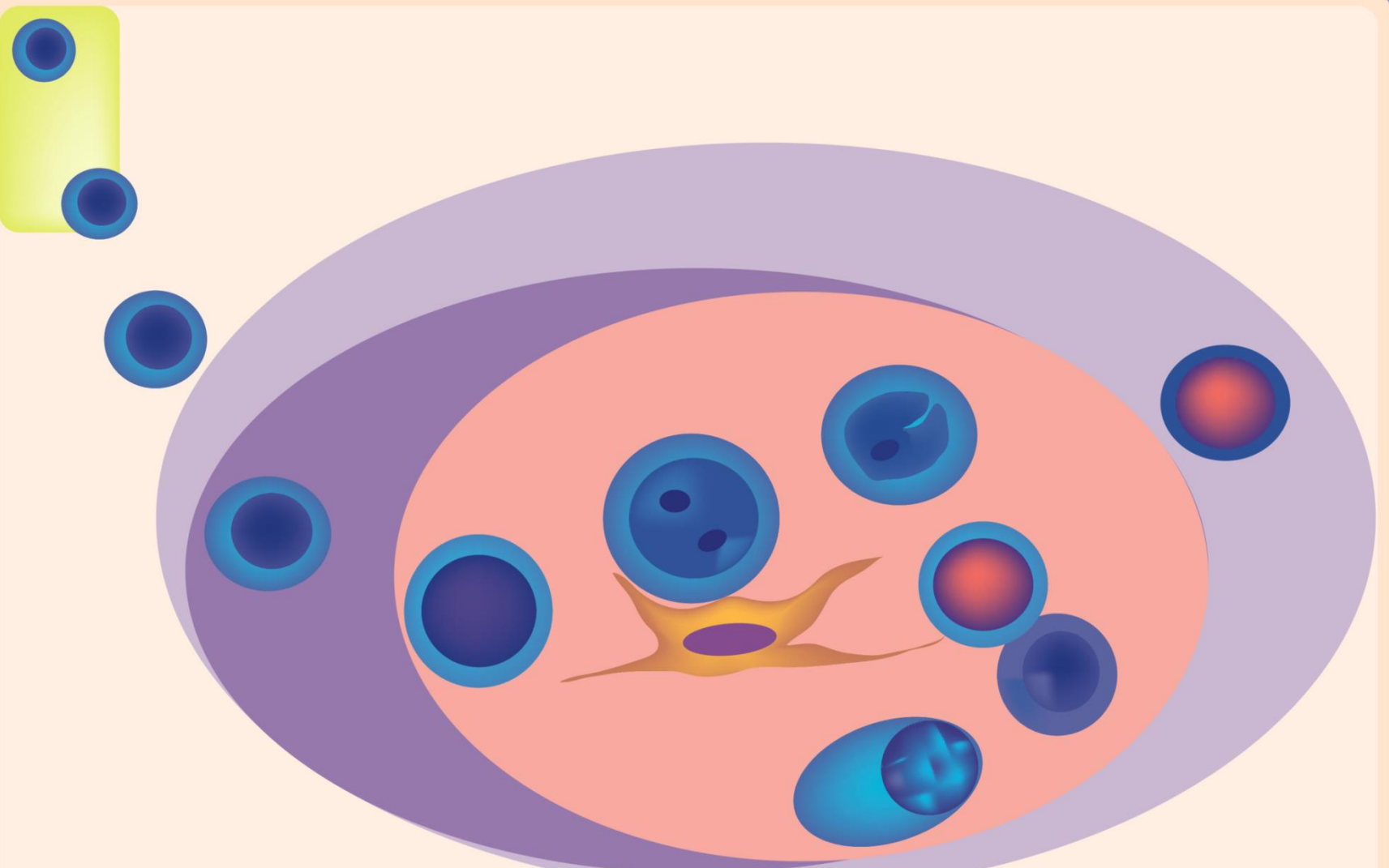
El desarrollo de anticuerpos monoclonales ha permitido reconocer diferentes poblaciones y estadios de células linfoides

Las células T completan su diferenciación en el timo para emigrar del mismo como células colaboradoras o supresoras

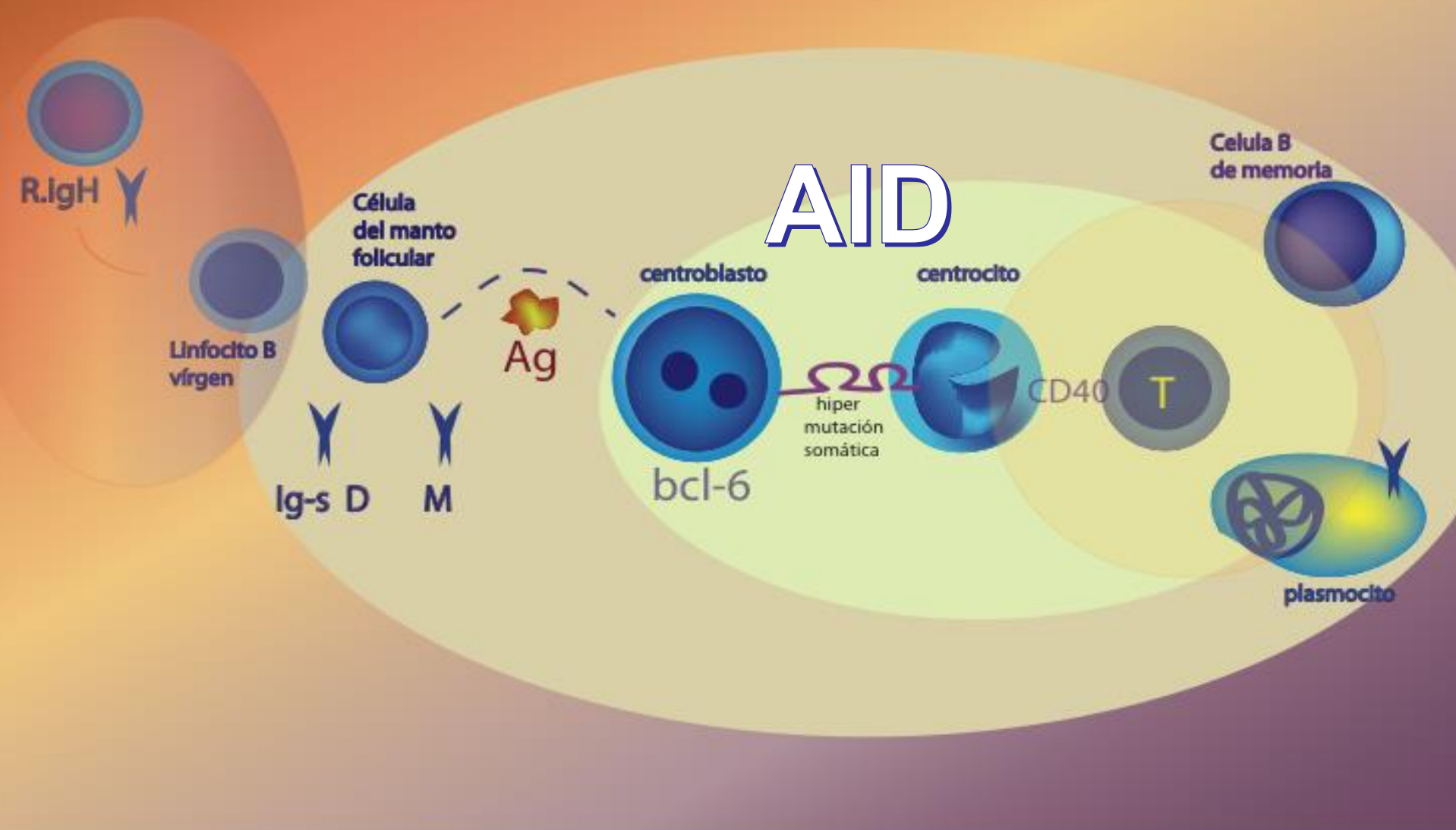


Esquema de la estructura de un ganglio linfático normal

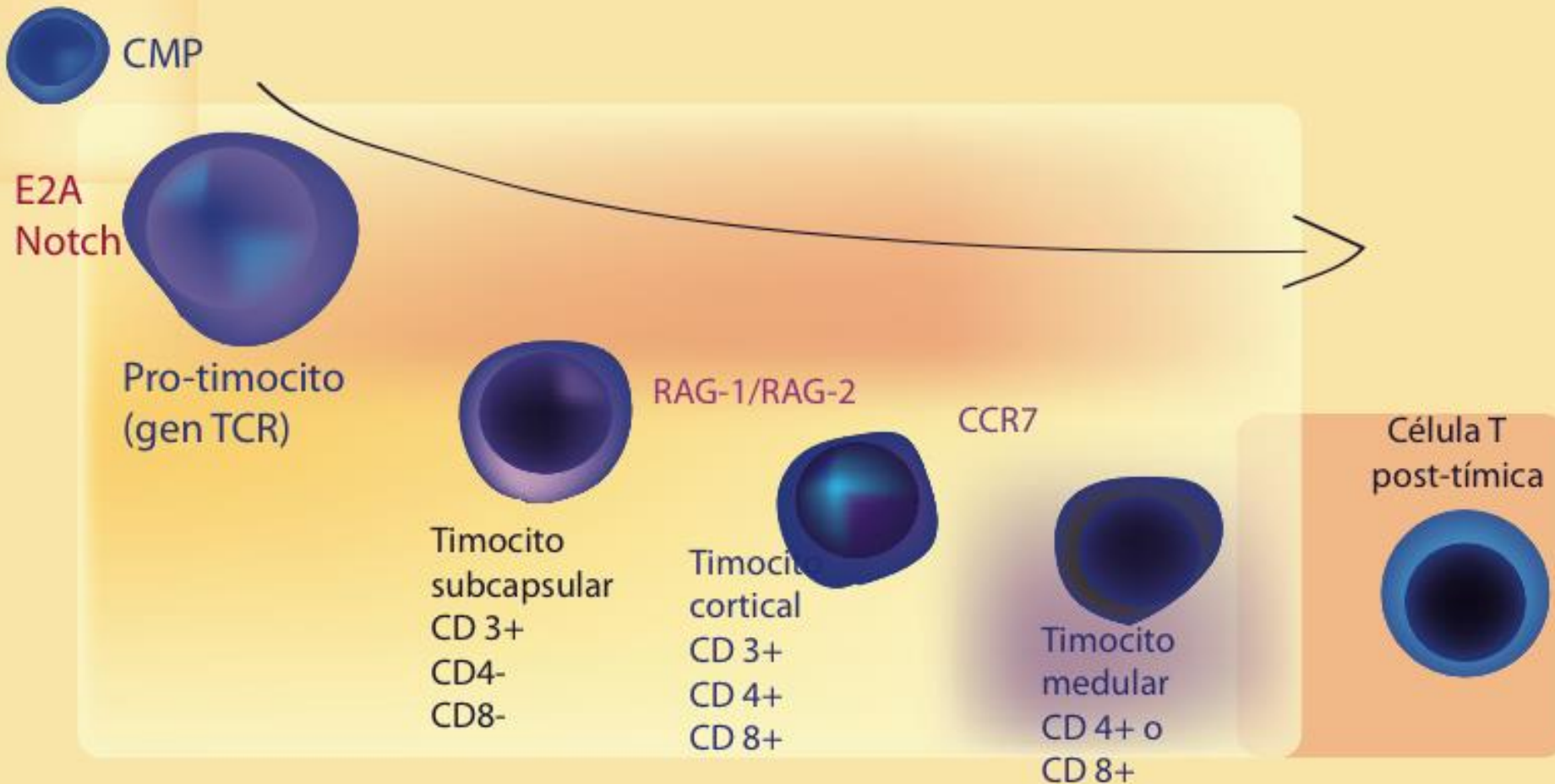




Las células B migran a los centros germinativos de los ganglios Linfáticos. El encuentro con el Ag en las CPA induce su evolución a centroblastos > centrocitos > células plasmáticas/
células B de memoria

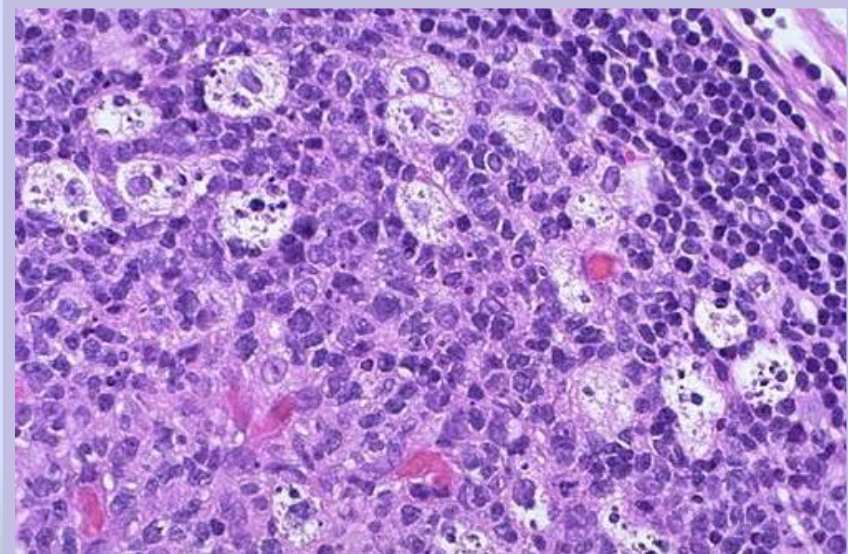
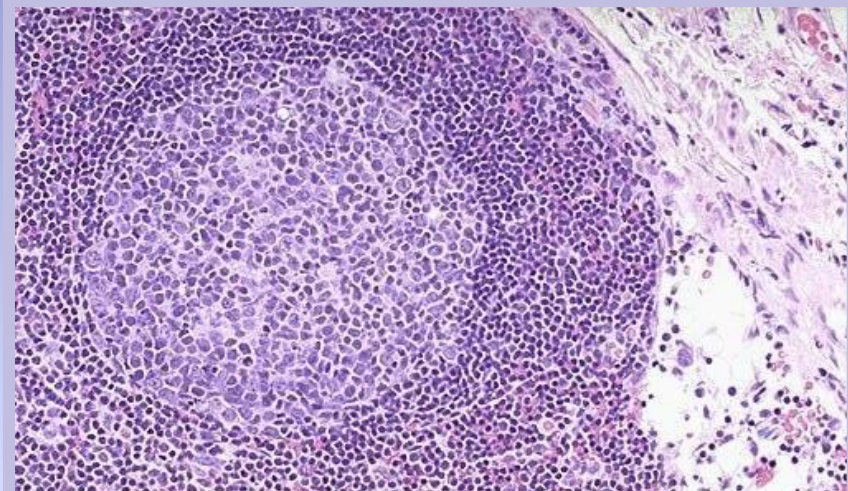
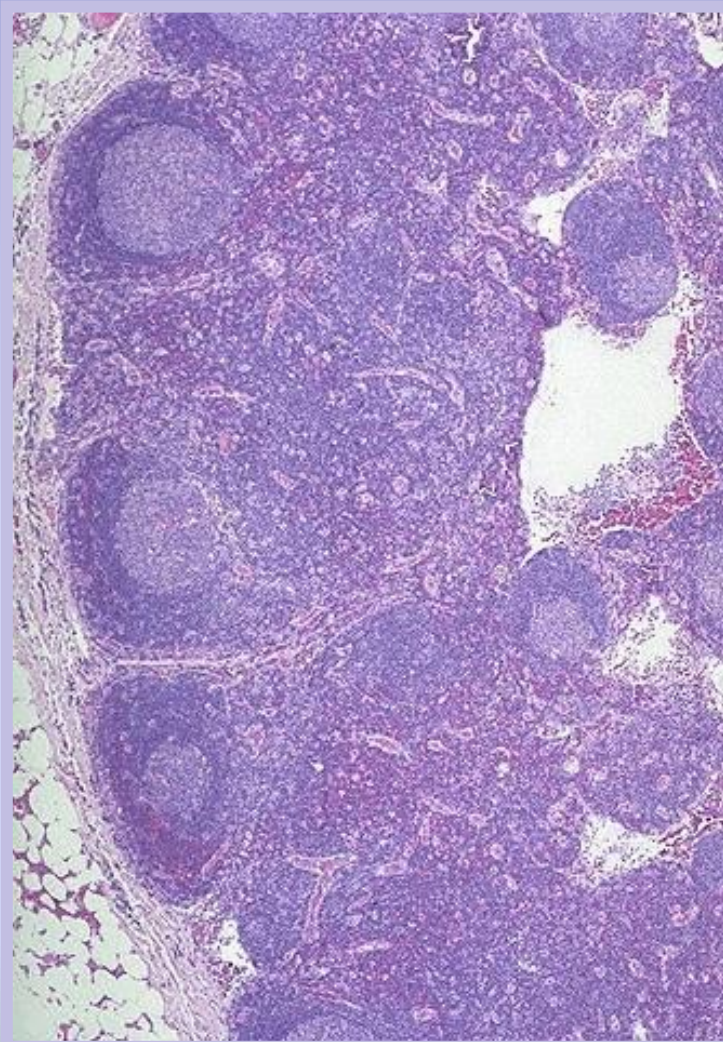


En el centroblasto se produce la hipermutación somática necesaria para responder al antígeno que dio origen a la respuesta



En la progresión en la ontogenia linfoide T las células no solo varían en su localización en el timo, sino también cambian la expresión en superficie

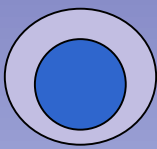
GANGLIO LINFATICO NORMAL



- PATOLOGÍA DEL
TEJIDO
LINFÁTICO

Reactiva o no
neoplásica

Neoplásica



LINFADENITIS

AGUDAS : microorganismos (piógenos o no), detritus celulares, material extraño.

Clínica: tétrada de Celso

CRONICAS

→ Inespecífica: 3 patrones histológicos:

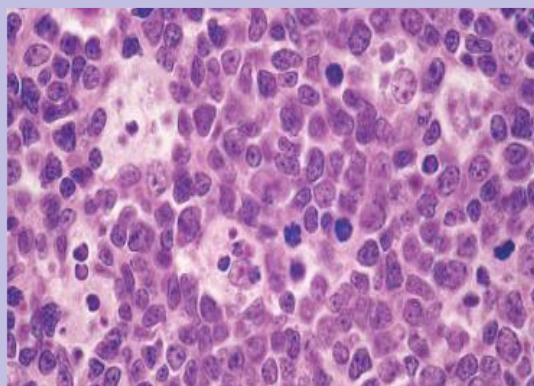
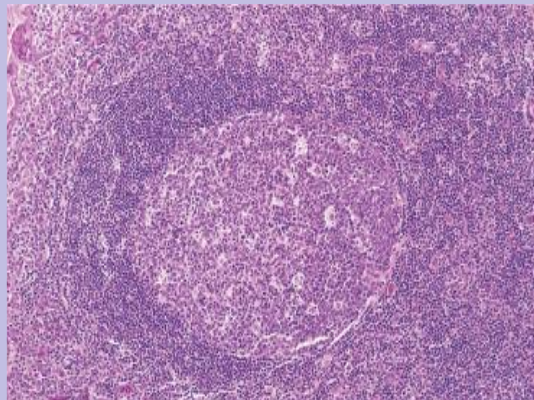
- HIPERPLASIA FOLICULAR (zona B)
- HIPERPLASIA PARACORTICAL (zona T)
- HISTIOCITOSIS SINUSAL (HIPERPLASIA RETICULAR)
- → Específica (TBC, Sarcoidosis, Arañazo de Gato)

Clínica: adenomegalia moderada, con cierta dureza

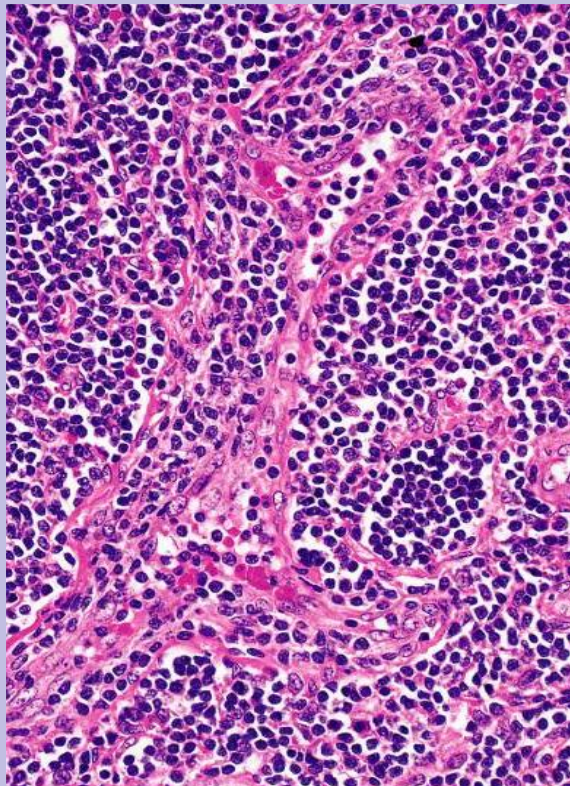
Hiperplasia ganglionar linfática

Aumento del número de células

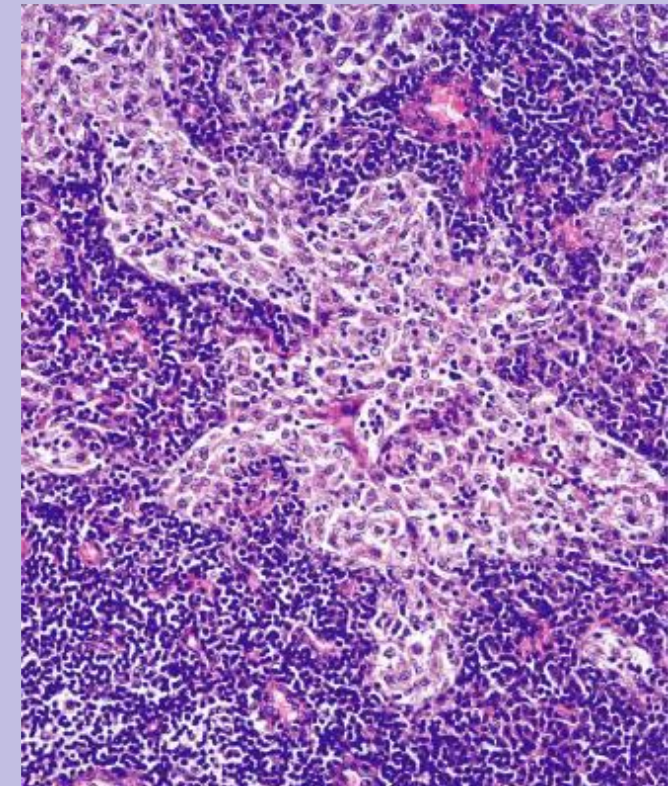
Folicular



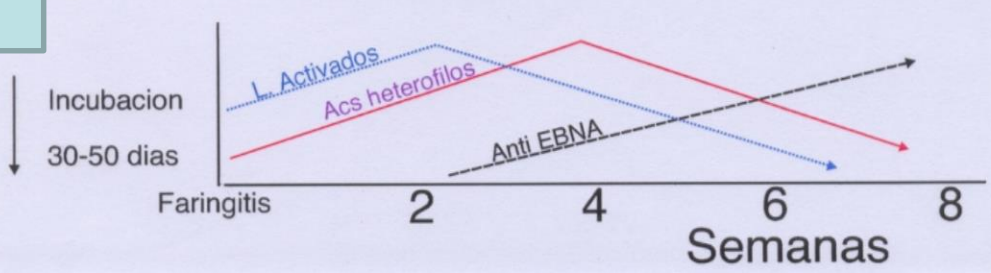
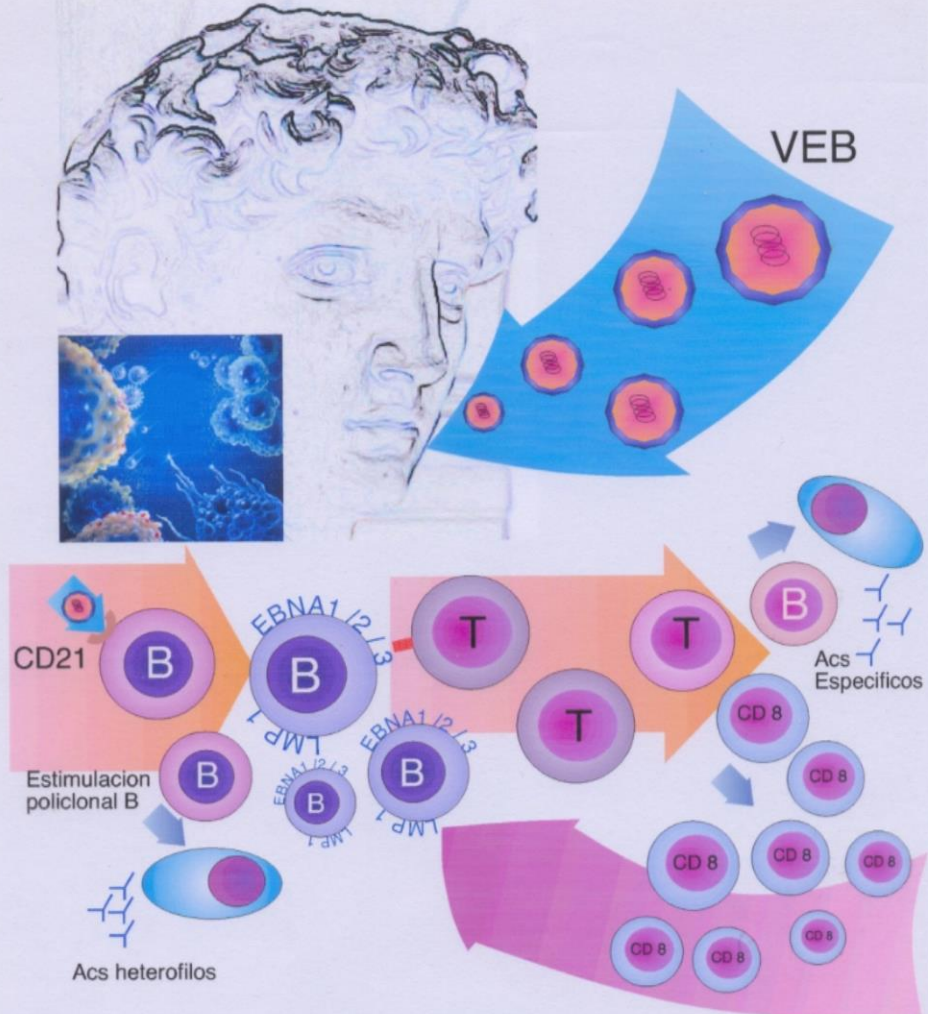
Paracortical



Sinusoidal

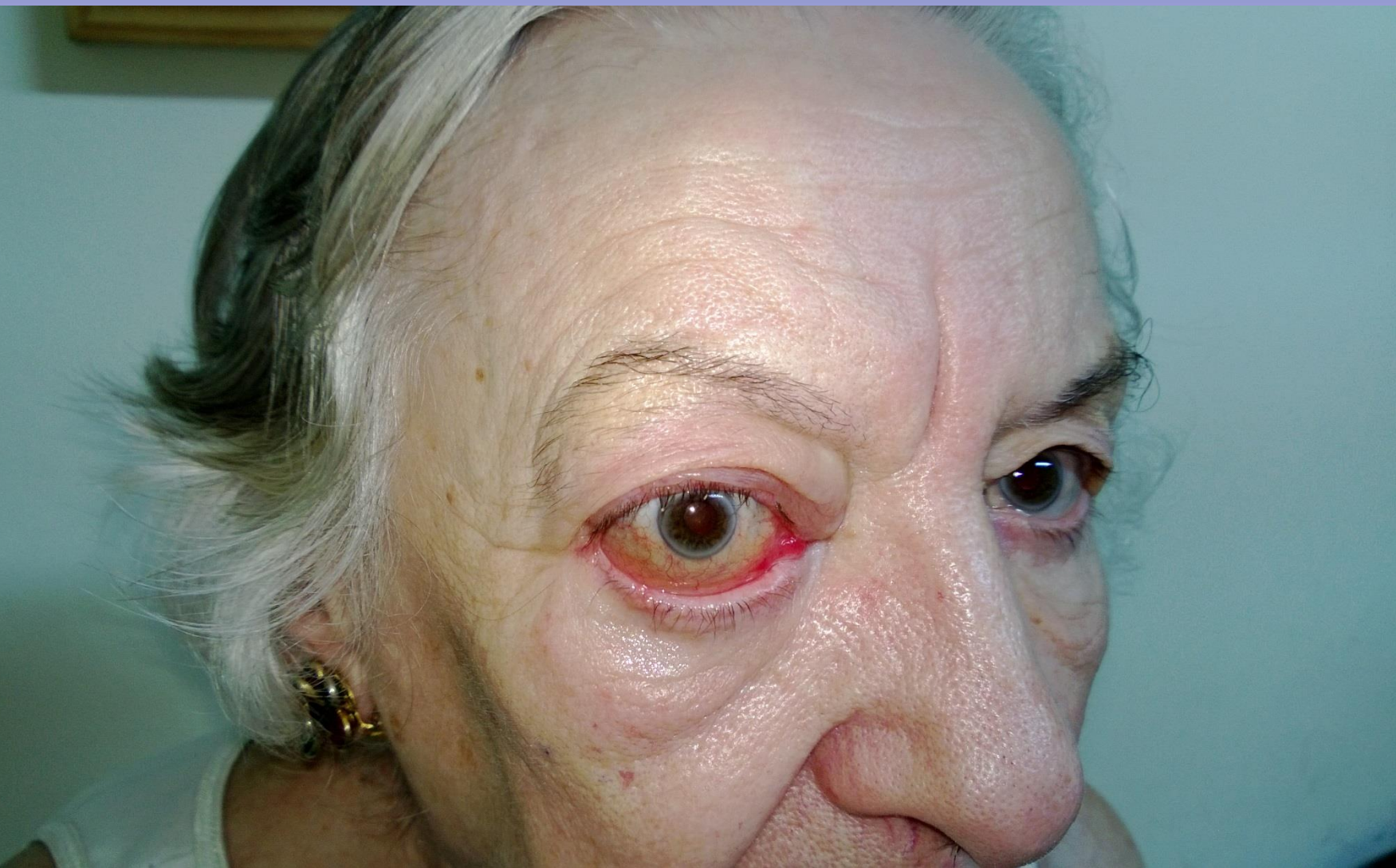


La Mononucleosis Infecciosa es un síndrome linfo-proliferativo auto-limitado causado por la infección con el Virus de Epstein Barr. Inicialmente el VEB infecta las células epiteliales de la orofaringe. De allí la infección se transmite a los linfocitos B, utilizando el receptor CD21. La infección produce inicialmente un proliferación policlonal de linfocitos B que es contenida por una respuesta inmune celular y humoral en aprox 6 semanas



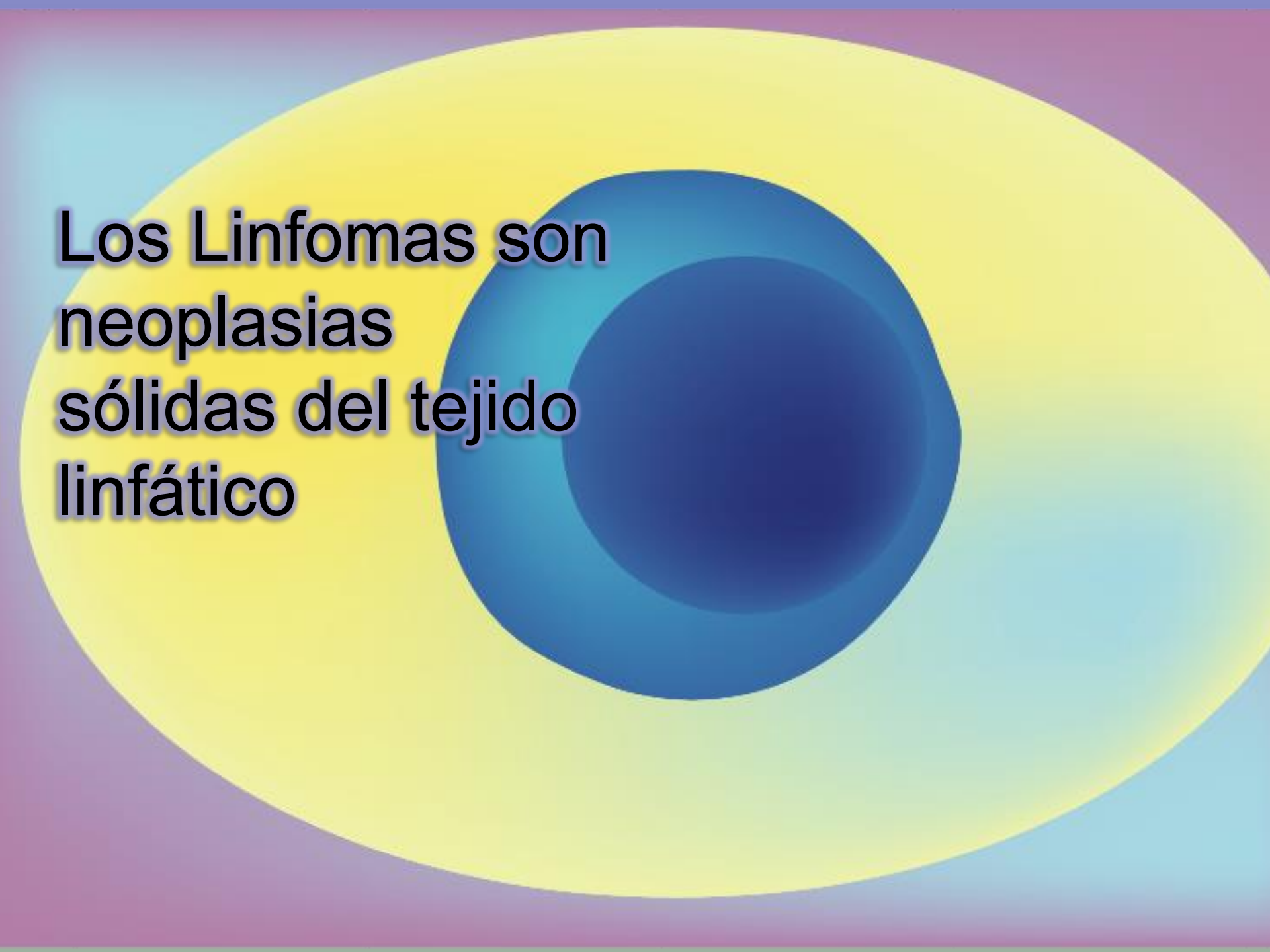
Patología neoplásica del tejido linfoide

Las neoplasias del tejido linfoide
pueden ser líquidas (leucemias) o
sólidas (linfomas)



Linfoma B difuso de grande células de la órbita





**Los Linfomas son
neoplasias
sólidas del tejido
linfático**

Mecanismos generales de linfomagénesis

1) Alteraciones genéticas y epigenéticas

- activación de oncogenes por traslocaciones
- amplificaciones, mutaciones puntuales
- inactivación de antioncogenes
- Disregulación por miRNA

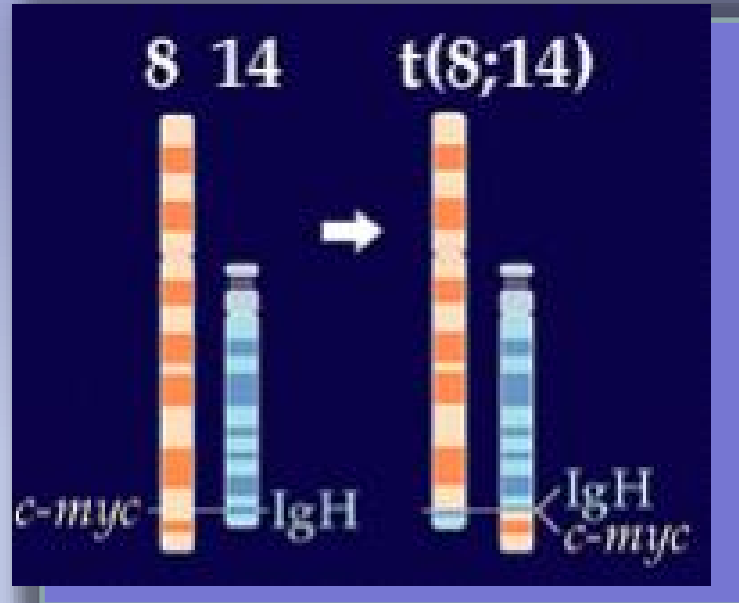
2) infecciones por virus oncogénicos

- VEB
- HTLV-1
- HIV

3) Estimulación antigenica y selección

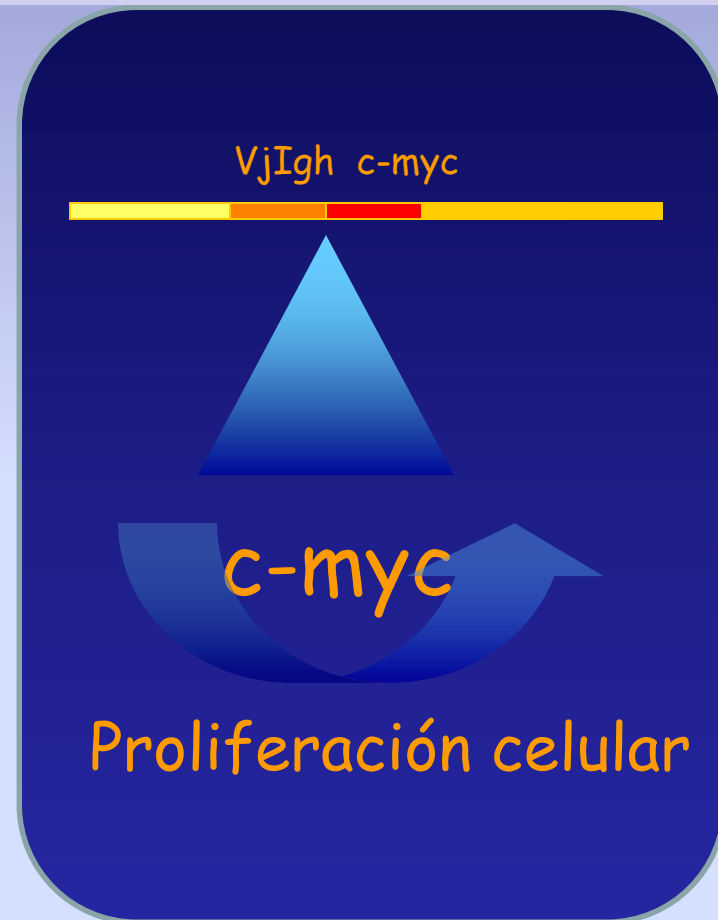
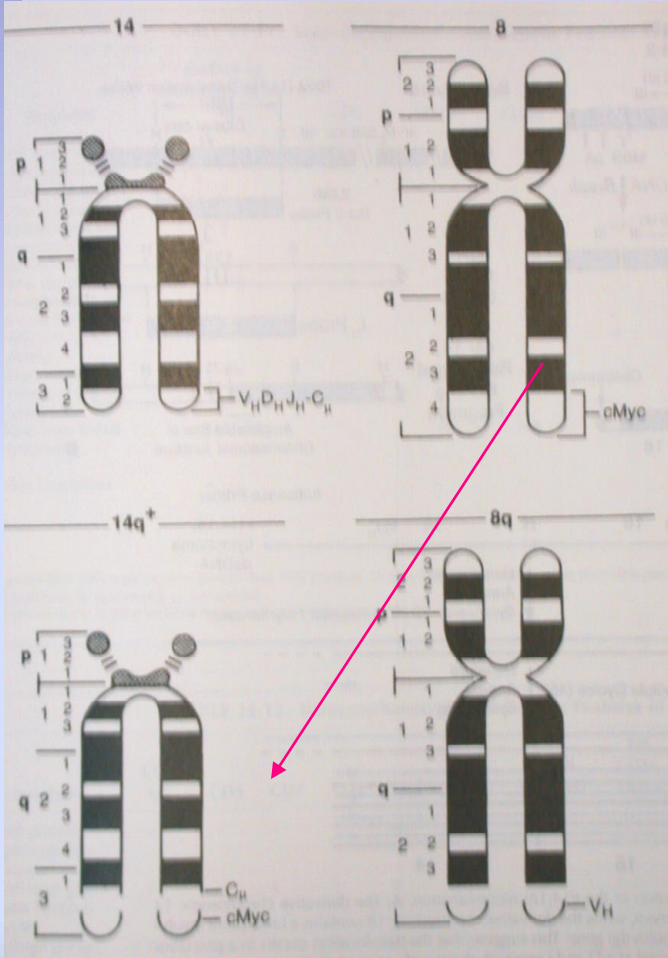
4) inmunodeficiencias SIDA-Trasplante

La traslocación 8;14 yuxtapone el oncogen c-myc al promotor de las cadenas pesadas de las inmunoglobulinas

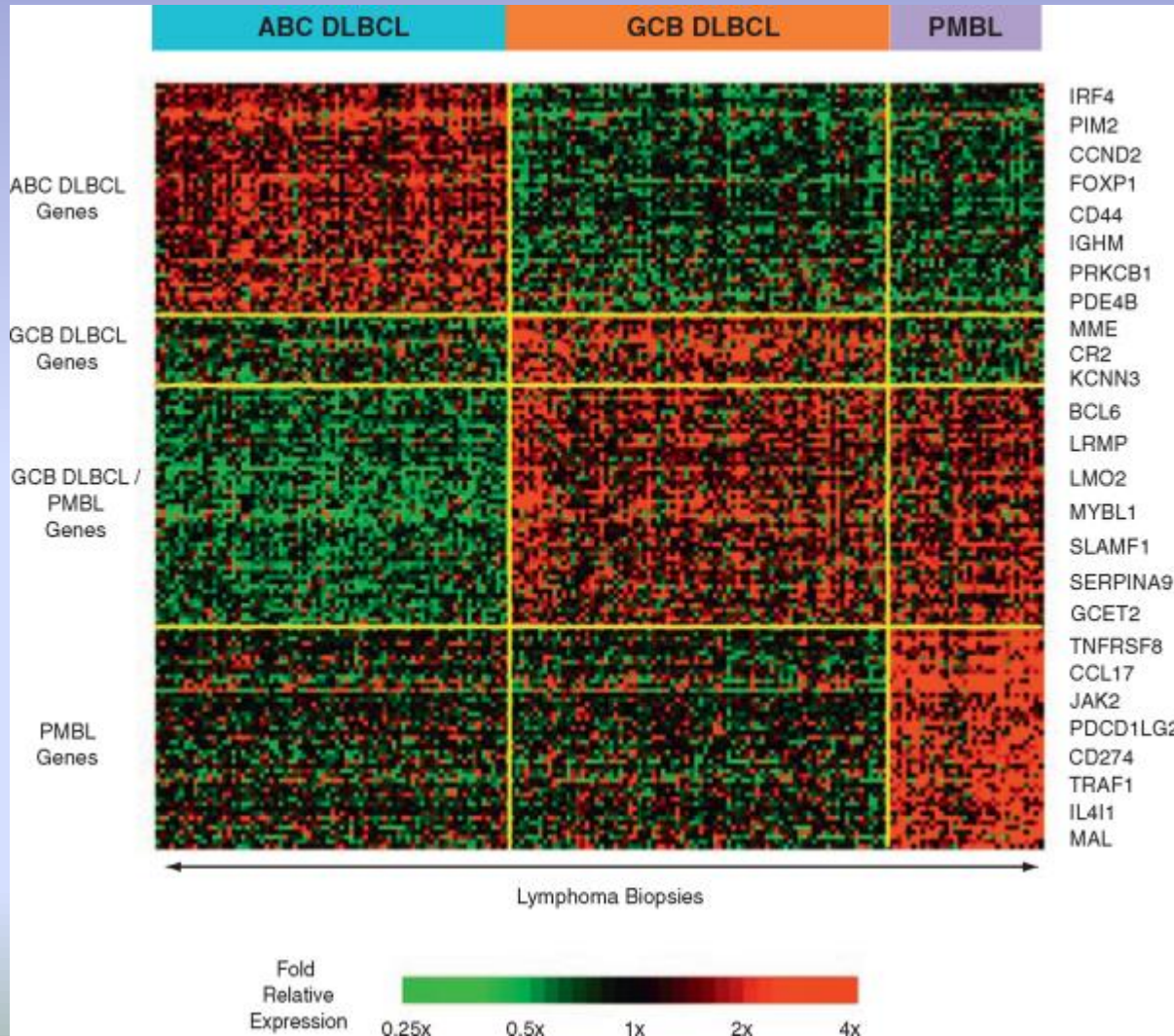


El oncogen *c-myc* es un factor de transcripción nuclear que promueve la expresión de variedad de genes y la proliferación celular

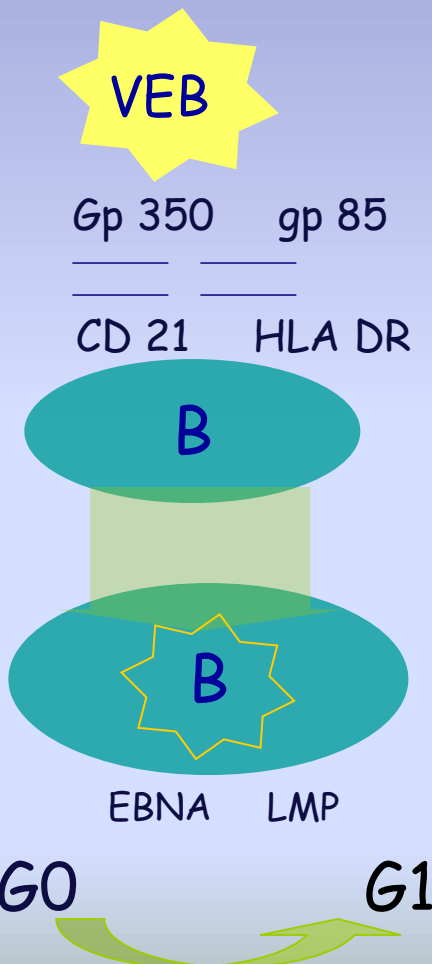
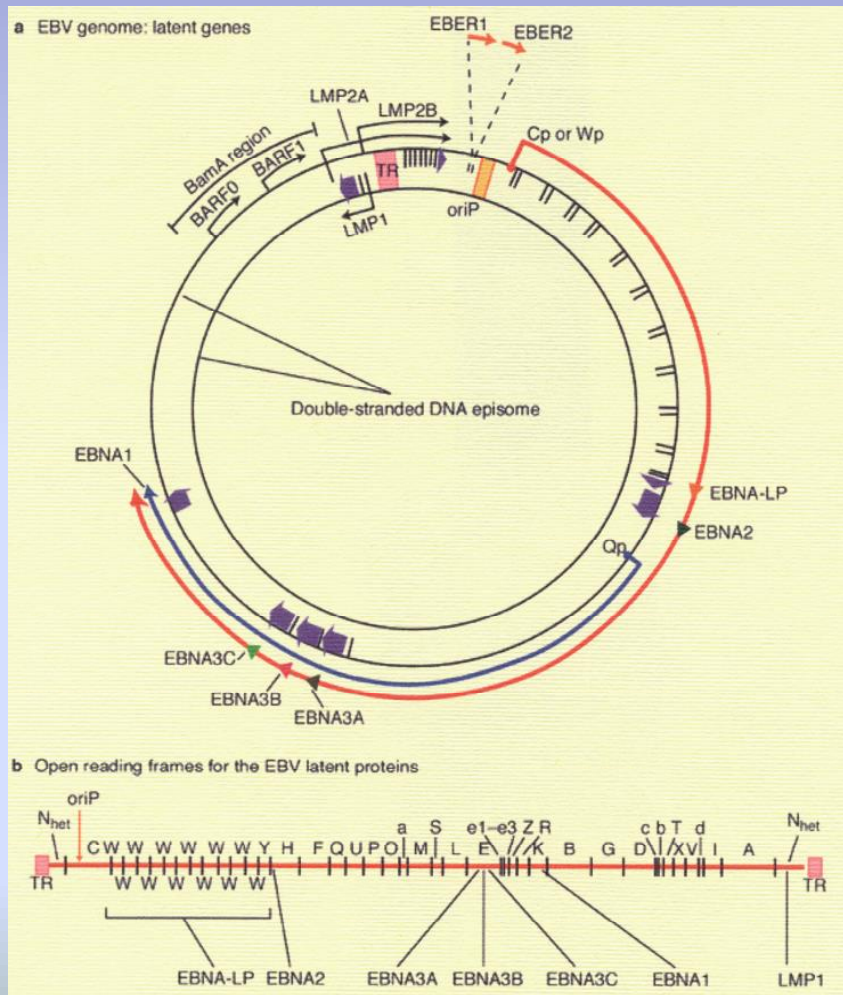
Traslocaciones: t(8;14)



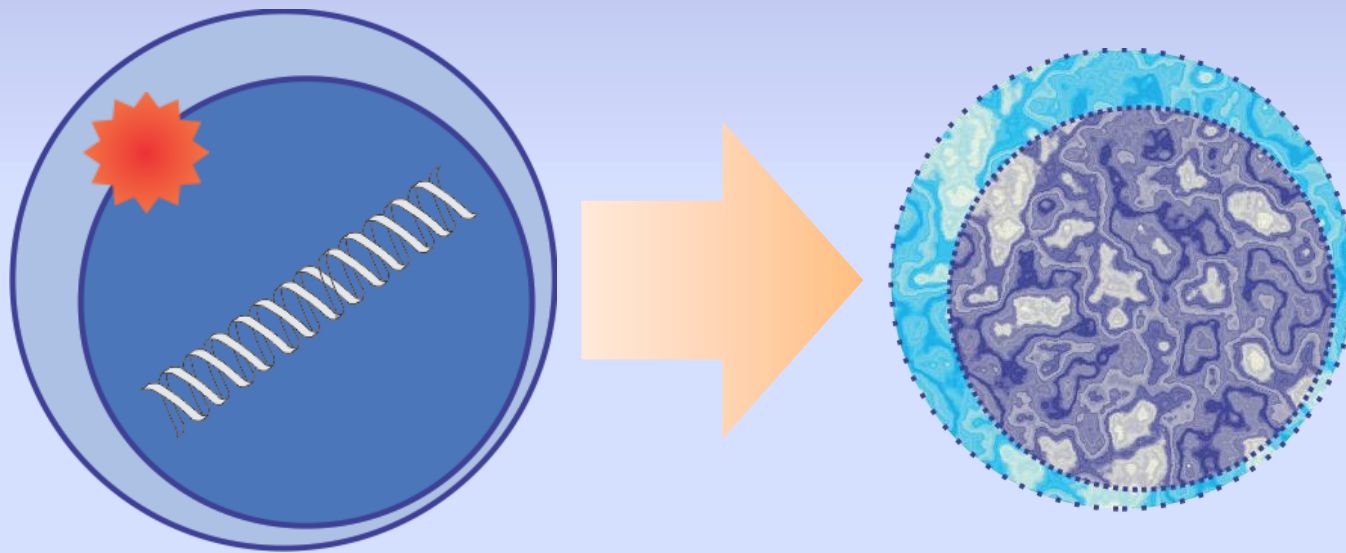
Caracterización de la expresión de genes en tres subtipos de linfomas B de grandes células: LNH B activado, LNH B centro-germinal, LNH primario mediastinal



Virus: EBV



Infección lítica inicial de Linfocitos B



Fase lítica inicial

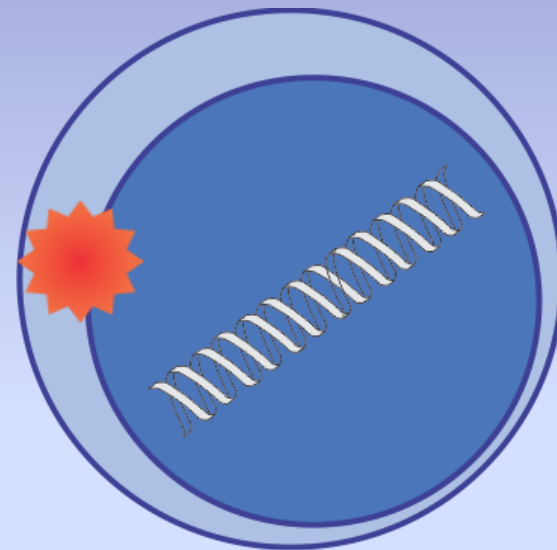
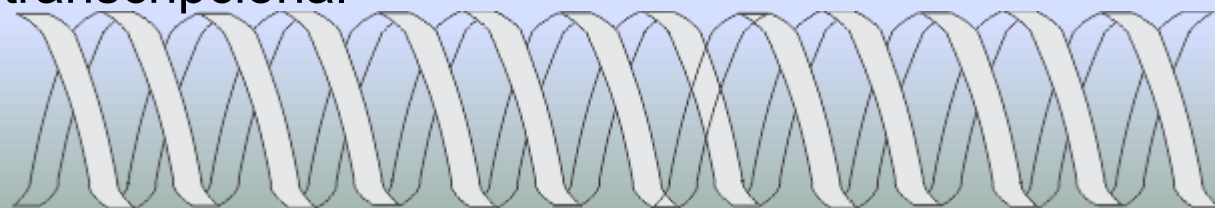
BZLF1 → EZH2
BZLF1 → EZH2

BRLF1

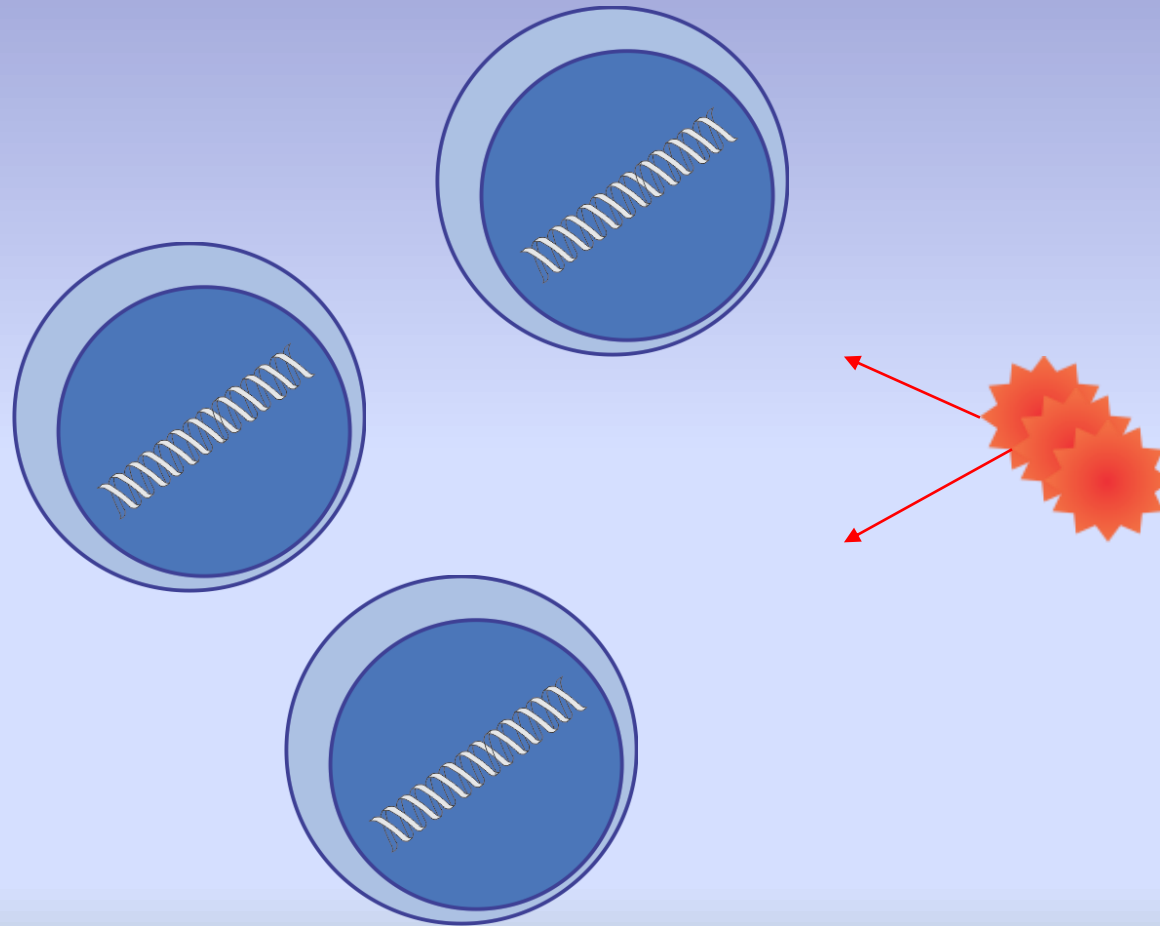
Tri-metilación

Histona H3

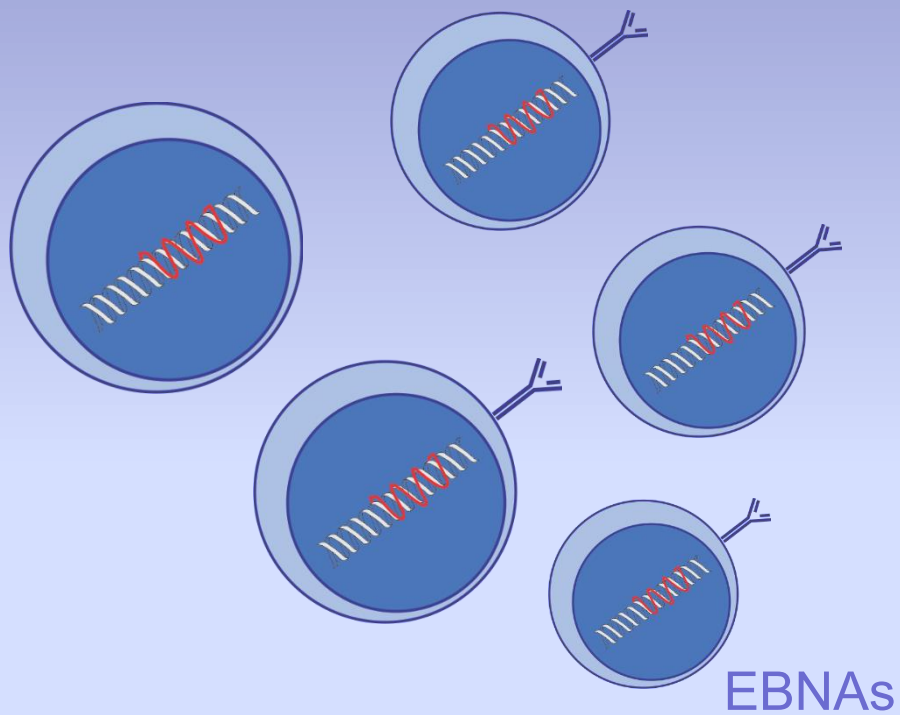
Silenciamiento
transcripcional



Re-infección de Linfocitos B

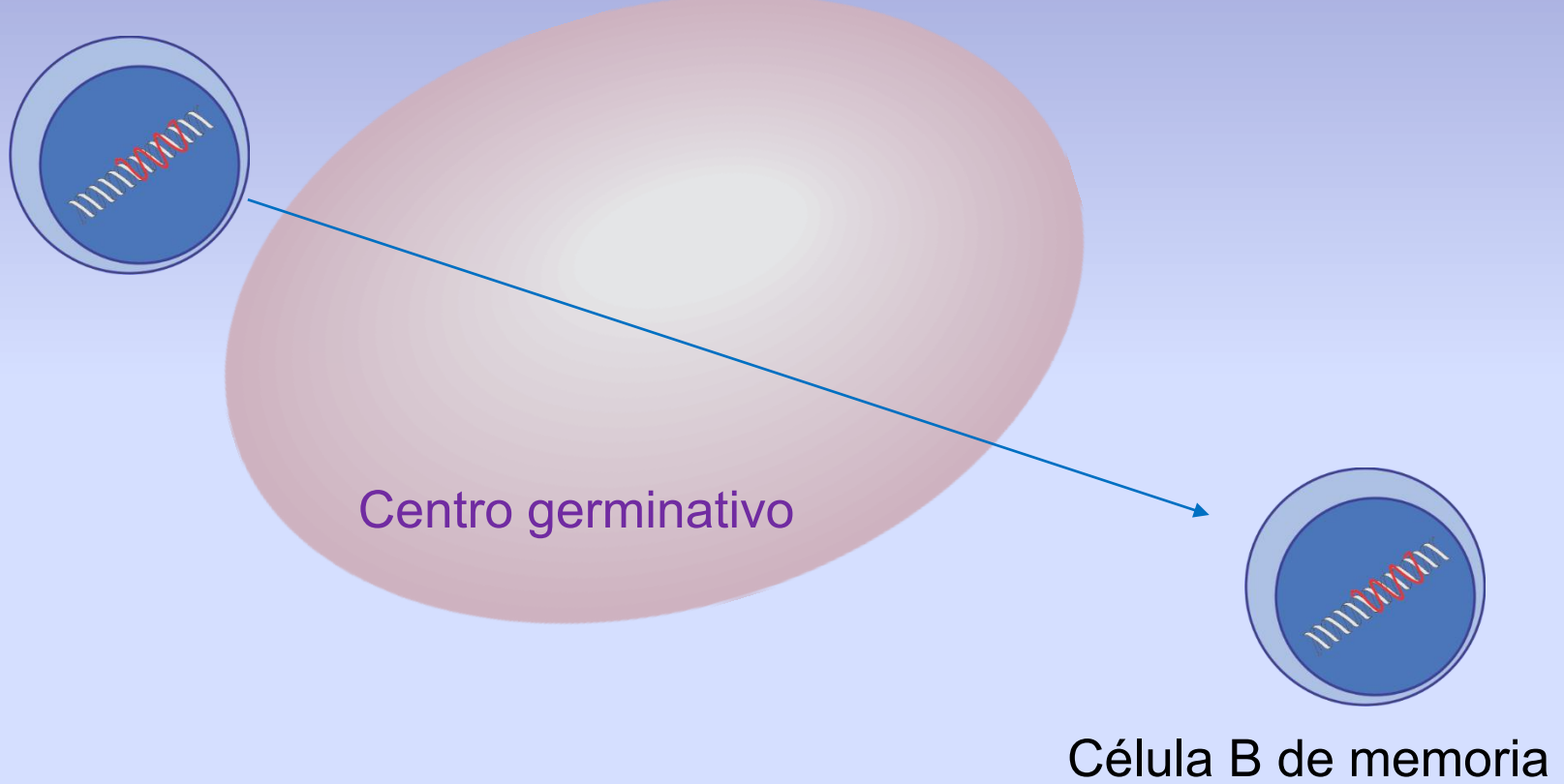


Proliferación B policlonal siguiendo a la infección de las células B por el VEB



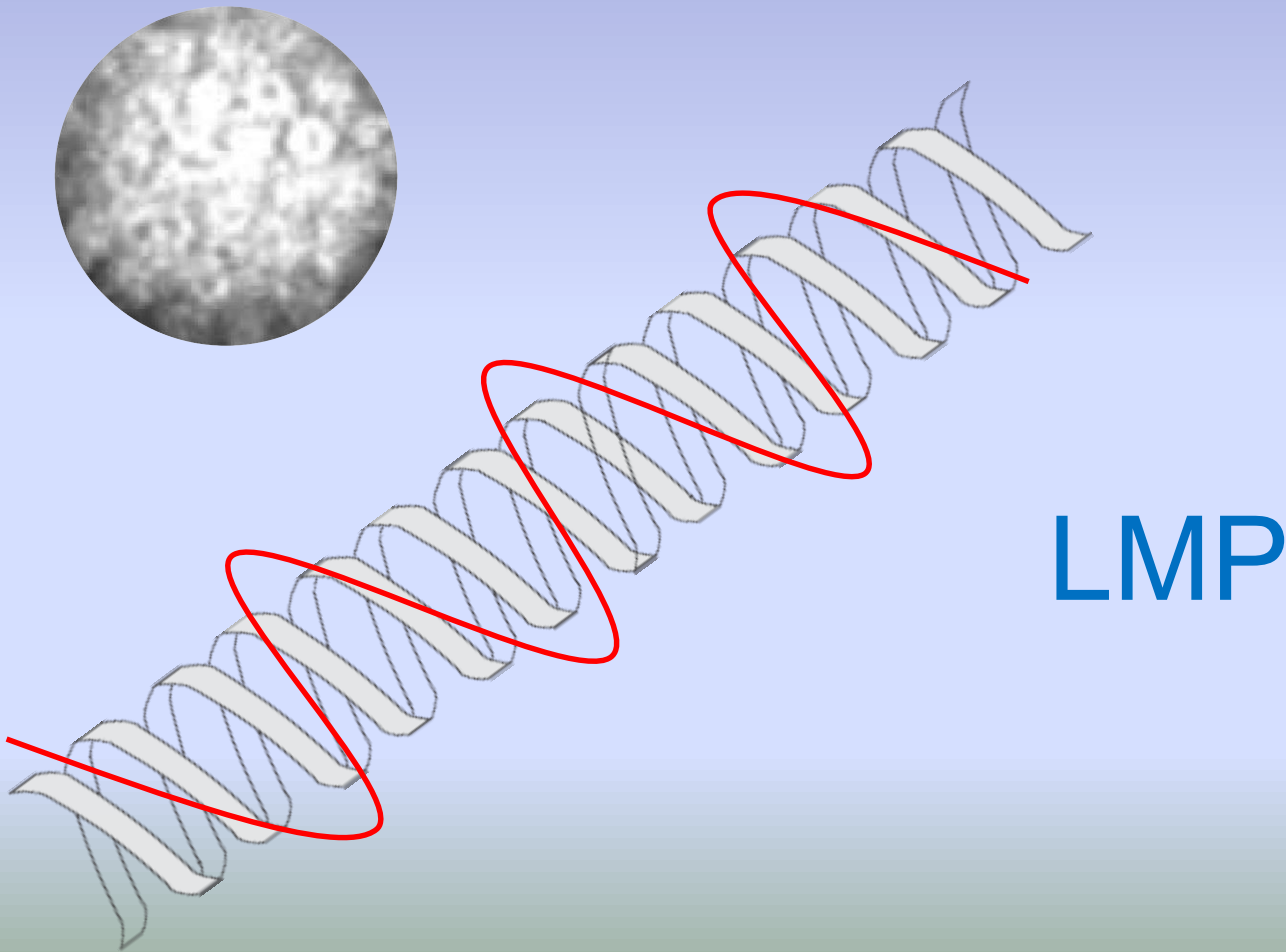
Respuesta
Inmune
humoral
y celular

La respuesta inmune inicial controla la proliferación de células B infectadas, pero algunas de ellas permanecen con un episoma viral

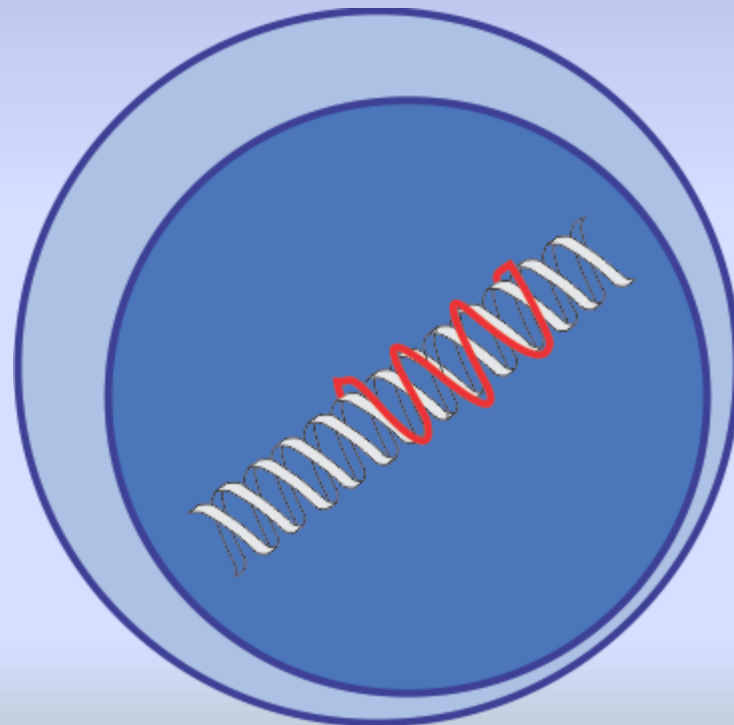


Célula B de memoria

La persistencia del episoma viral determina la expresión de proteínas de latencia de membrana en la célula infectada



Acorde al estado de competencia immune del huésped y de la expresión de proteínas de latencia reguladas por el episoma conformado por el VEB en el tiempo se pueden desarrollar diferentes neoplasias



EBNA: EBV nuclear associated
1, 2 ,3A, 3B, 3C

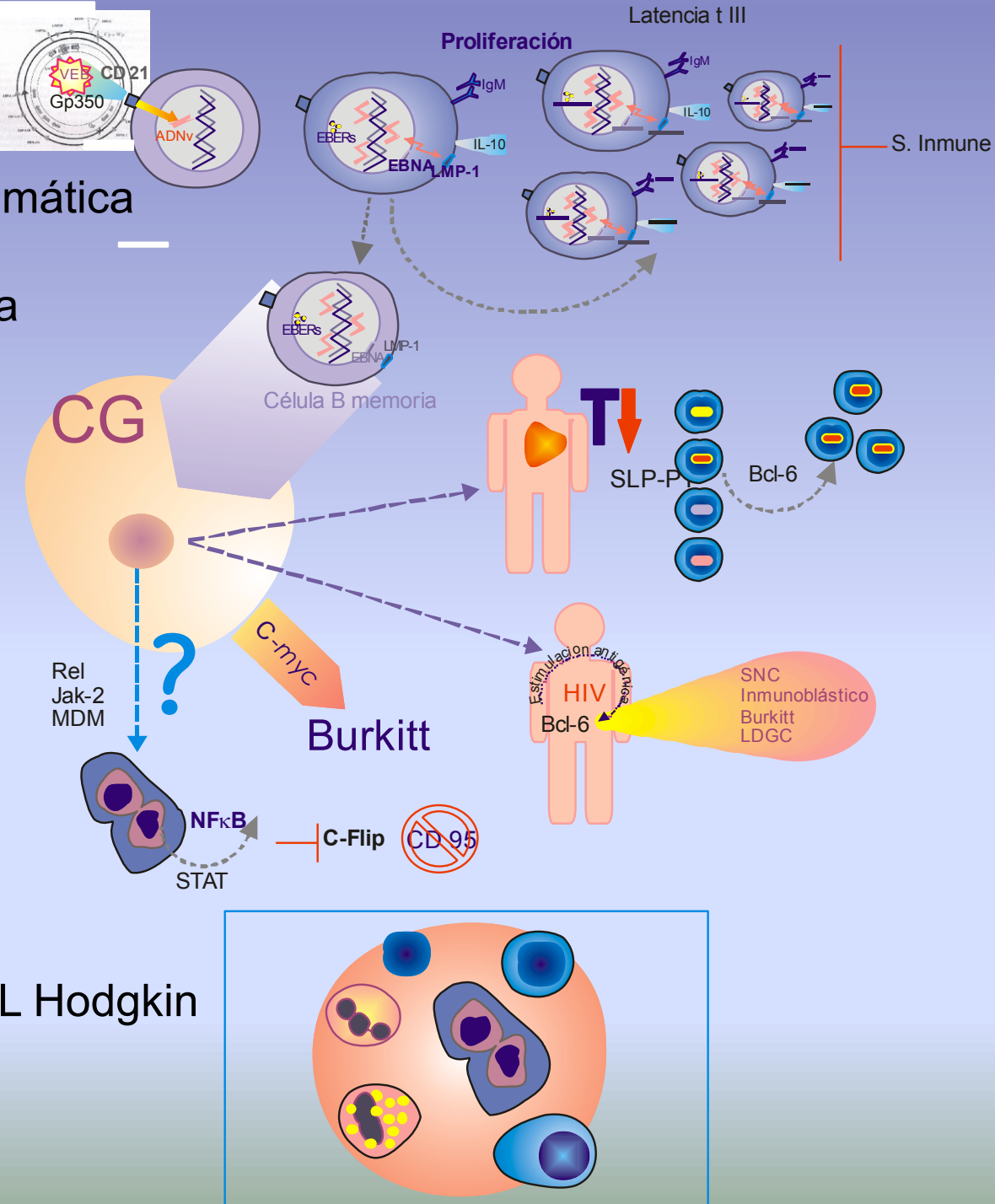
LMP: Latent membrane proteins
1, -2^a,-2B
miRNA

EBER: EBV encoded small RNA
1, 2

Programa de LATENCIA	Promotores Activados	Transcriptos de Latencia	Tipo de Linfoma	
Tipo I	Qp, Oc	ENA-1, EBERs	Burkitt	
Tipo II	Cp, LMP-1p	EBNA-1, LMP 1 / 2, EBERs	Hodgkin	
Tipo III	Wp, Cp, LMP-1p/2Ap	EBNAs, LMPs EBERs, miRNA	Linfoma asociado a SIDA	
			Linfoma post-trasplante	
			LDGCB	

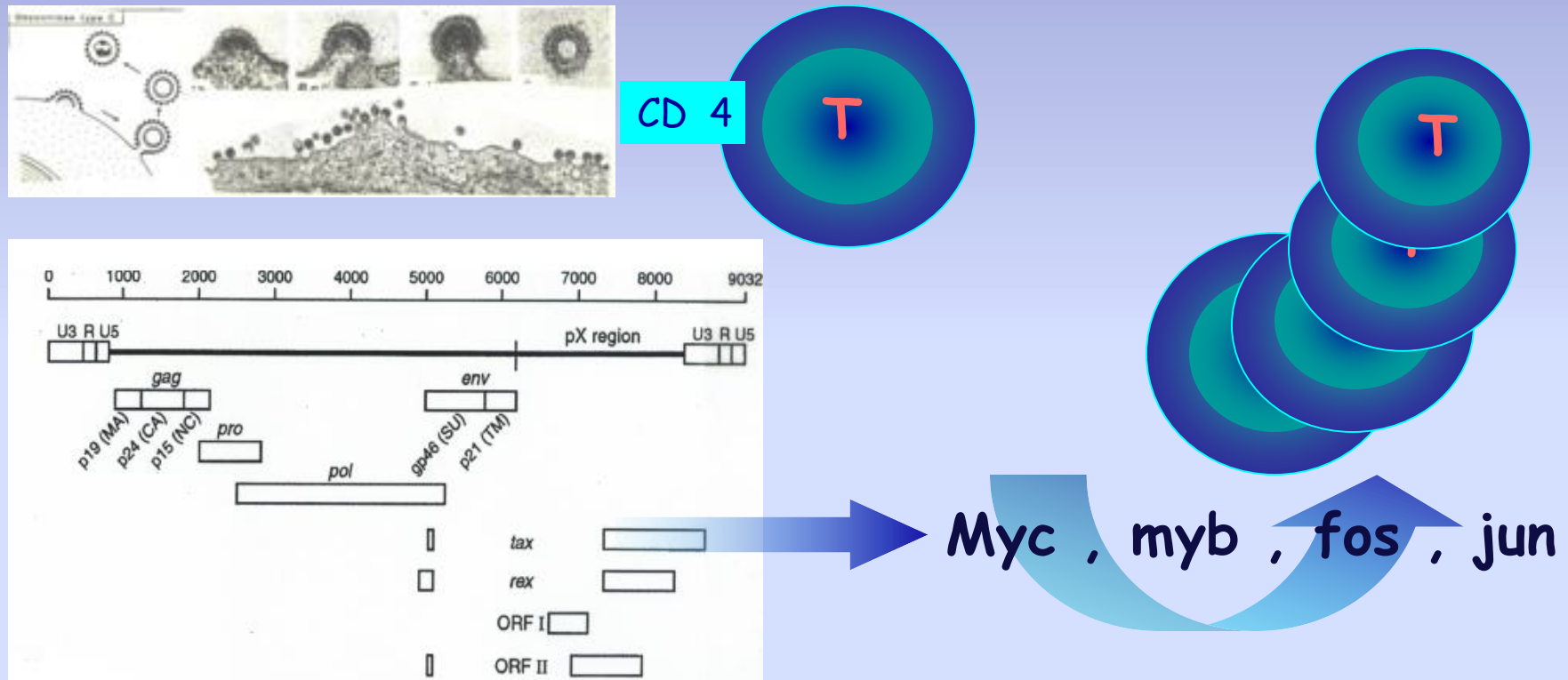


Representación esquemática de la patogenia de las neoplasias asociadas a la infección por VEB



Virus: HTLV- 1

Human T Leukemia Virus: retrovirus

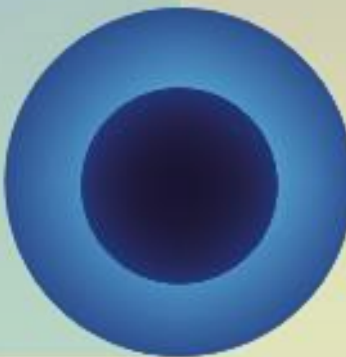


La proteína tax expresada en las células infectadas determina la sobre-expresión de varios factores de transcripción nucleares

Infección por VIH

- El Virus de Inmunodeficiencia Humana infecta los Linfocitos colaboradores -CD4-.
- La pérdida de esta subpoblación linfoide determina la incapacidad de realizar una respuesta inmune adecuada.
- Si bien el VIH no es en sí mismo oncogénico, la disrupción de la capacidad de respuesta inmune constituye un terreno fértil para el desarrollo de linfomas.
- En este caso, el VEB puede actuar como un virus iniciador de Tumor
- El VEB puede rescatar de la apoptosis a células B centro-geminales

Neoplasias Linfoides



Leucemia Linfoblástica B

Leucemia Linfoblástica T

Linfoma Linfoblástico B

Linfoma Linfoblástico T

Leucemia Linfática Crónica

Leucemia de células vellosas

Linfomas cutáneos

Linfomas primarios de efusiones

Linfoma Hodgkin

Linfomas Difusos de grandes células B

Linfomas difusos de pequeñas células B

Linfomas foliculares

Linfomas de células T periféricas

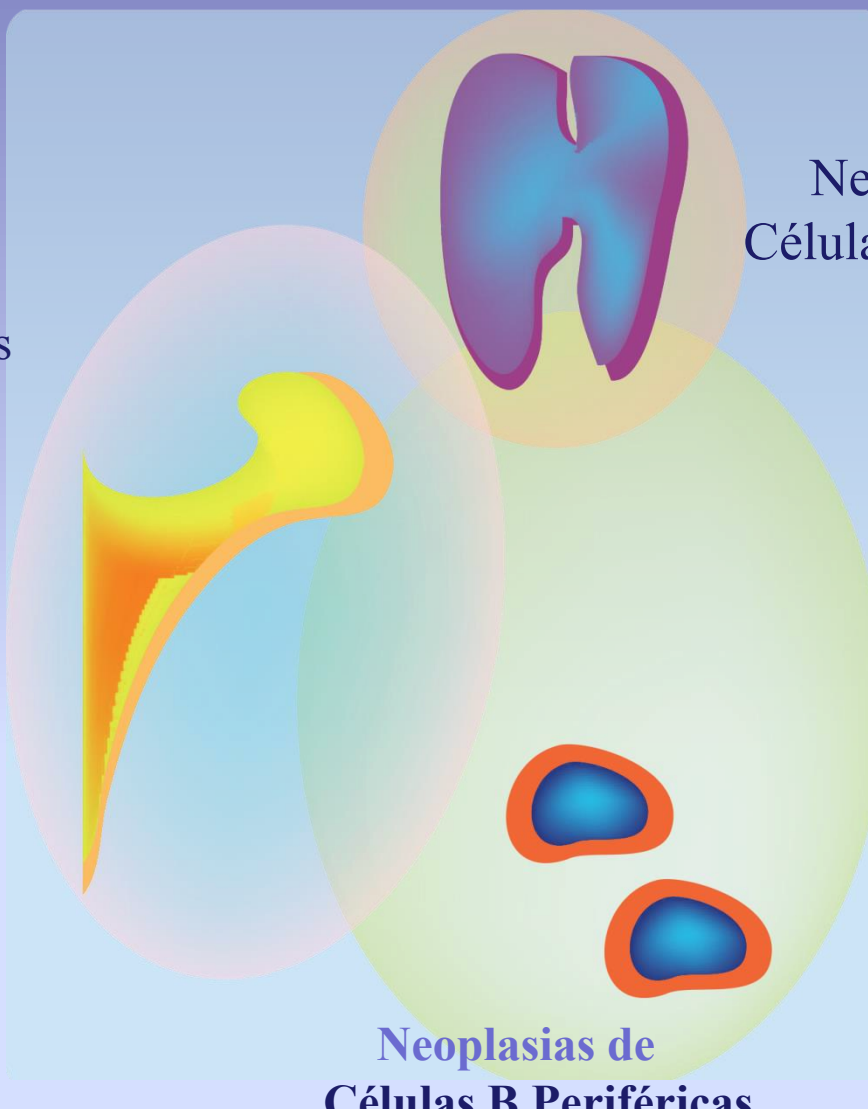
Linfoma MALT

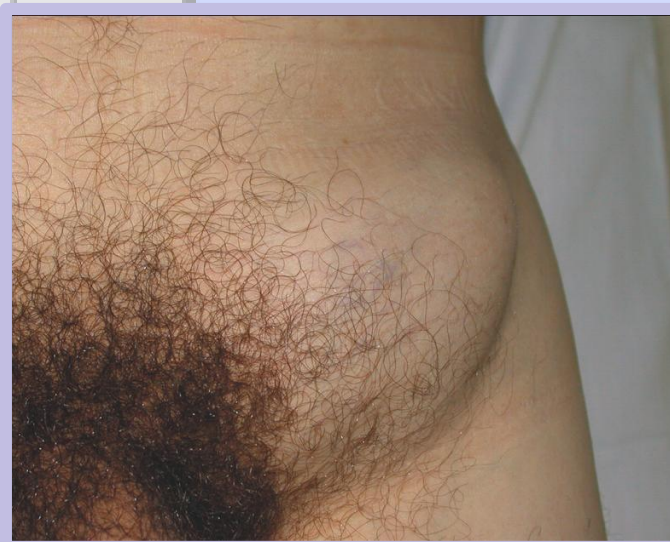
Linfoma de células del manto

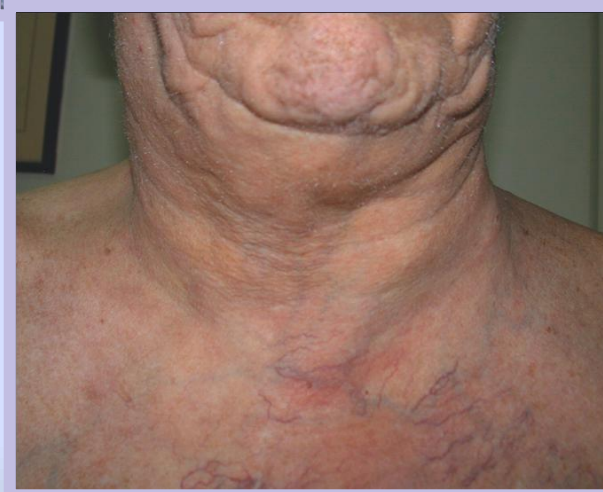
Linfoma de Burkitt

Plasmocitoma

Enfermedad de Waldenström

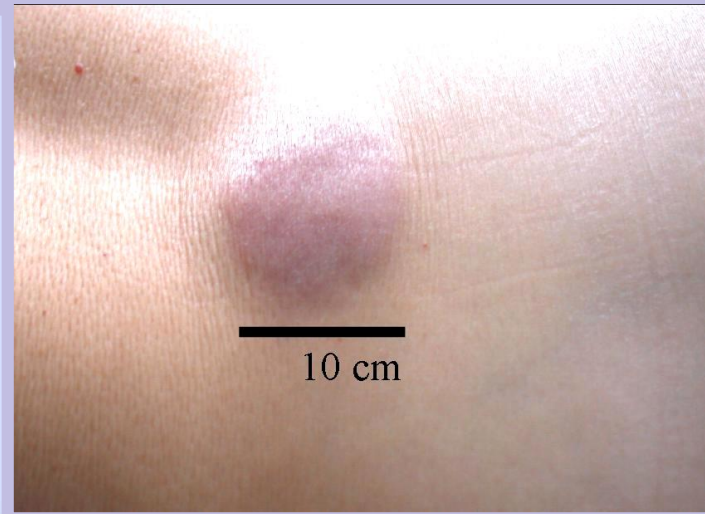






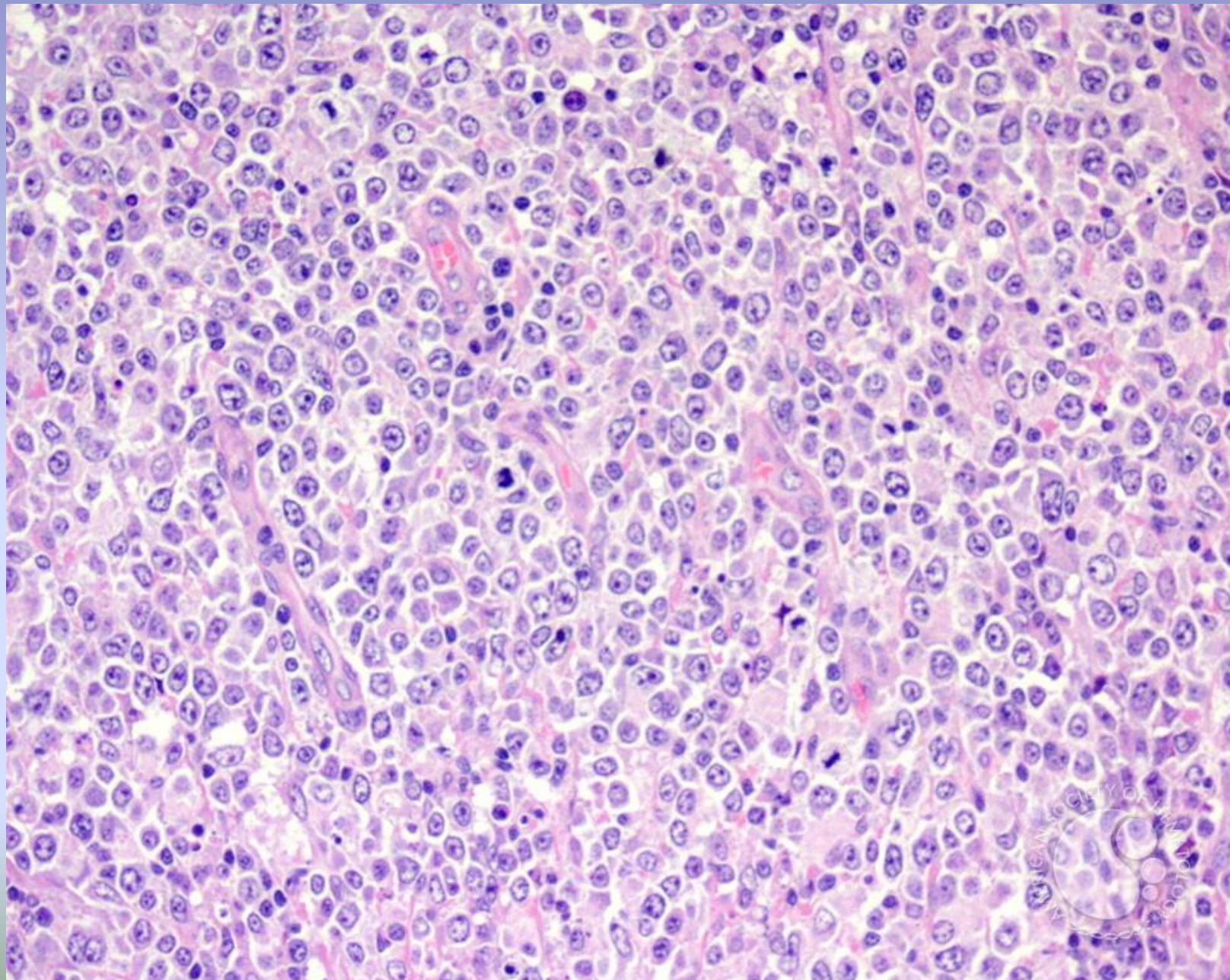




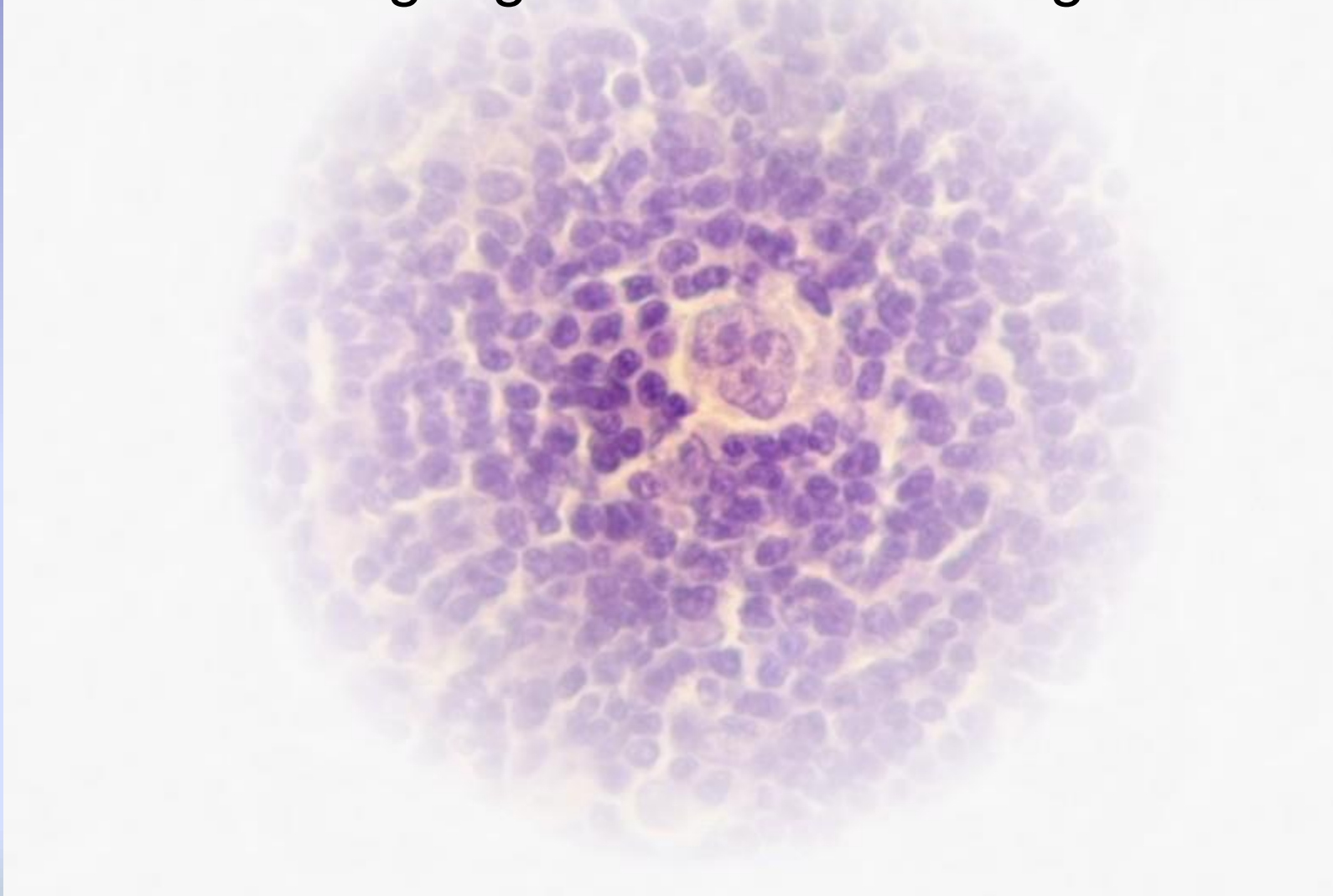




Linfoma Difuso de Grandes células B



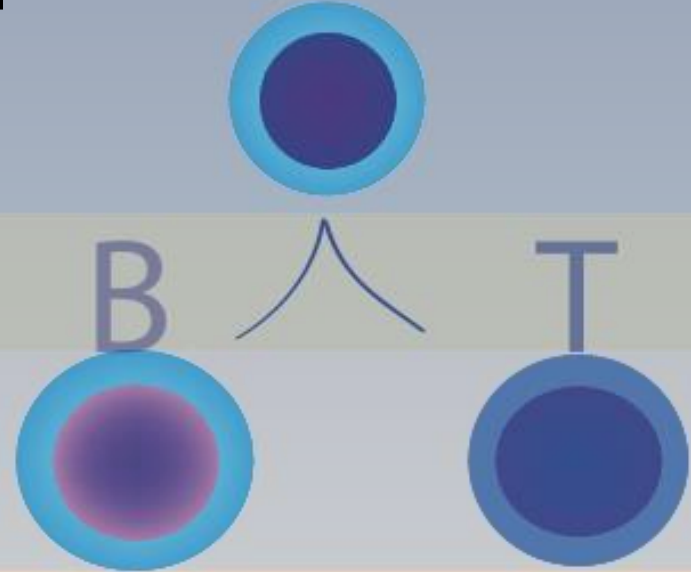
Célula de Reed-Sternberg en el corte histológico de un ganglio de Linfoma Hodgkin



**Linfoma
Hodgkin**

**Linfomas
No
Hodgkin**

Criterios básicos para la ubicación de Linfomas-No-Hodgkin



Precursoras

Periféricas

La clasificación de los linfomas se realiza en base a la relación entre la célula de origen transformada y su contraparte normal.

Las subpoblaciones linfoideas y sus diferentes estadios ontogénicos explican la gran diversidad de linfomas.

Para ordenar los linfomas se tiene en cuenta que cada entidad sea reconocible como tal en base a :

- Aspectos clínicos
- Histopatología
- Inmuno-marcación
- Marcadores genéticos

Linfomas de células B Precursoras

Linfoma/Leucemia Linfoblástico B	TdT, CD19+, CD79a+, PAX-5+
s de Células B Periféricas	
Linfoma Linfocítico Difuso/ Leucemia Linfática Crónica	CD5+/CD23+, CD20+, slgs
Linfoma de Células del Manto	CD5+/CD23-, CD20+, IgM/IgD
	t(11;14) Ciclina D1
Linfoma linfoplasmocítico / Waldenström	CD19+, CD20+, CD22+, CD79a+, SlgM
	del6q21
Linfoma Folicular	CD19+, CD20+, CD22+, CD10+, SlgM7G/A
	t(14;18) bcl-2
Linfoma de Zona Marginal: MALT	CD19+, CD20+, CD22+
Linfoma de Zona Marginal: Ganglionar (monocitoide)	CD19+, CD20+, slgD+-
Linfoma de Zona Marginal Esplénico	CD19+, CD20+, slgD+
	t(11;18) CIAP2/MALT1
Linfoma Difuso de Grandes Células B	CD19+, CD20+, CD22+,CD79a, Sig
Linfoma B Primario de mediastino	CD20+, CD79a+, slg-, CD30+
Linfoma	
Plasmoblastico (asociado a HIV)	CD138+
Linfoma Primario	
de Efusiones (asociado a HIV x VH8)	CD30+, CD38+, CD138+
	bcl-6
	PAX5, PU.1
Linfoma de Burkitt	CD19+, CD20+, CD22+, CD79a+, SlgM
	t(8;14) c-myc

Linfomas de Células T y NK

Linfomas de Células T Precursoras

Linfoma Linfoblástico T CD3+

Linfomas de Células T periféricas

Linfoma Angioinmunoblastico T
Leucemia Linfoma T del Adulto HTLV-1

Linfomas de Células T periféricas, sin especificar

Linfoma de Grandes Células Anaplásicas CD30

Linfoma T asociado a eneteropatía

Linfoma T hepatoesplénico

Linfoma T nasal

Linfomas cutáneos de células T o NK

Mycosis Fungoides

Variantes y subtipos de MF

MF foliculotrópica

Reticulosis Pagetoide

Piel laxa granulomatosa

Síndrome de Sézary

Leucemia-linfoma T del adulto

Síndromes linfoproliferativos CD 30+

Linfoma cutáneo primario de grandes células anaplásica

Papulosis linfomatoide

Linfoma de células T tipo panniculitis subcutánea

Linfoma de células NK/T extranodal nasal

Linfoma de células T periféricas cutáneo primario

Linfoma cutáneo epidermotropo CD 8+ agresivo

Linfoma T g/d cutáneo

Linfoma T CD 4+ pleomórfico cutáneo

Linfomas cutáneos de células B

Linfoma B cutáneo de zona marginal

Linfoma folicular cutáneo primario

Linfoma difuso de grandes células B de la pierna

Linfoma difuso de grandes células B, otros

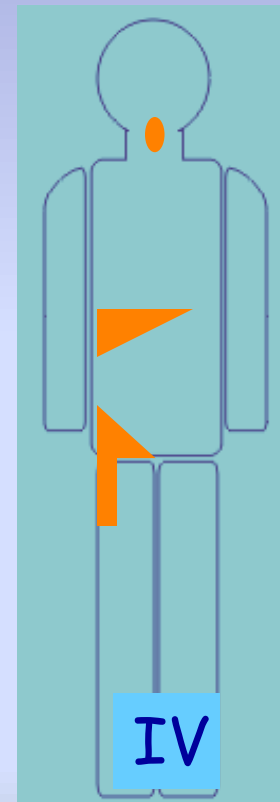
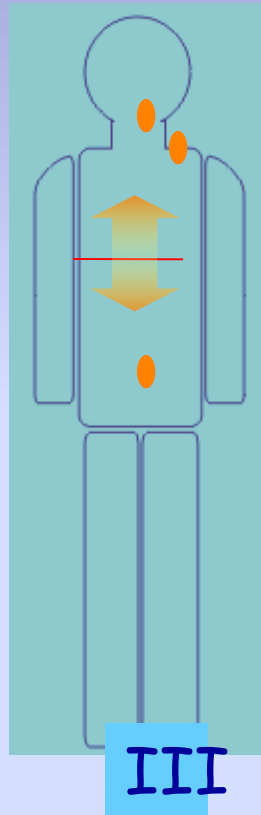
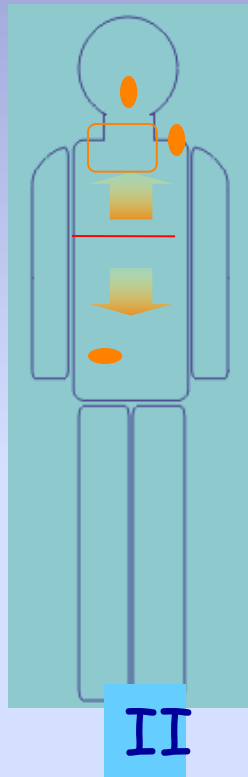
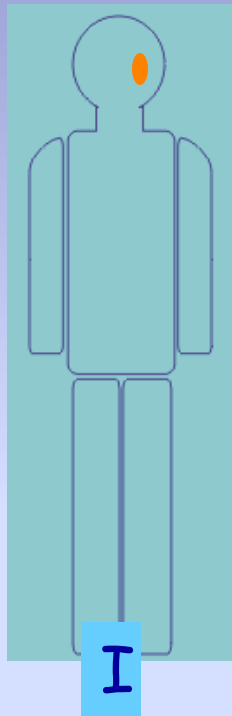
Linfoma B intravascular

Neoplasia precursora hematológica

Neoplasia hematodérmica CD 4+/CD 56+

Estadificación

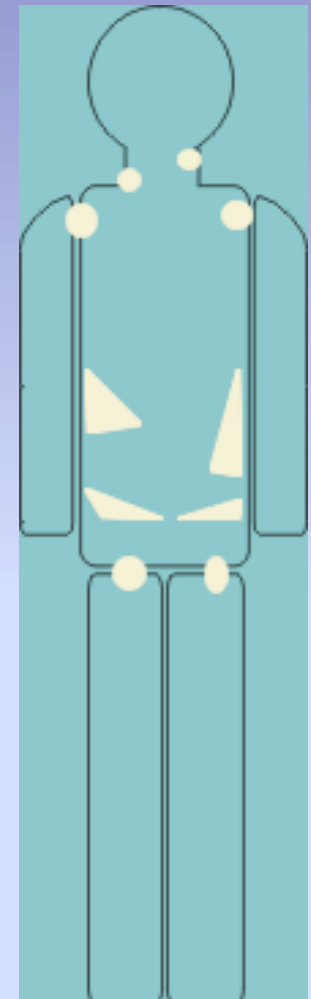
(Extensión de la enfermedad en el huésped afectado)



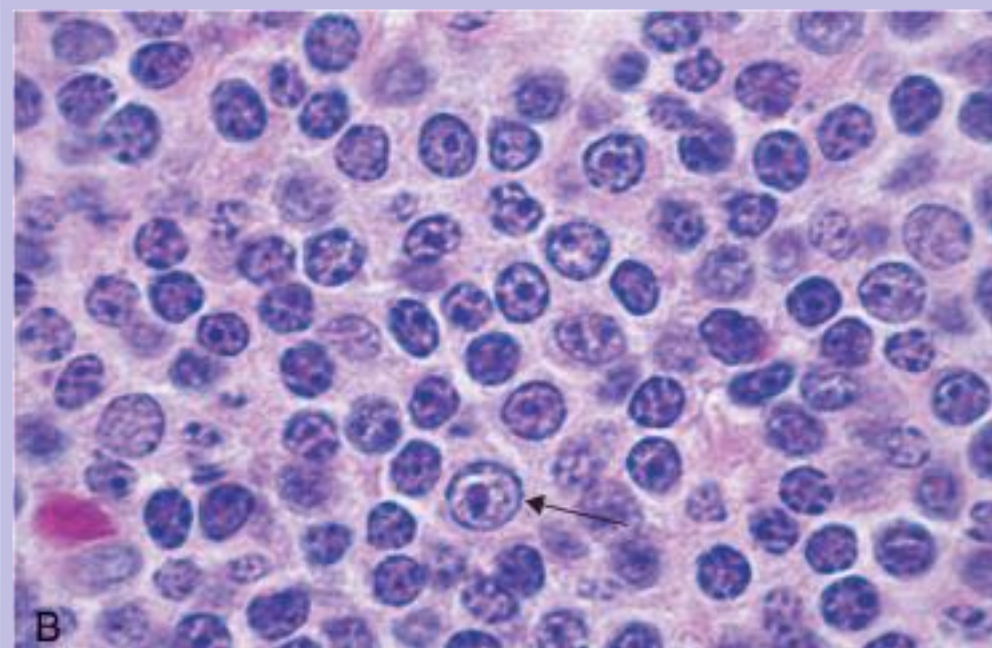
-Fiebre
-Sudoración nocturna
-Pérdida de peso
A vs B

Linfoma linfocítico Difuso (Leucemia linfática crónica B)

- Edad avanzada
 - Curso Indolente
 - Estadio IV (Infiltración de MO)
 - Incurable
 - Sobrevida prolongada
-
- CD20+, CD 5+, CD 23+
 - Del 13q14: presente en 60 %,. microRNAs: miR15a
 - y miR 16-1 (genes supresores de tumor)
 - Ganancia de función de NOCHT
 - Señalización via BrutonTyrK
 - mutación p 53: presente en 10 % . La frecuencia aumenta en los casos de evolución al Síndrome de Richter

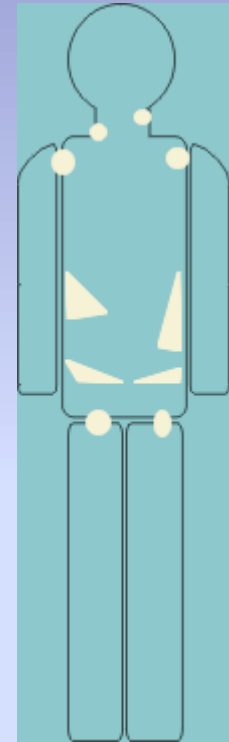


Linfoma linfocítico de células pequeñas/leucemia linfática crónica (ganglio linfático)

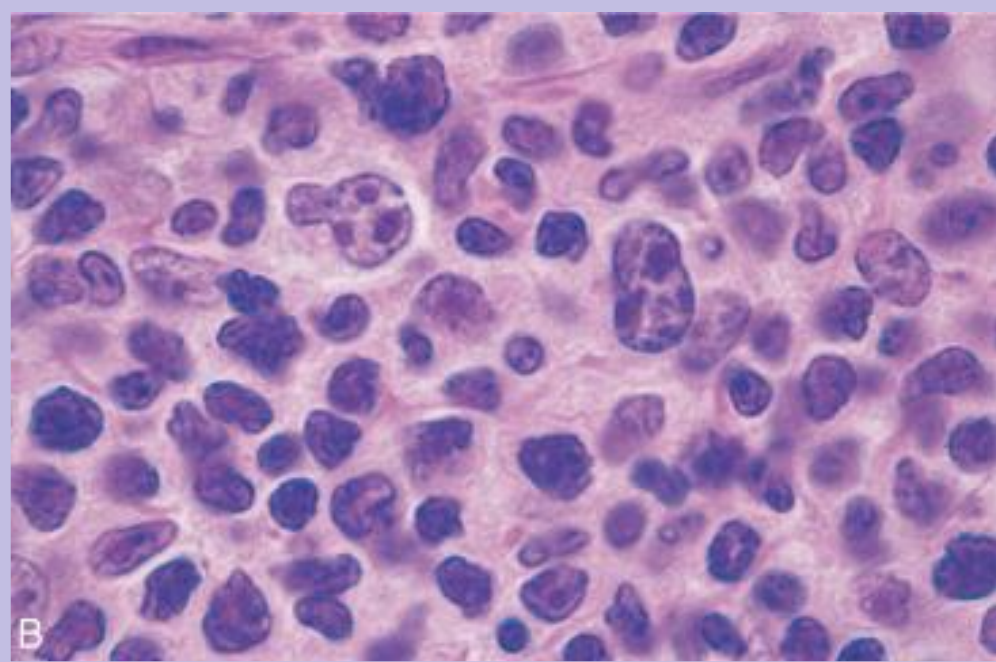
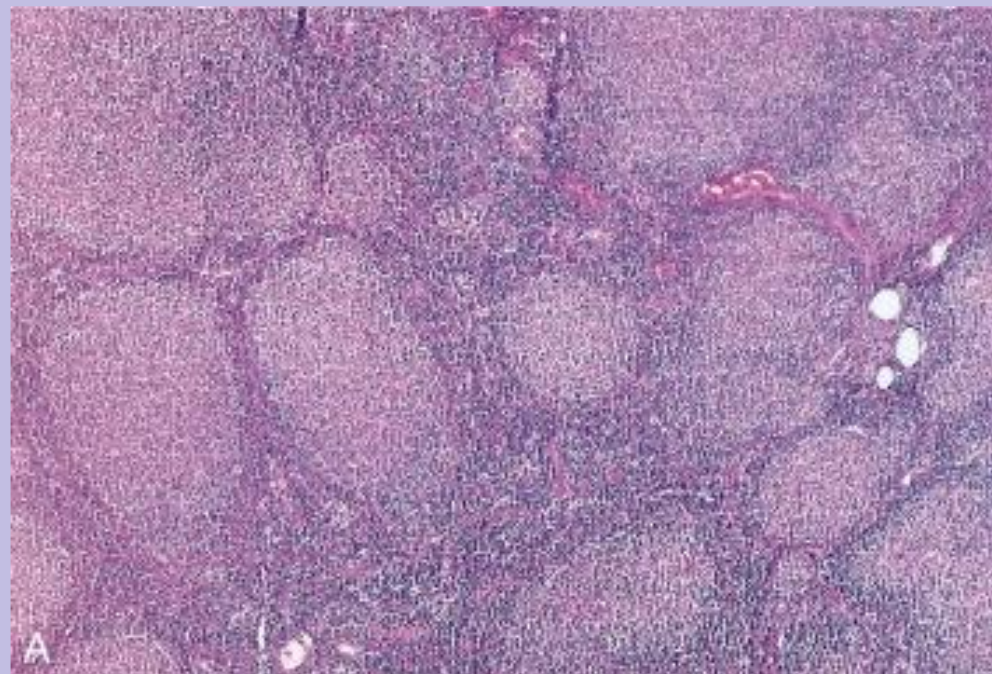


Linfoma Folicular

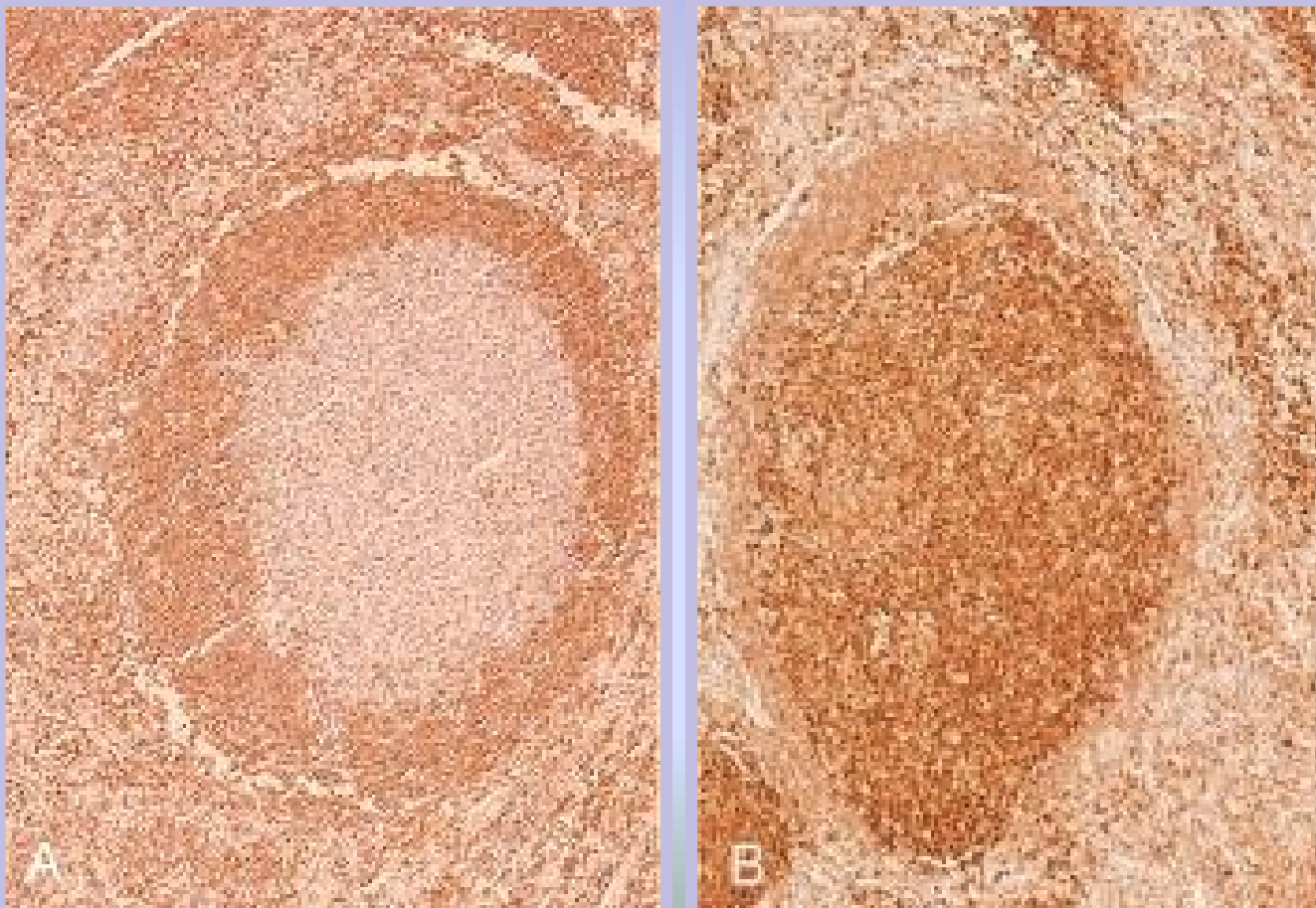
- 25% de LNH
- Edad 50 a
- Indolente, incurable
- Estadío IV (al momento diagnóstico)
- 30% → LNH difuso de grandes células B
- t(14;18)(q32;q21): yuxtaposición de bcl-2 al locus Ig_H segmento J
- Sobreeexpresión de Bcl-2 folicular → supervivencia celular
- MLL2 > DNAMT(epigenética)
- IHQ: CD20+, CD10+, Bcl-6, Bcl-2



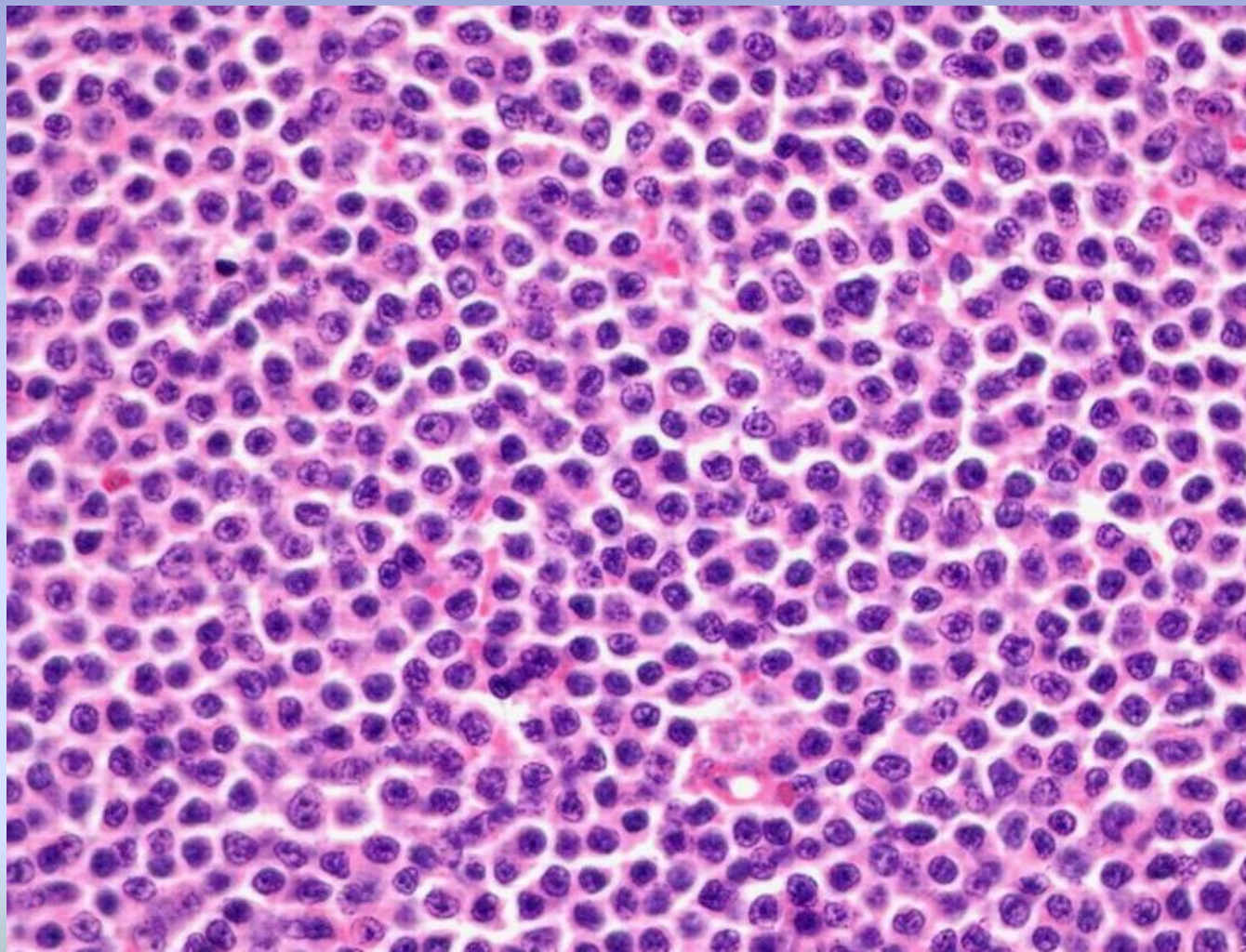
Linfoma folicular (ganglio linfático)



Expresión de BCL2 en folículos reactivos y neoplásicos. La proteína BCL2 fue detectada mediante una técnica inmunohistoquímica que produce una coloración marrón



Linfoma de Zona Marginal



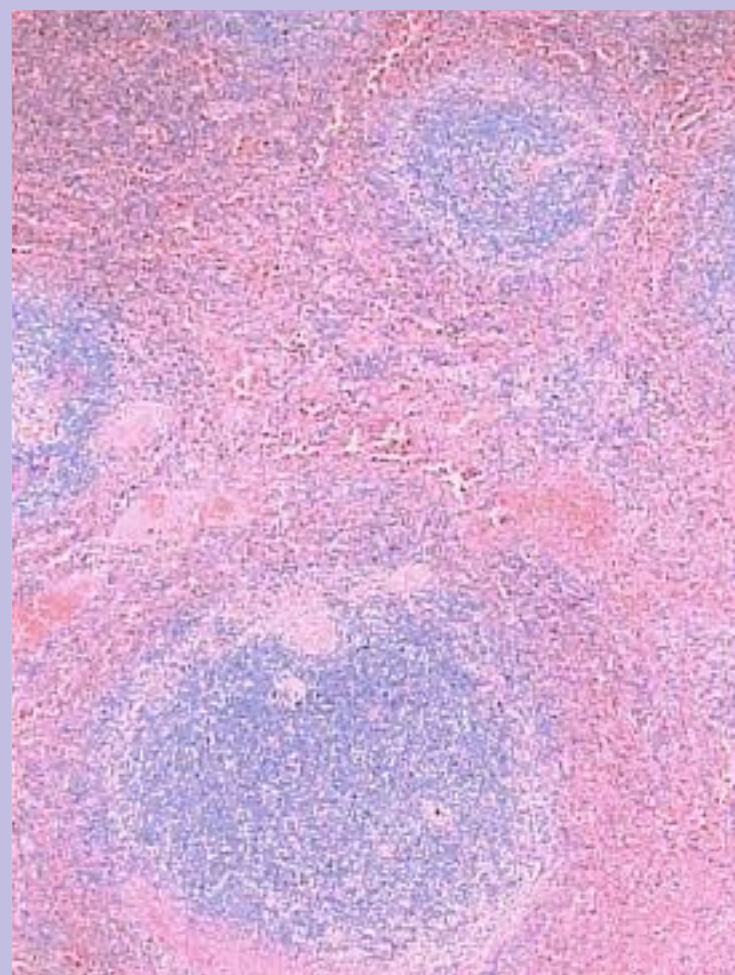
Linfomas de Zona marginal: LNH de tipo MALT

- 60 años
- Indolente, localizado
- Diseminación tardía
- Antecedente inflamación crónica autoinmune o infecciosa:
 - *Helicobacter pylorii*: asociado al LNH MALT gástrico.
 - T. De Hashimoto: LNH MALT de tiroides
- t(11;18)=API2/MLT. T(1;14)=*bcl-10*
- IHQ: CD20+, Bcl-2

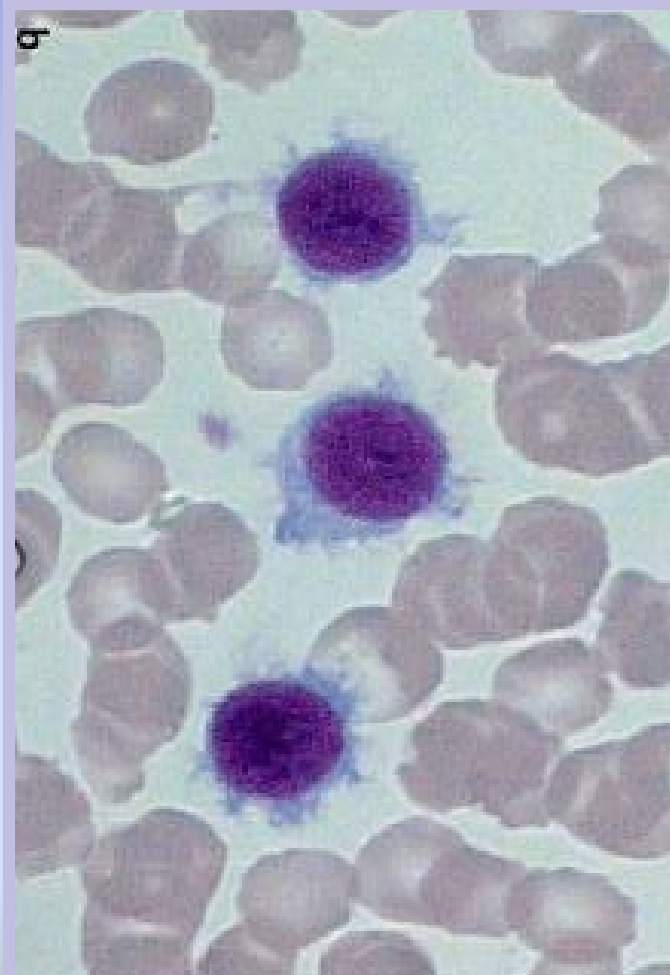


Linfoma de la zona marginal Esplénico

Bazo



Sangre periférica



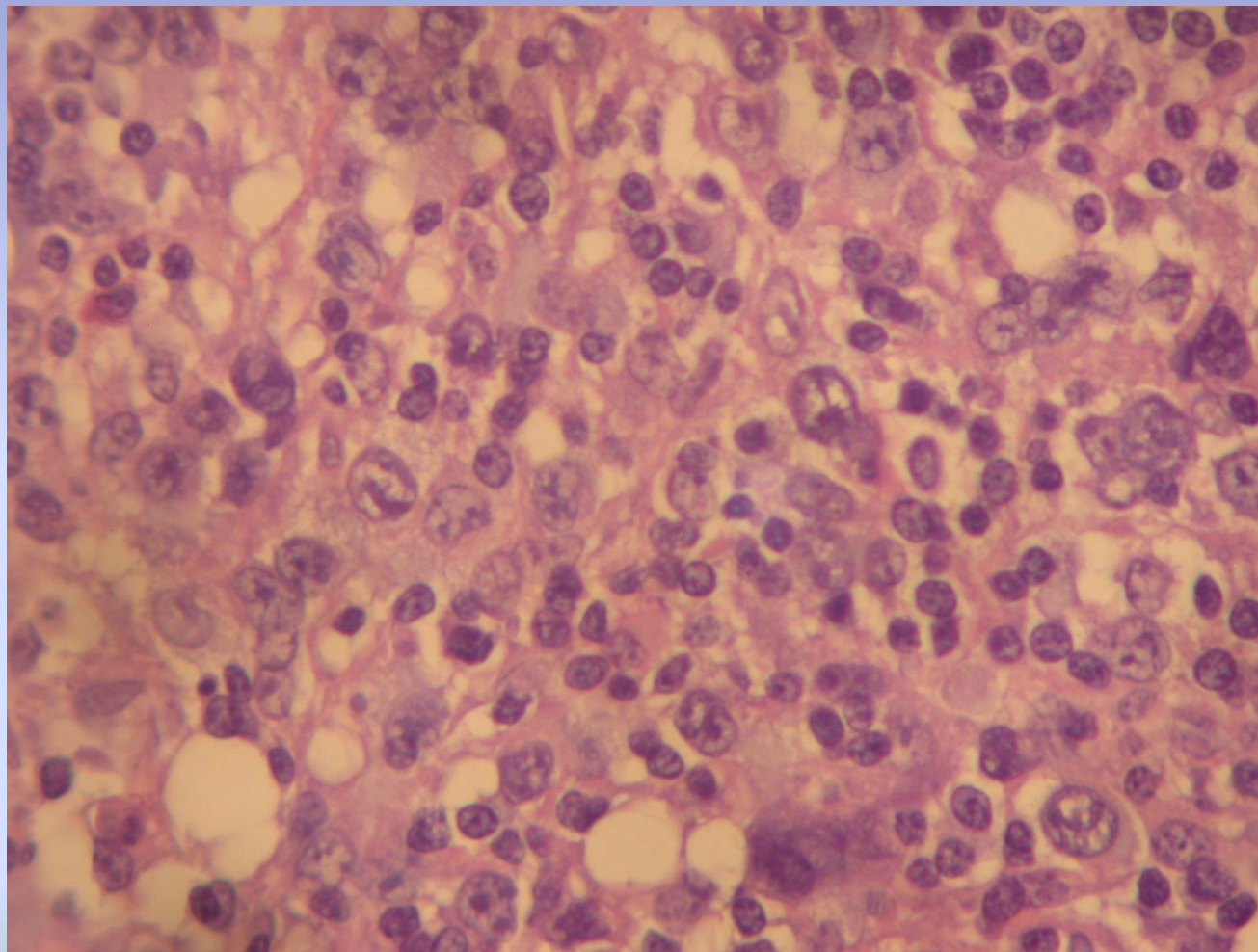
Linfomas Difusos de Grandes Células B

- 70% de LNH agresivos
- 60 años
- Anillo de Waldeyer
- Alteraciones en 3q27(BCL-6) y en la enzima AID inhibn la progresión de la ontogenia del las células centro-germinativas (congelamiento)
- Alteraciones de genes modificadores de histonas
- IHQ: CD20+, CD10+, Bcl-6

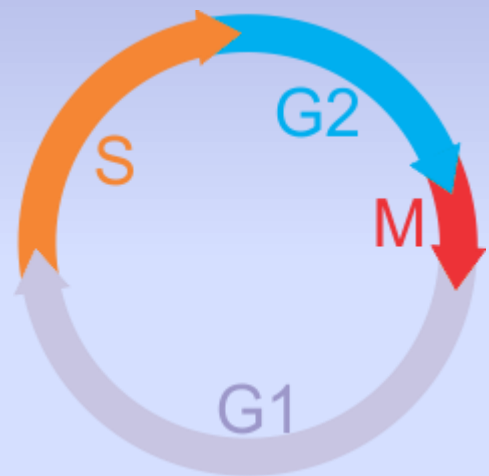
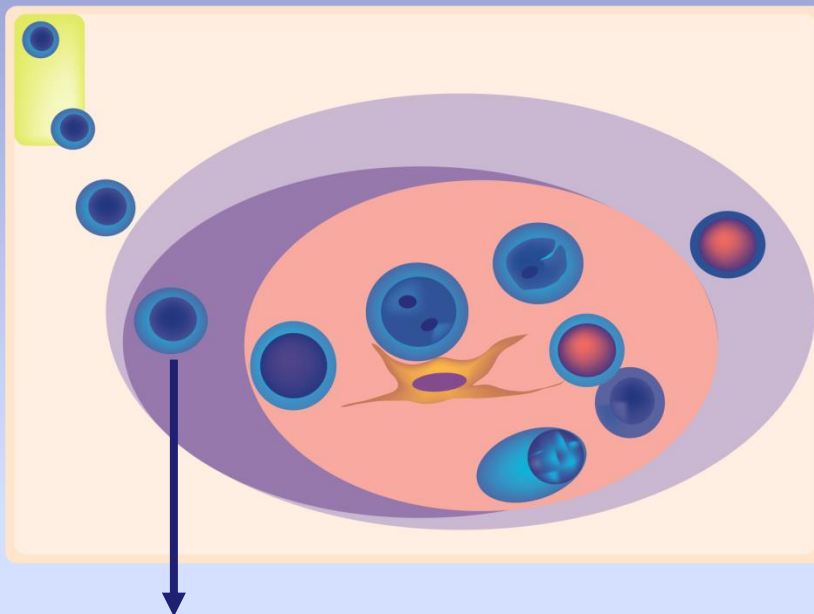
Linfomas Difusos de Grandes Células B

Alteraciones genéticas	ABC	GCB	PMBL
t(14;18) BCL-2	0	40-50 %	20%
Amplificación BCL-2	34%	10%	16%
t(3;Vs) BCL-6	25%	10%	20%
Amplificación 3q	25%	0	<5 %
Amplificación 9q24	5%	0	45%
Deleción/mutación PRDM1	25%	0	
Amplificación REL	0%	15%	25%
t(;14) MYC	5-10% de todas las variantes		
del p53	aprox 20 % de todas las variantes		

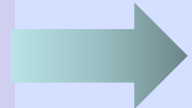
LDGCB



Linfoma de células del manto

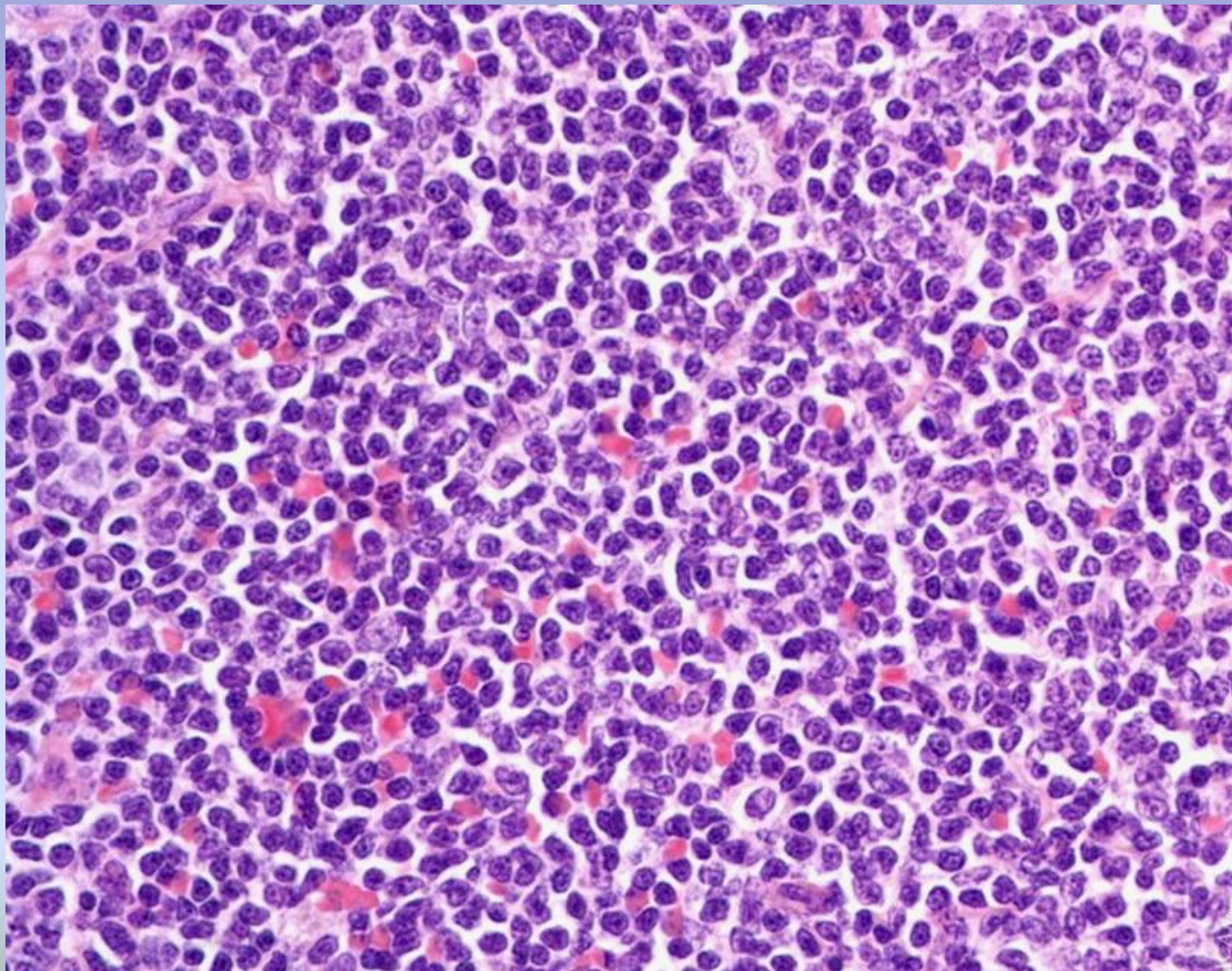


t(11;14)

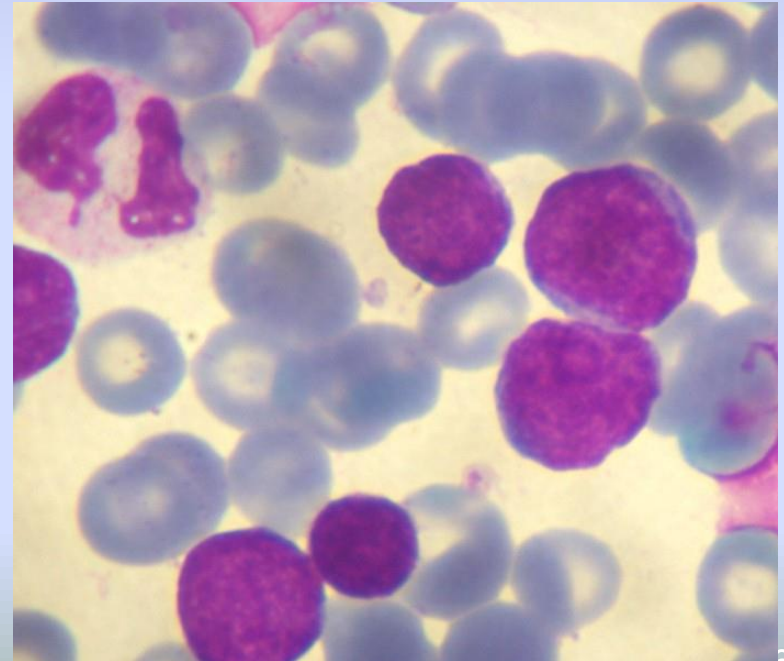
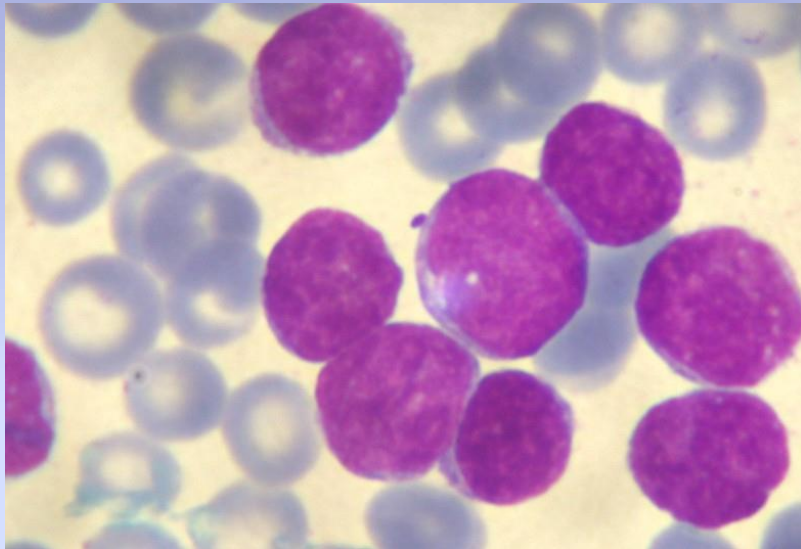


Sobre-expresión de Ciclina D-1

Linfoma de células del manto



Linfoma de células del manto (expresión leucémica)



- RAPER, F. P. (1956), *Brit. J. Urol.*, **28**, 436.
 RAVAULT, P. P., PAPILLAN, J., PINET, F., and JACQUOT, F. J. (1956), *Lyon med.*, **68**, 453.
 RONS, J. C., and TINKLER, L. F. (1958), *Brit. J. Surg.*, **46**, 58.
 SAMSON, P. (1945), *J. thorac. Surg.*, **14**, 330.
 SANTY, P., GALY, P., GONIN, A., MARION, P., PAPILLON, J., and PINET, F. (1957), *Pr. med.*, **65**, 307.

- SCANNELL, J. G., and SHAW, R. C. (1954), *Brit. Med. Surg.*, **28**, 163.
 TUNIS, O. S. (1946), *Thorax*, **1**, 44.
 VAUX, D. M. (1938), *J. Path. Bact.*, **44**, 141.
 WALSH, G. C., NORTON, G. W., and ROBERTSON, R. (1957), *Canad. med. Ass. J.*, **76**, 292.
 ZEMAN, F. D. (1945), *J. thorac. Surg.*, **14**, 330.

Denis Burkitt



1911-1993

A SARCOMA INVOLVING THE JAWS IN AFRICAN CHILDREN

BY DENIS BURKITT

FROM THE DEPARTMENT OF SURGERY, MULAGO COLLEGE MEDICAL SCHOOL, AND MULAGO HOSPITAL, KAMPALA, UGANDA

MALIGNANT tumours of the jaws in children, primary or secondary, are generally regarded as rare. A sarcoma involving the jaws in African children has recently come to be recognized at Mulago Hospital as a distinctive clinical condition and certainly the commonest malignancy of childhood.

Thirty-eight patients with this sarcoma in the jaws have been seen during the past 7 years; 32 of

In most cases the tumour started in the region of the alveolar process of a maxilla (Fig. 247) or the mandible (Fig. 249). Loosening of the deciduous molars was often the first symptom, the teeth in the involved area soon becoming embedded in tumour tissue only, and losing their insertion in bone. The next stage was irregular displacement of the teeth prior to their falling out. The tumour grew rapidly,

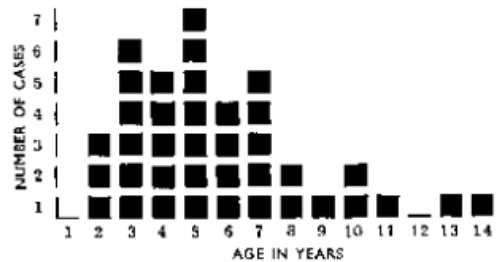


FIG. 246.—Showing age distribution in 38 cases.

them were seen at Mulago Hospital and 6 at district hospitals. The tumour was diagnosed clinically in a further 8 children, but these have not been included in this series owing to lack of histological confirmation.

Records of only 3 cases of this type of jaw sarcoma in children have been traced in the literature (Christiansen, 1938; Salmon and Darlington, 1944; Burford, Ackerman, and Robinson, 1944). Gelfand (1957) published an illustration of a sarcoma of the jaw in an African child without clinical details.

GEOGRAPHICAL DISTRIBUTION

Patients have not been limited to any particular area in Uganda, and have represented 11 different tribes. This sarcoma has also been observed in Kenya (Clifford, 1958); Tanganyika (Morris, 1958; Blackman, 1958); Nigeria (Thomas, 1958); the Belgian Congo (Thijs, 1958); and Southern Rhodesia (Gelfand, 1957). Patients with this syndrome have not yet been recognized in Johannesburg (Octellé, 1958), Khartoum (Taylor, 1958), Lusaka (Buck, 1958), or Lourenço Marques (Prates, 1958).

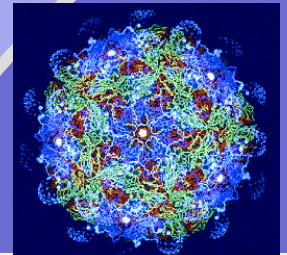
CLINICAL FEATURES



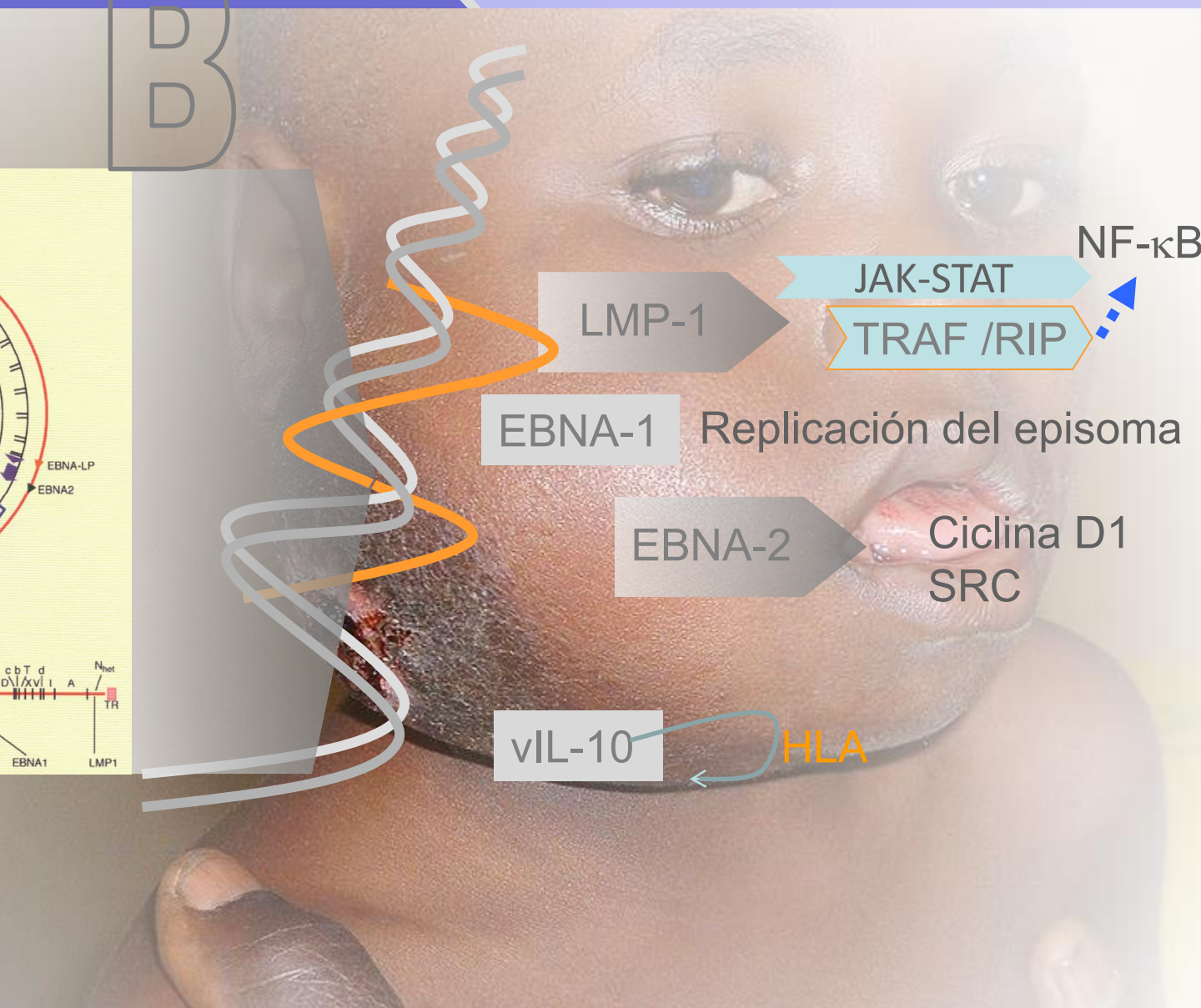
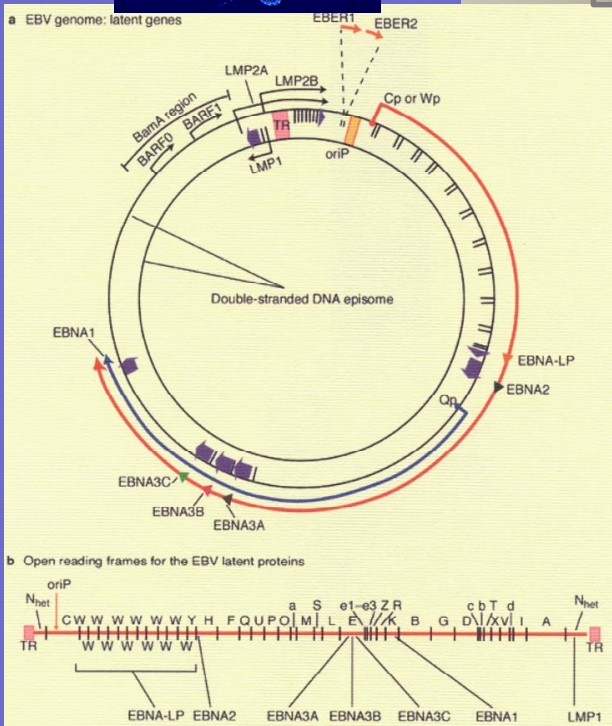
FIG. 247.—Sarcoma involving the left maxilla and acting in relation to the teeth. Case 1, taken 2 months after onset of symptoms.

grossly distorting the face. In only one patient (Case 20) did it ulcerate through the skin. Oedema of the eyelids and chemosis of the conjunctiva indicated invasion of the orbit; and if the patient survived the eye became proptosed and finally destroyed. Less commonly the tumour presented as a swelling high in the maxilla with early invasion of the orbit (Fig. 248). Pain was not usually as severe as would have been expected from the appearance of the tumour. Within two or three months of onset of symptoms their relatives removed the majority of the children from hospital in a moribund condition,

British Journal of Surgery
Volume 46, Issue 197,
pages 218-223,
November 1958



B



Linfoma de Burkitt

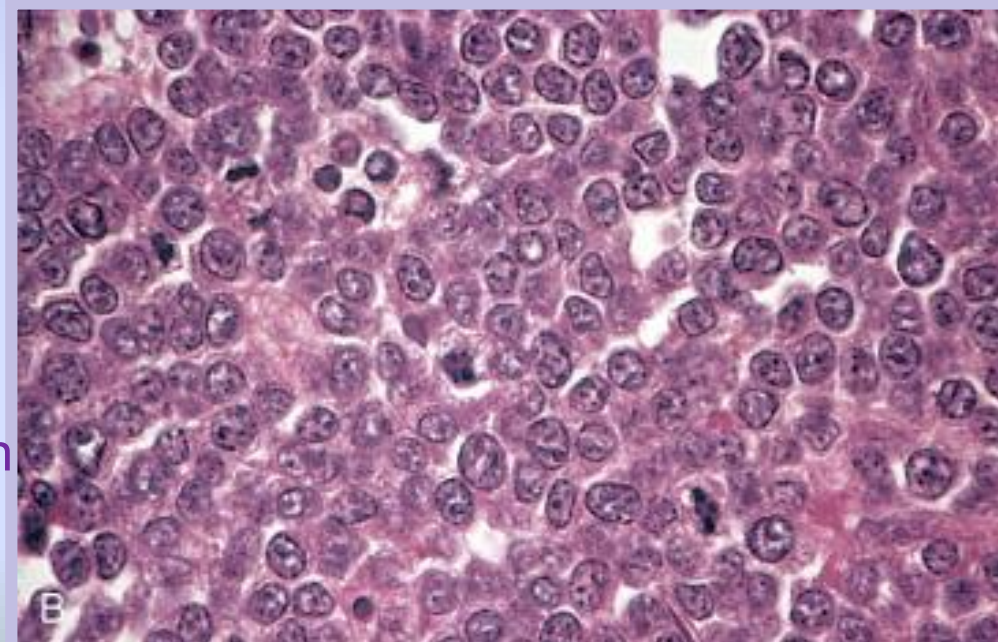
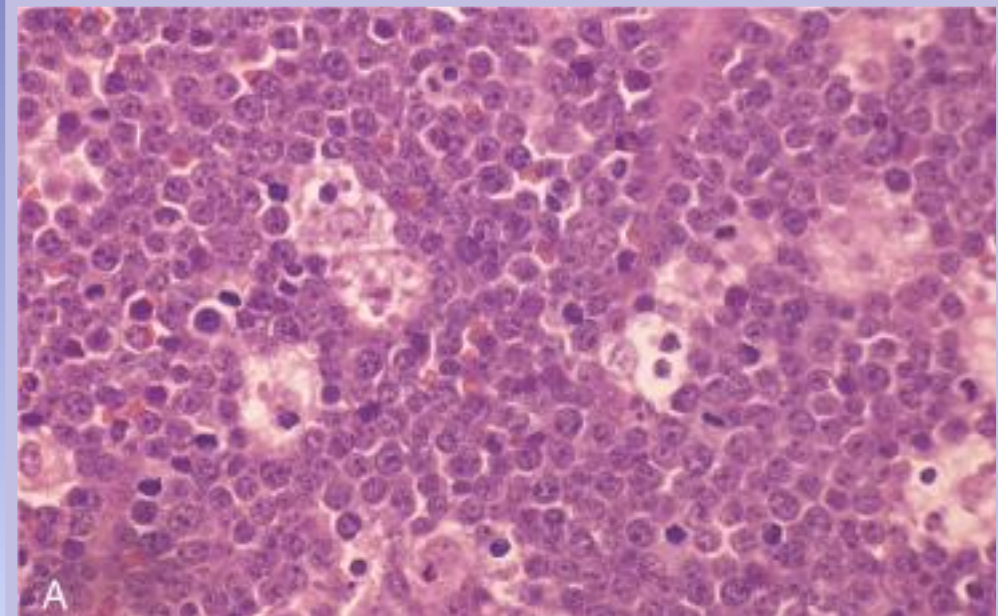
- Variantes de Linfoma de Burkitt :
 - epidémico (EBV)
 - esporádico (15-30% EBV)
 - Asociado a Inmunodeficiencia
- rupturas de 8q 14 en 100 % (sobreexpresión *c-myc*), translocaciones:
 - t(8;14)(q24;q32) : 80 % = *c-myc*-Ig_H
 - t(2;8)(p11;q24) : 15 % = *c-myc*-Ig_K
 - t(8;22) (q24;q11): 5 % = *c-myc* -Ig_λ

oncogen *c-myc*: fosfoproteína reguladora transcripcional de la proliferación celular (MYC/MAX)

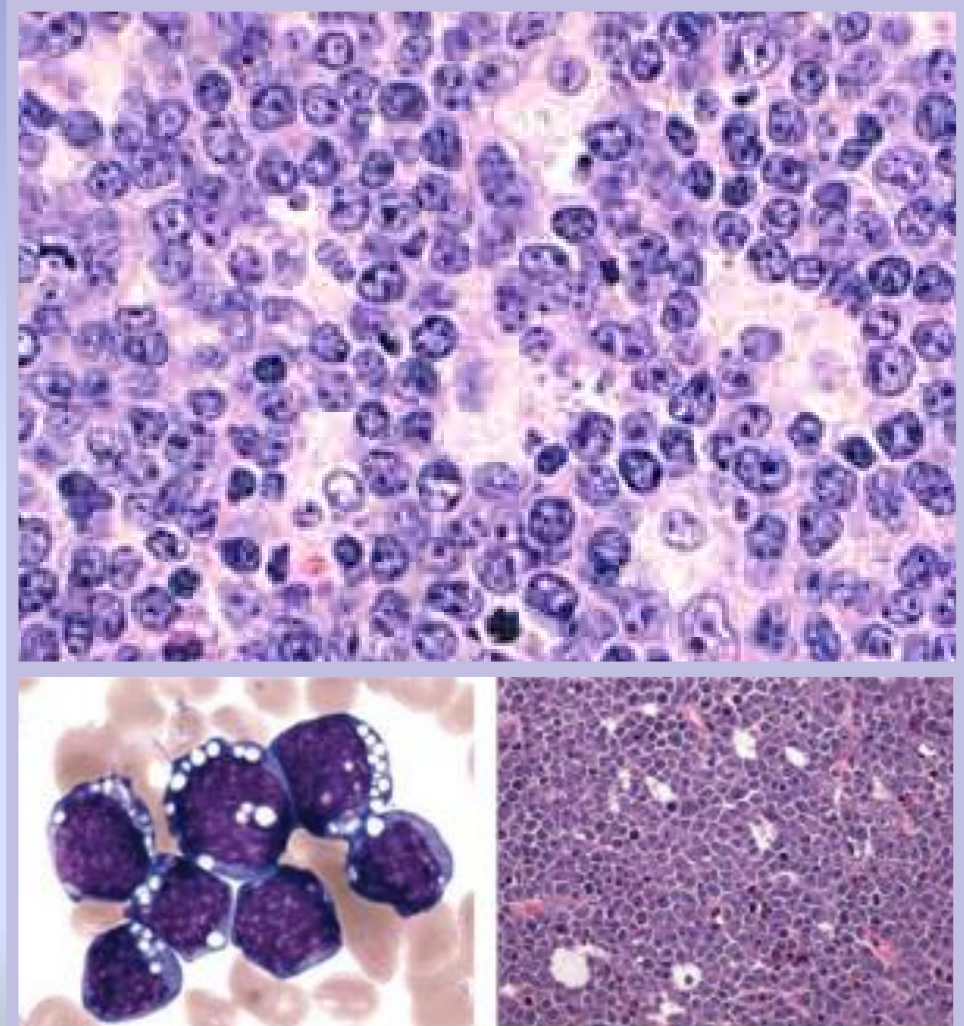
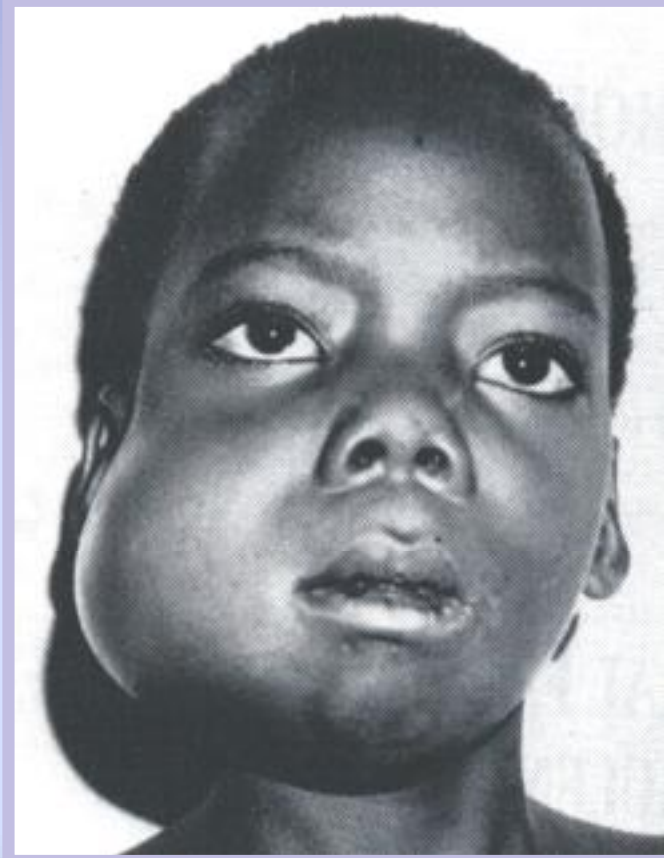
Linfoma de Burkitt

c-myc:

Acetilación de histonas
Reducción de adhesión celular
Aumento de motilidad celular
Aumento de actividad de telome rasa
Aumento de síntesis proteica
Intensificación de auto-renovación
Re-programación de células somáticas



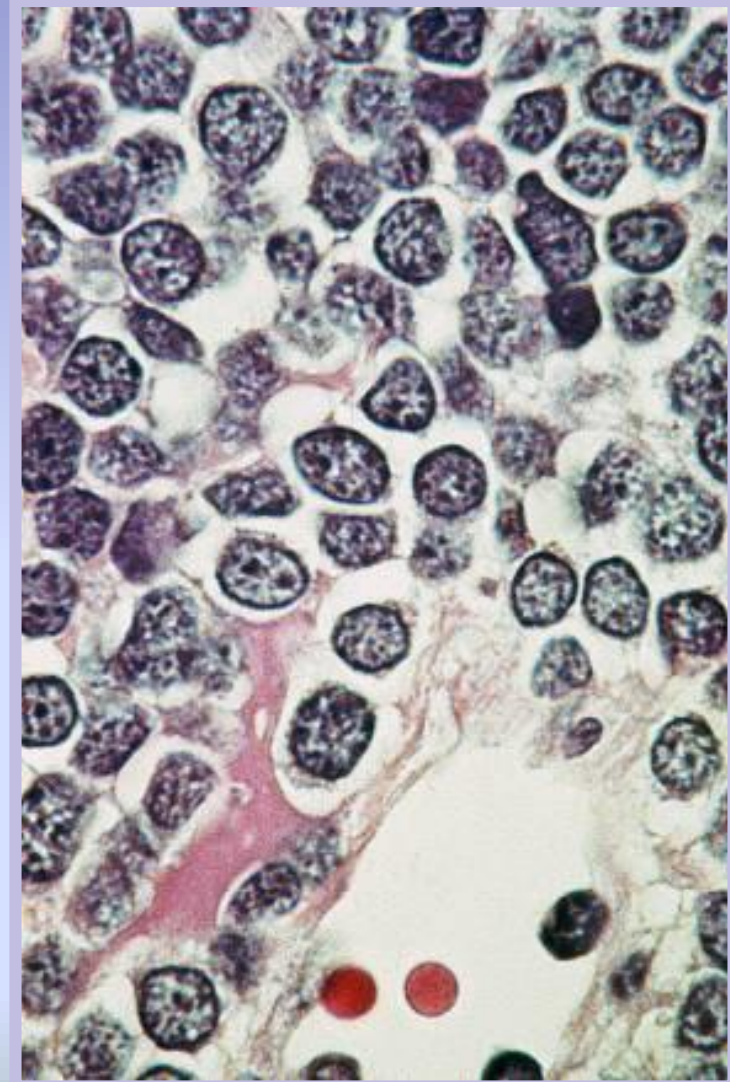
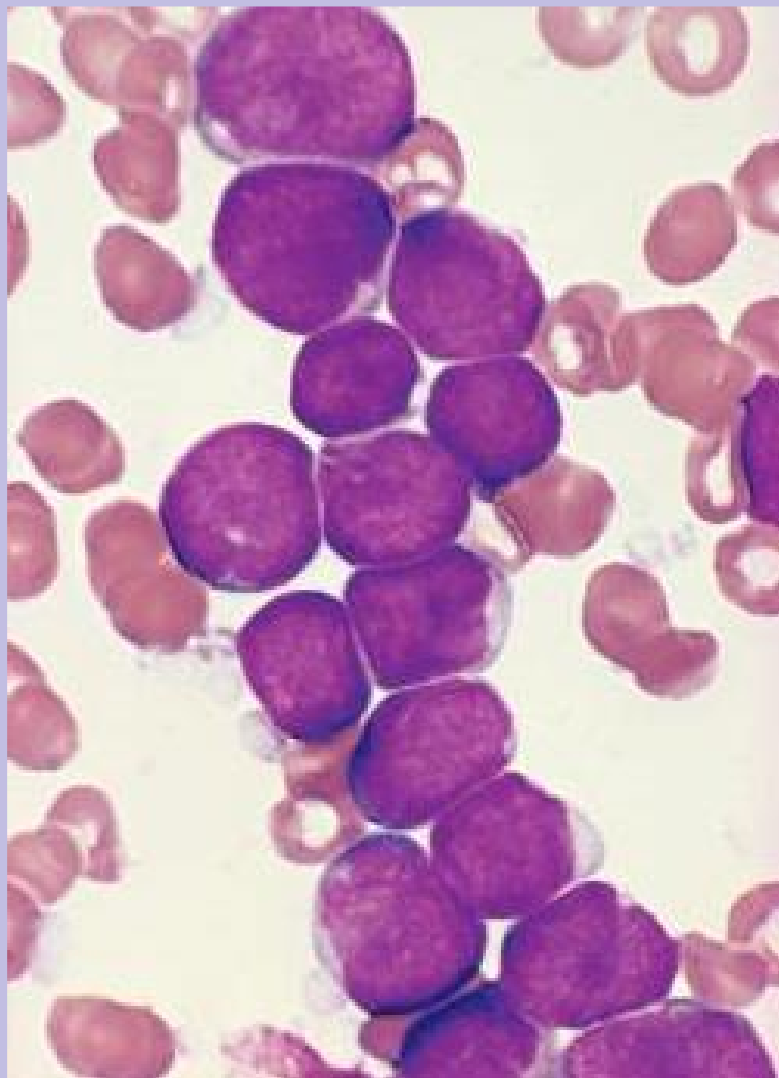
Linfoma de Burkitt



Leucemias/Linfomas de Células precursoras

- Leucemia Linfoblástica Aguda (predominio B, niños)
- Linfoma Linfoblástico (predominio T, adolescentes)
 - Masa mediastinal + adenomegalias + hepatoesplenomegalia + síntomas “B”
 - IHQ: CD2+, CD7+ (triple -)
 - Altamente agresivo, tratamiento urgente

Leucemia/linfoma linfoblástica aguda



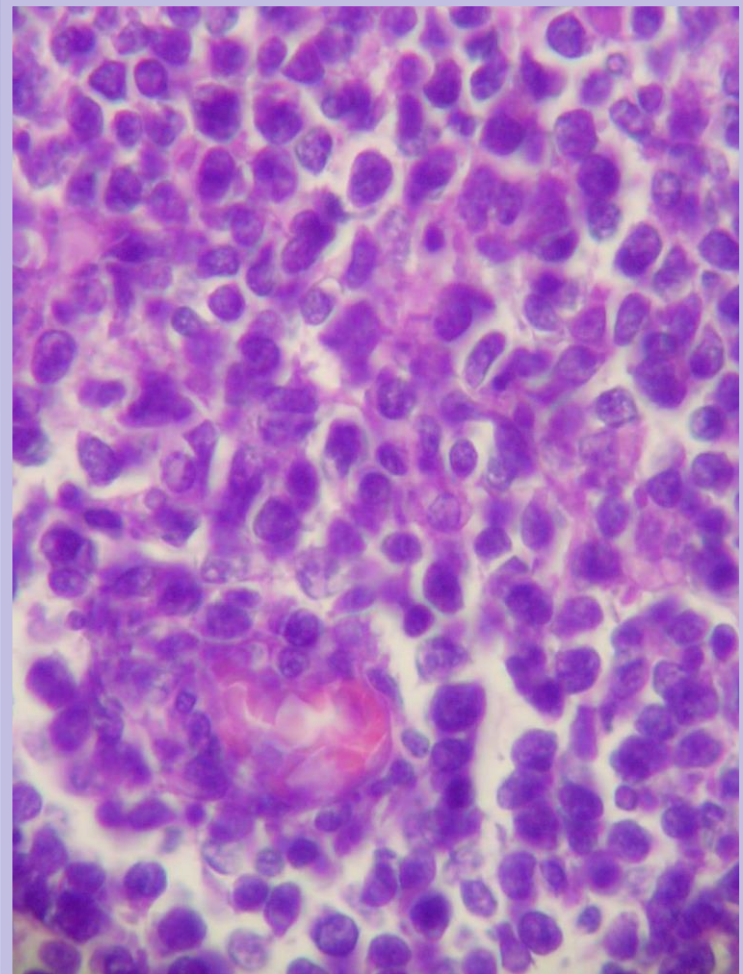
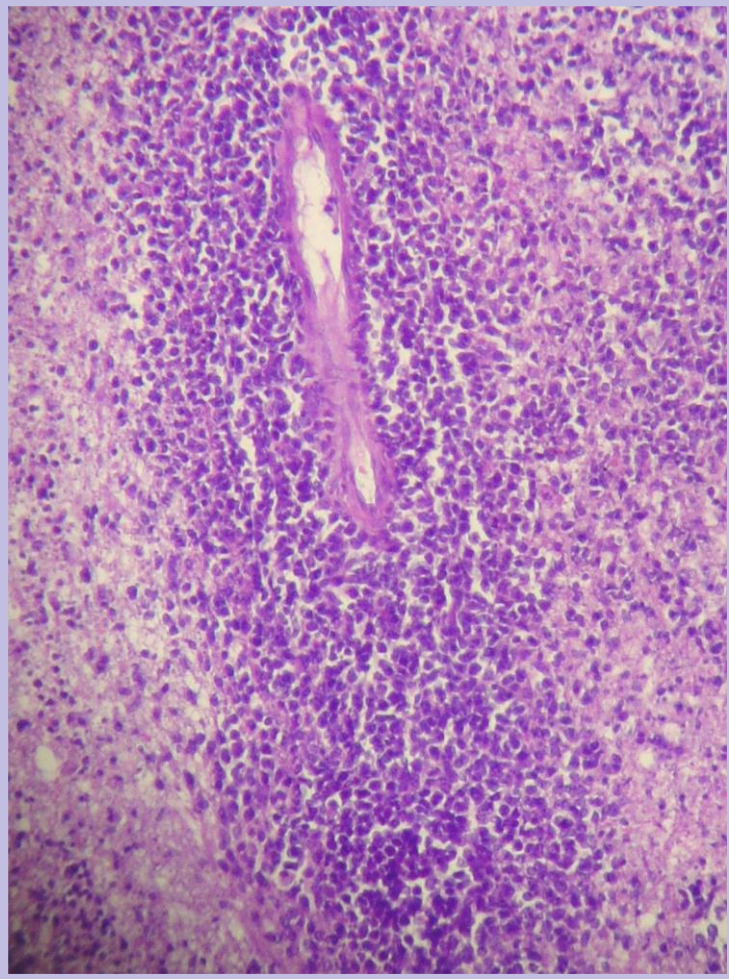
Linfomas con afectación cutánea constante

- Linfocito T periférico, CD4+
- 60 años, indolente
- Piel protegida del sol
- Mycosis Fungoides:
 - Parche Eccematoso → Placa → Nódulo
 - Infiltración epidérmica por linfocitos T CD4+
- Enfermedad de Sézary:
 - Eritrodermia exfoliativa + linfocitos cerebriformes en SP + linfadenopatías

Linfomas asociados a infección viral: HIV

- 60 veces más frecuente que en no SIDA
- En 3 % de pacientes con SIDA
- Menor edad, múltiples sitios extranodales
- 90% B
- Variantes:
 - L.Burkitt (EBV)
 - LNH Difuso de Grandes Células B (20-40% EBV, 1^º SNC)
 - PEL (L. 1^º de Cavidades) (HHV-8 + EBV)

Linfomas asociados a virus: HIV (SNC)



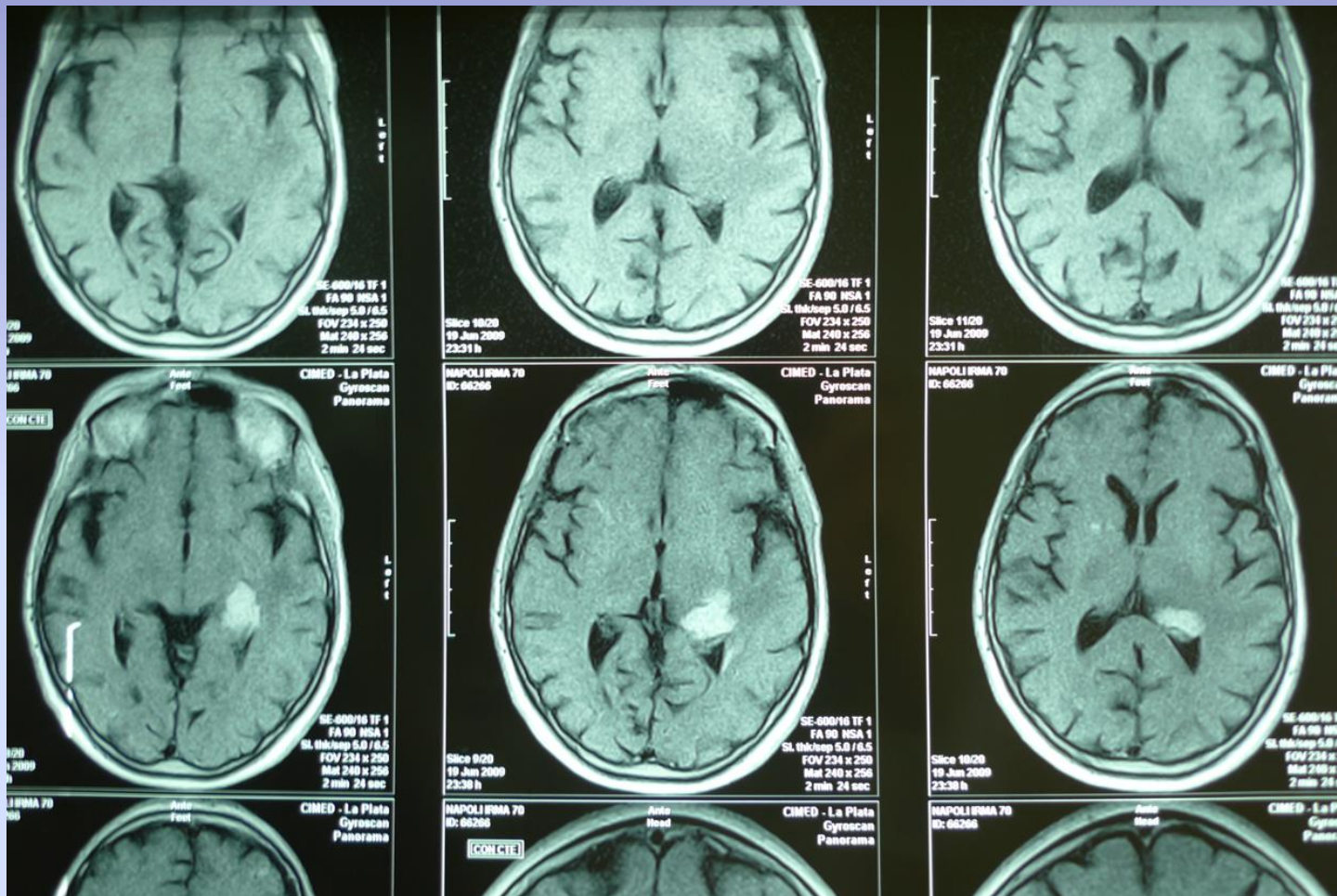
Sarcoma de Kaposi en mucosa digestiva en portador VIH



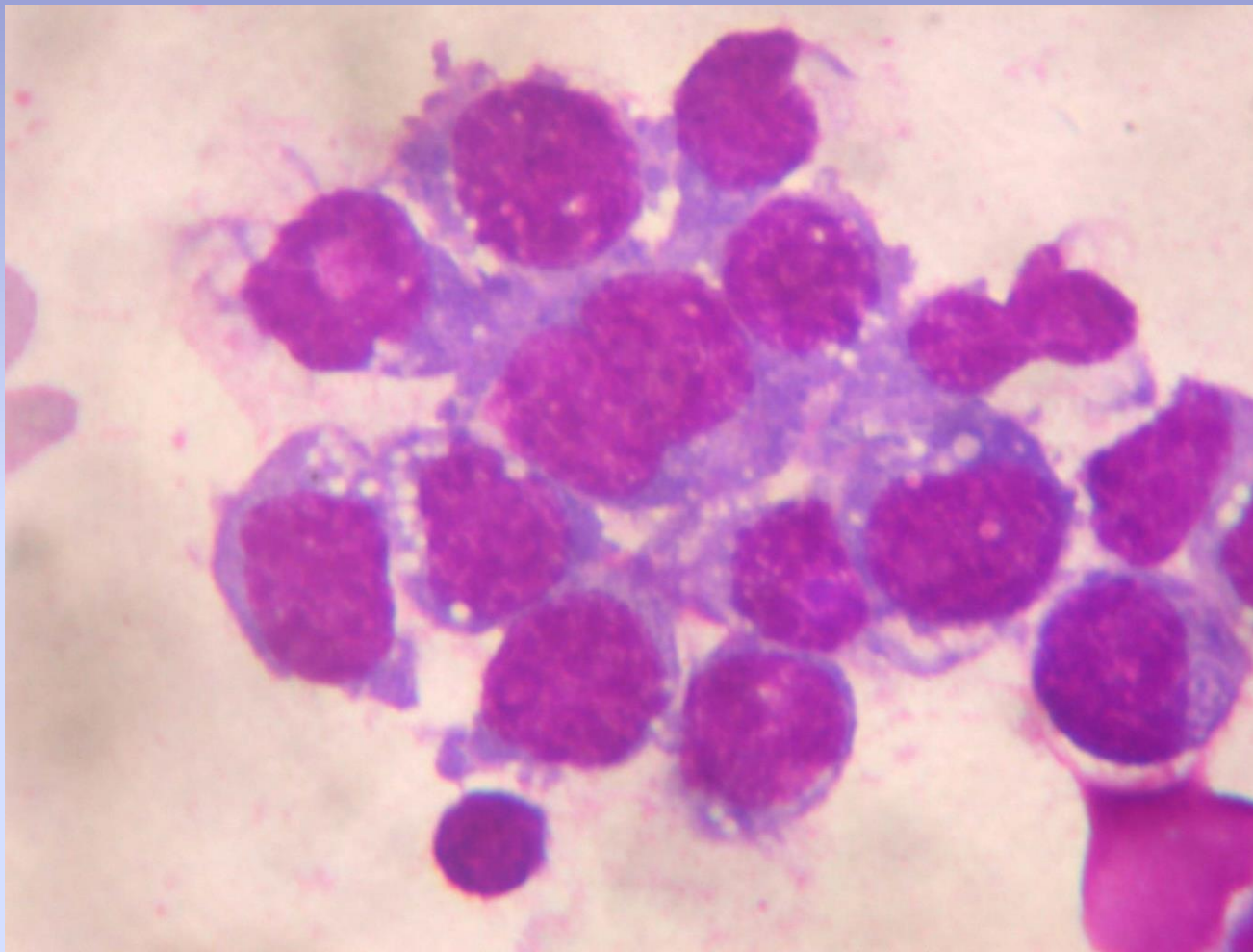
Adenomegalias en el mismo paciente. Biopsia: linfoma Hodgkin



LNH PRIMARIO DE SNC



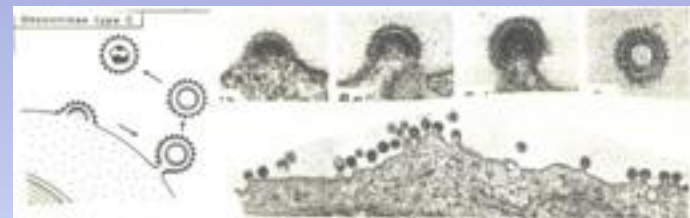
Linfoma primario de efusiones (PEL) en portador VIH



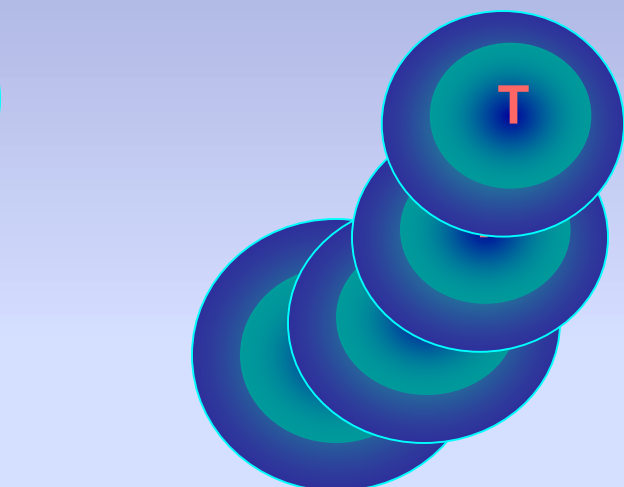
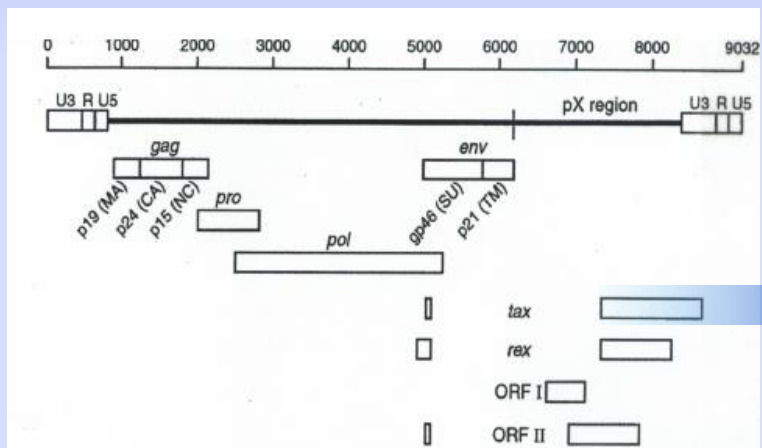
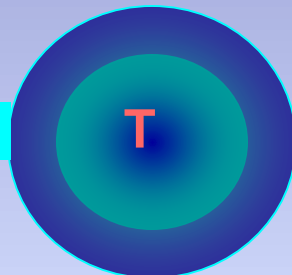
Linfomas asociados a virus: HTLV-1 (único retrovirus oncogénico para el hombre)

- = Leucemia /Linfoma de Células T del Adulto, HTLV-1+
- Endemia: Japón, Africa occidental, Caribe
- HTLV-1 infecta linfocitos T CD4+ → integración de gen *tax* → prolif. Polyclonal → prolif. Clonal: Linfoma
- Adenomegalias+ hepatoesplenomegalia + afectación cutánea + linfocitosis + hipercalcemia
- Enfermedad progresiva y fatal

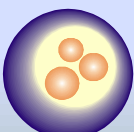
HTLV- 1

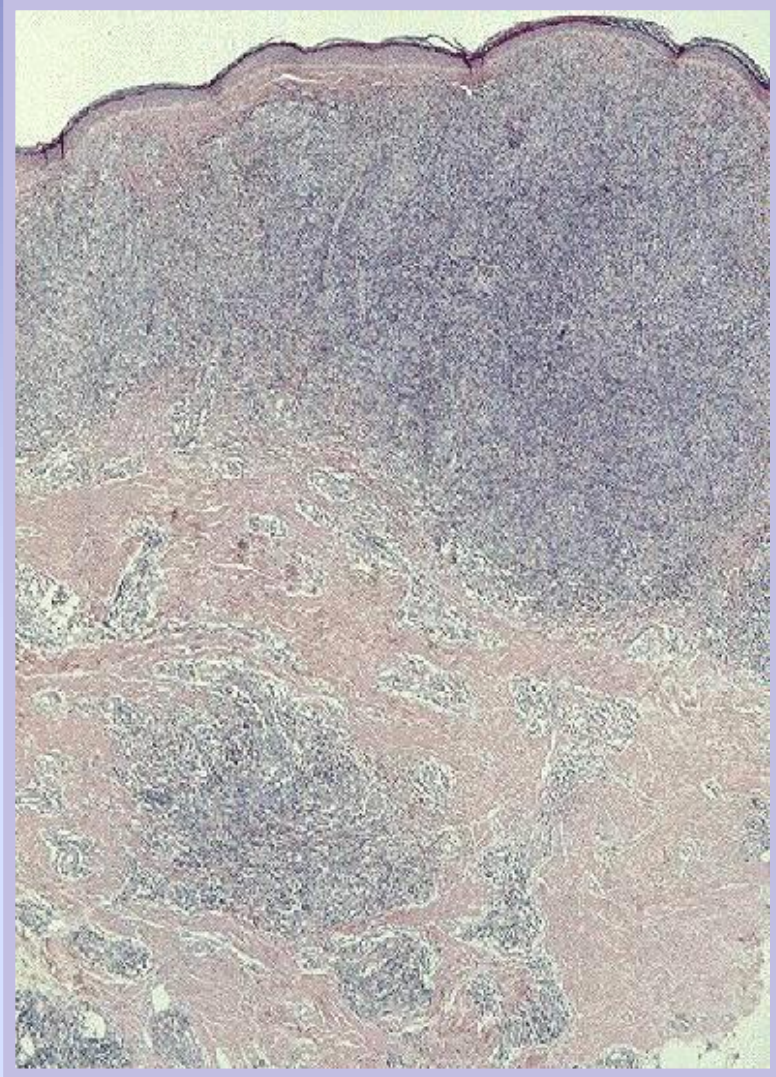
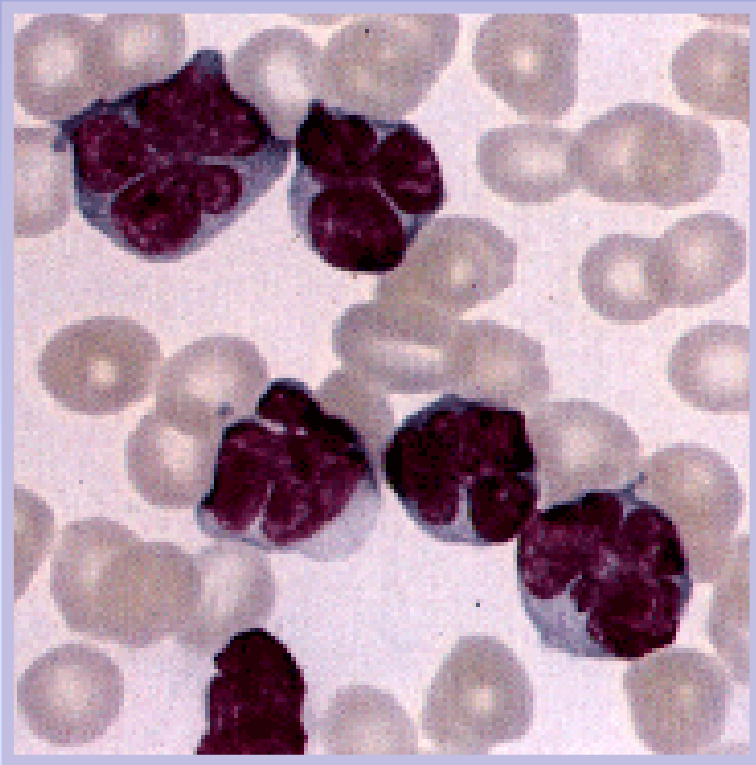


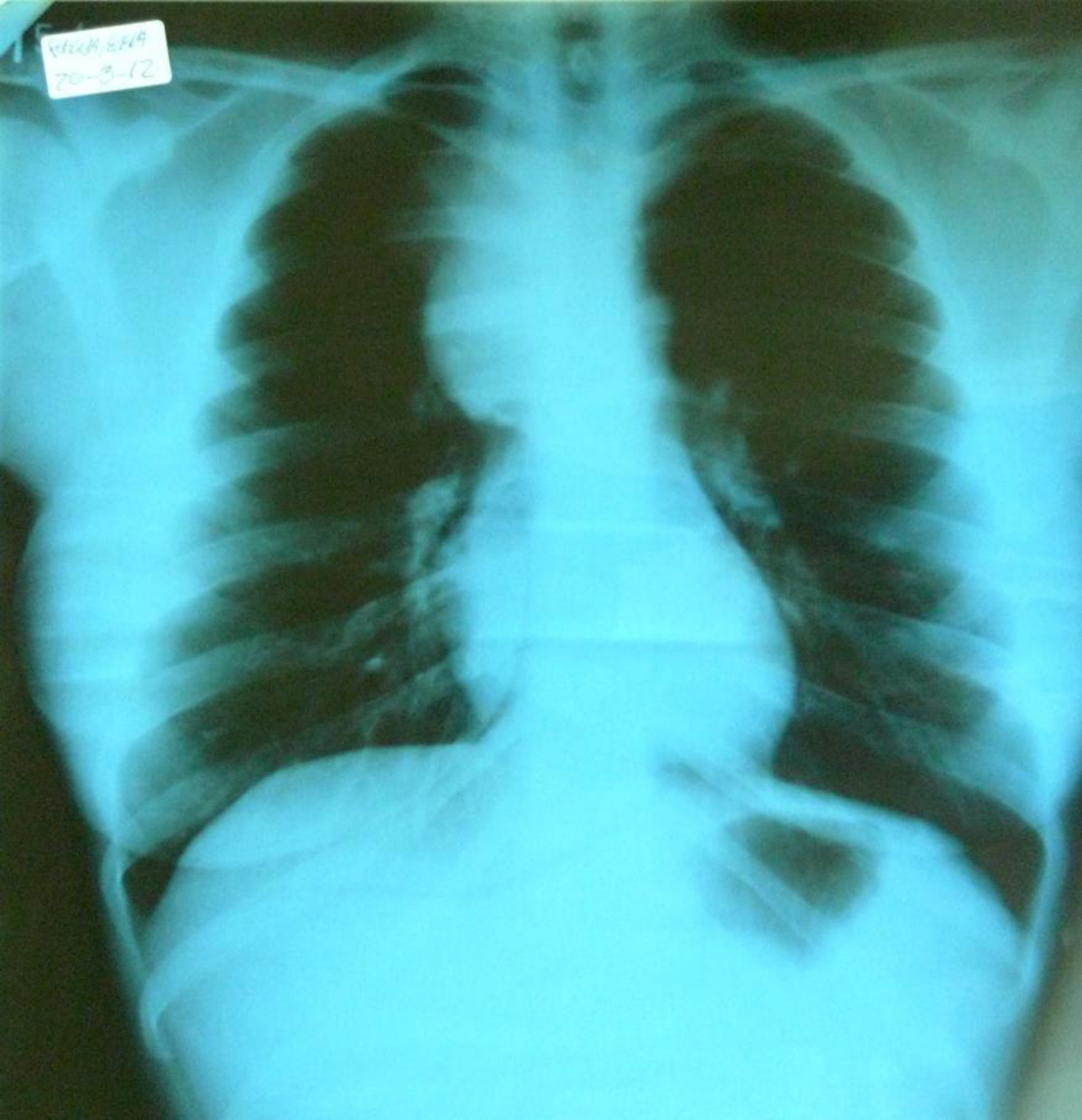
CD 4



Myc , myb , fos , jun

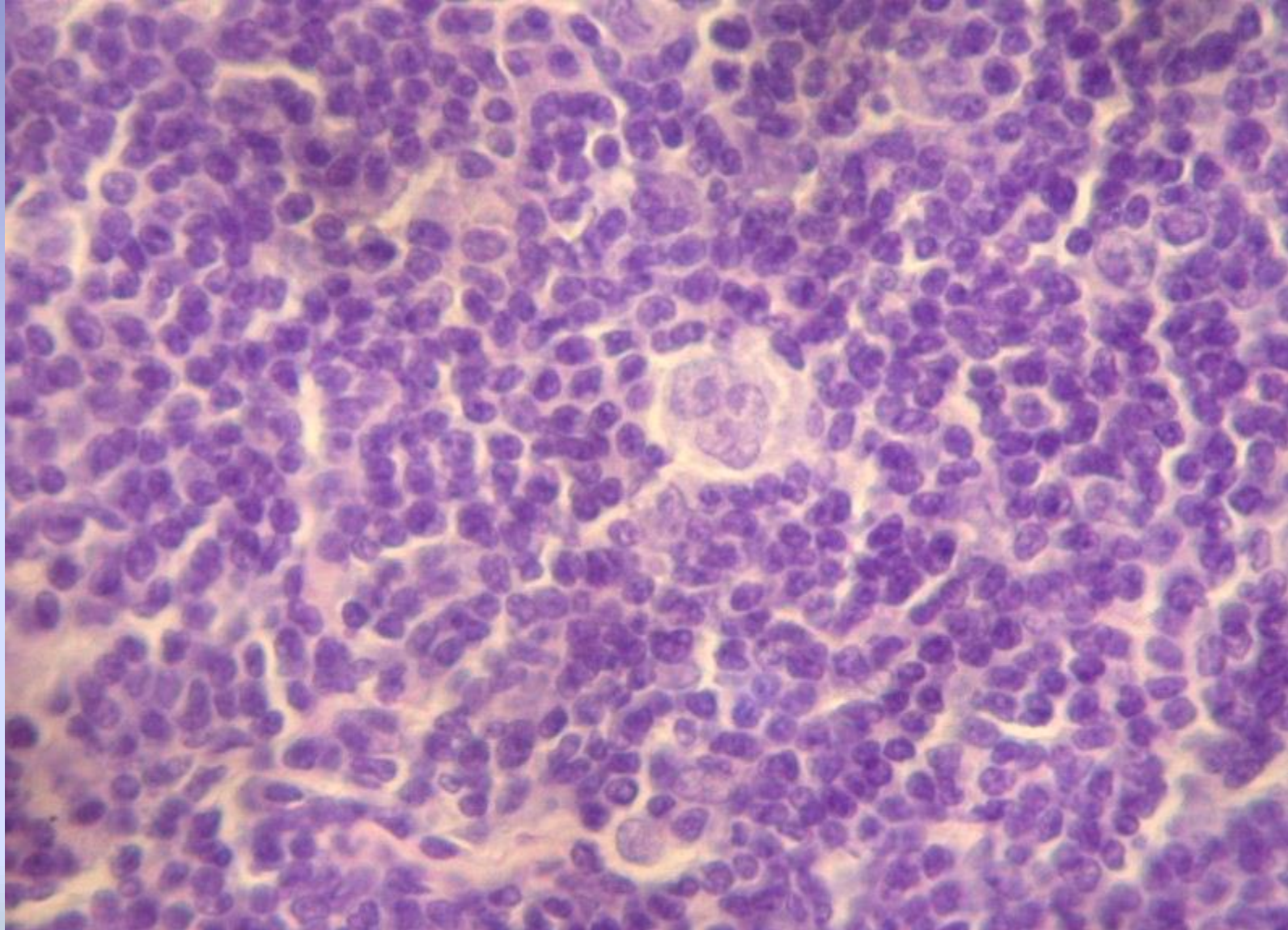






Corte histológico de un ganglio de un Linfoma Hodgkin.

Se destaca la presencia de una célula de Reed-Sternberg en el centro



Linfoma de Hodgkin

Definida por la presencia de células de Reed Sternberg

Variantes histológicas:

LH predominio linfocitario
nodular

LH Clàsico:

Predominio linfocitario
difuso

Esclerosis nodular

Celularidad Mixta

Depleción linfocitaria



Linfoma de Hodgkin

= Linfoma con escaso componente tumoral (células de Reed Sternberg) abundante estroma e historia natural de diseminación y evolución particular: (extension por contigüidad)

- Variantes histológicas:

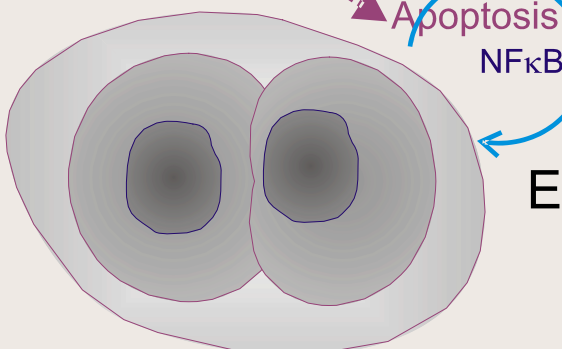
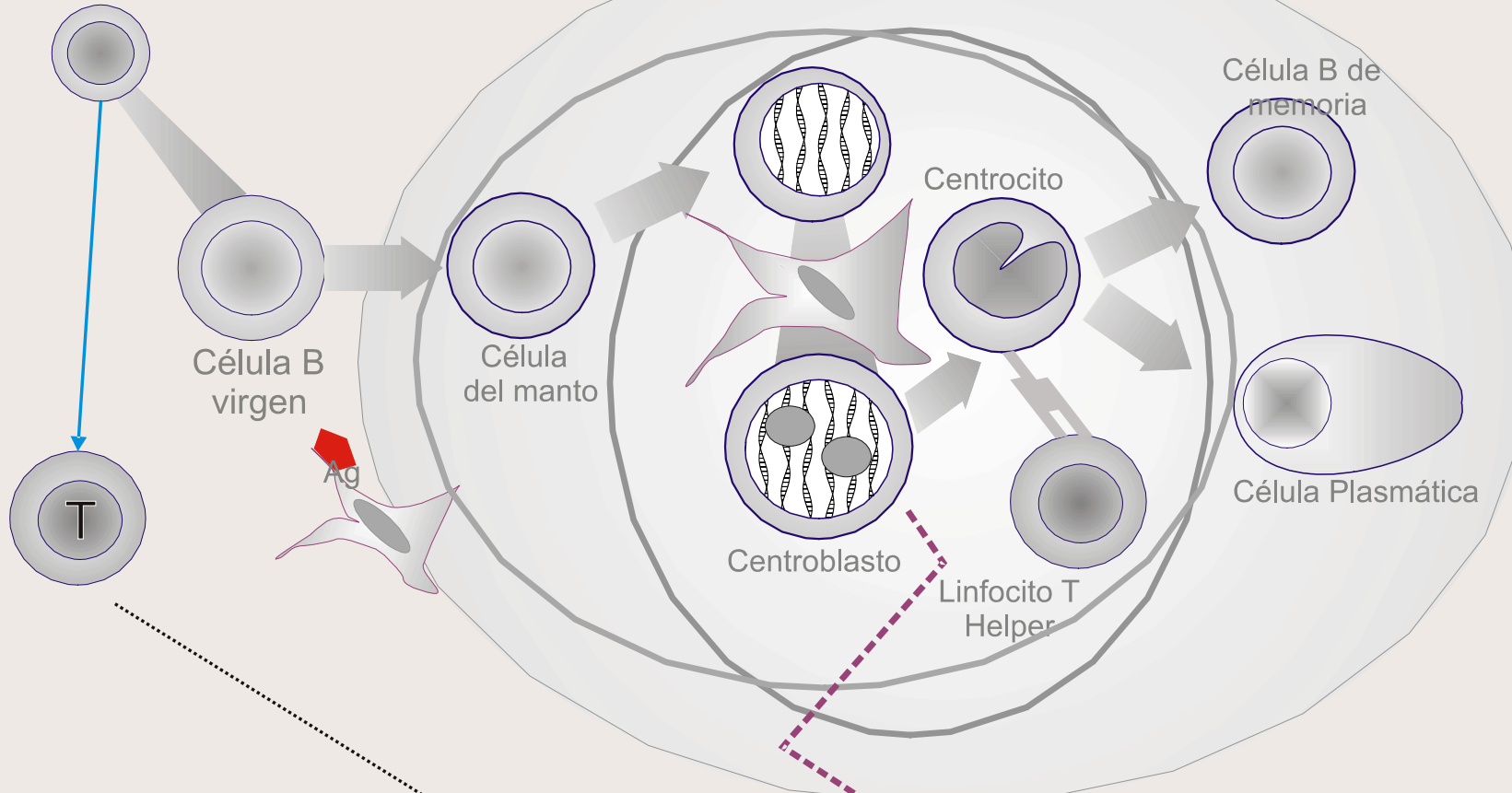
- L H Predominio linfocitario nodular
- L H Clásico:
 - Rico en linfocitos
 - Esclerosis nodular
 - Celularidad Mixta
 - Depleción linfocitaria

CELULA DE REED-STERNBERG

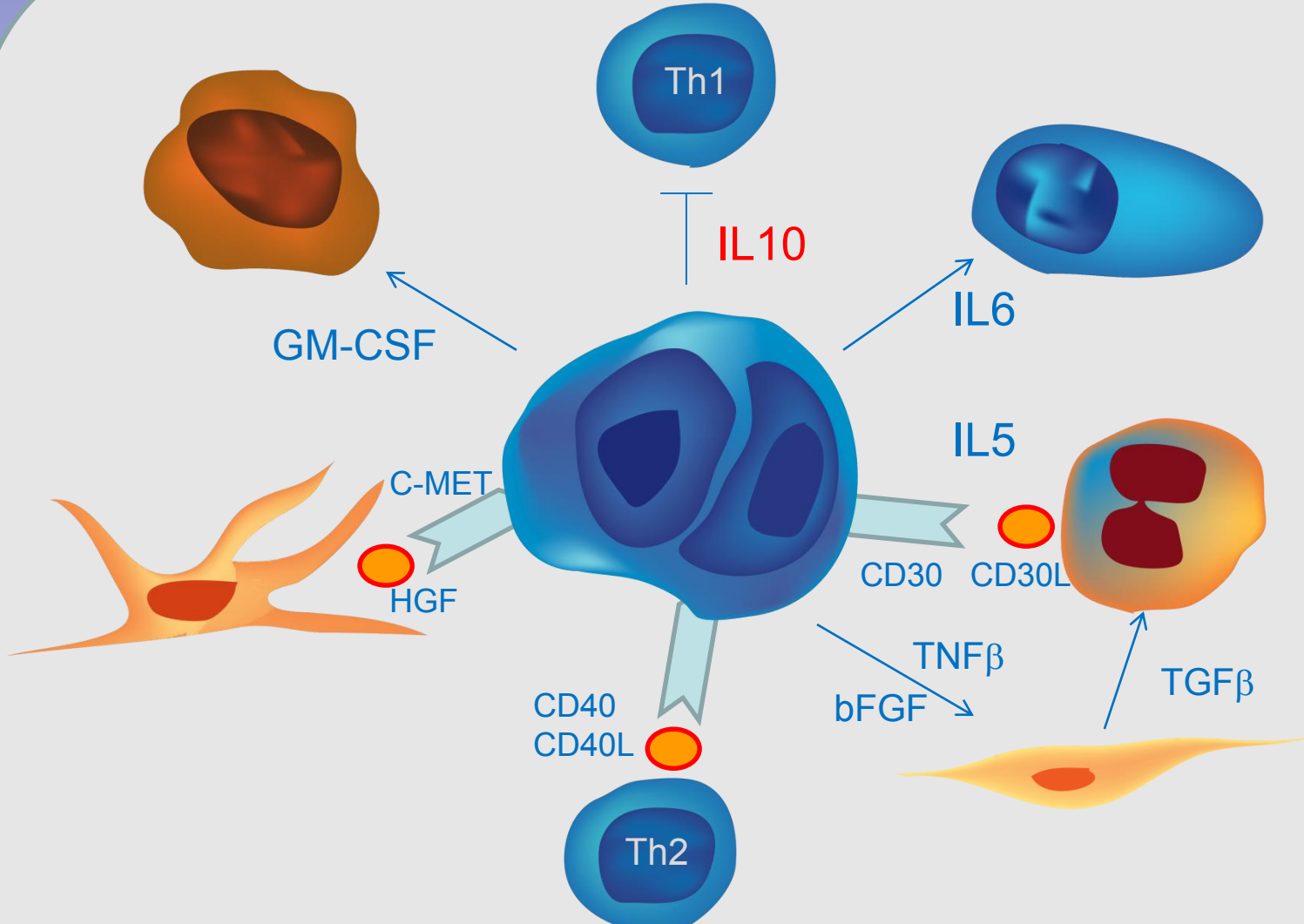
- Célula grande con abundante citoplasma basófilo, con núcleo bilobulado y nucléolo eosinofílico prominente
- Variantes:
 - Célula de Hodgkin: mononuclear
 - Célula momificada: núcleo picnótico
 - Célula lacunar
- Inmunofenotipo: CD15+, CD30+
- Secreción de citoquinas y quemoquinas que atraen a las células inflamatorias acompañantes

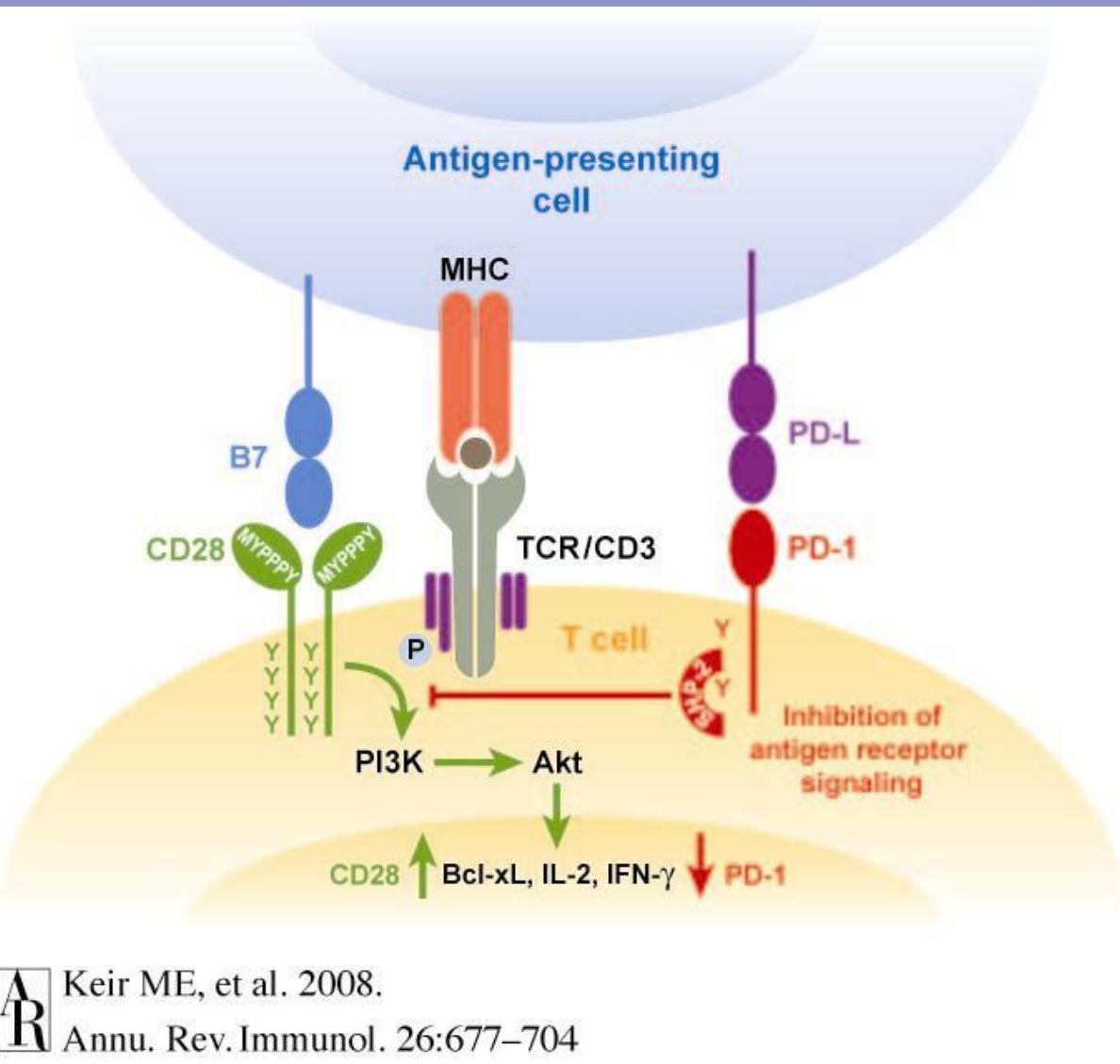
Orígen centro-germinativo de la célula de Reed Sternberg

Célula Precursora



Interacción de la célula de Reed-Sternberg con diferentes tipos de células del estroma ganglionar





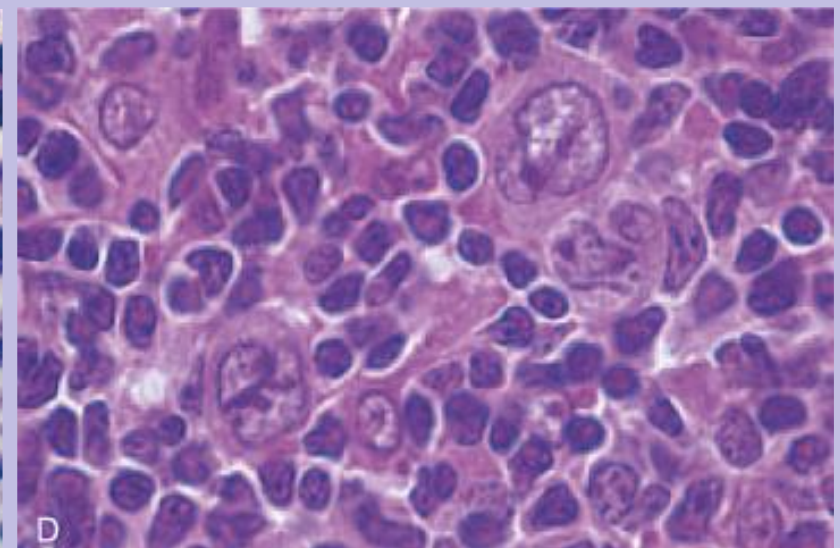
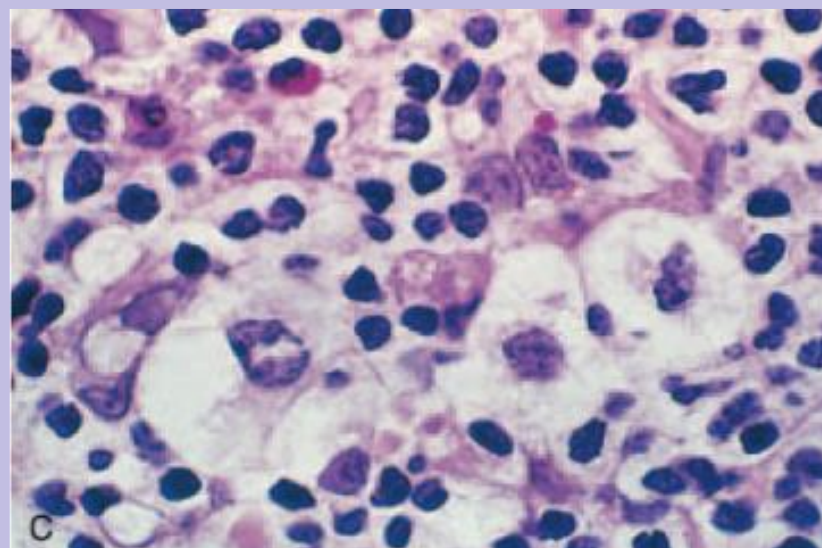
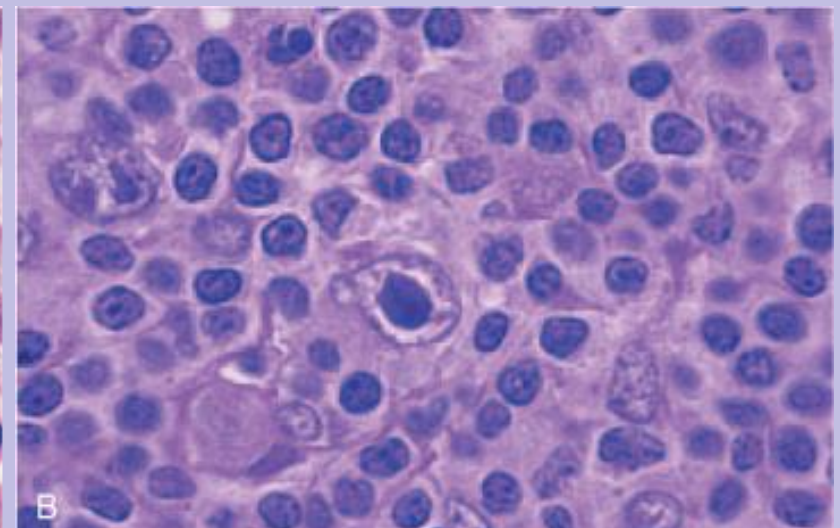
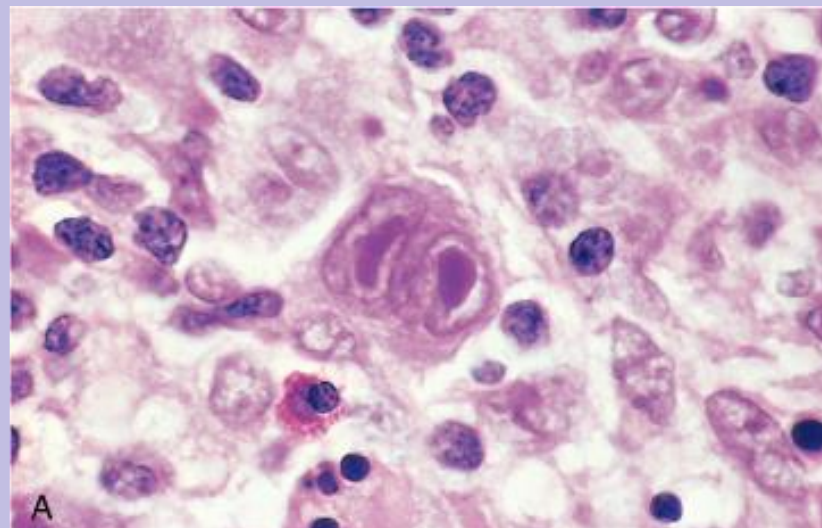
Señalización vía
PD1-PD1L
como mecanismo
de paralización
de respuesta inmune



Keir ME, et al. 2008.
Annu. Rev. Immunol. 26:677–704

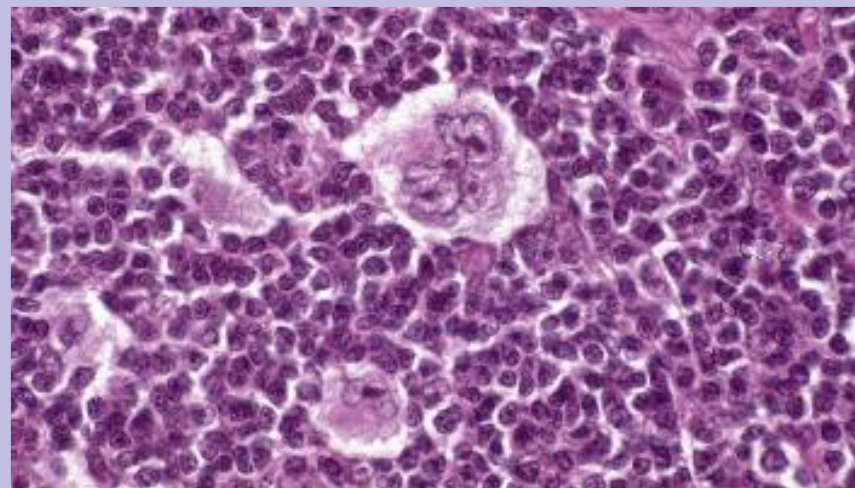
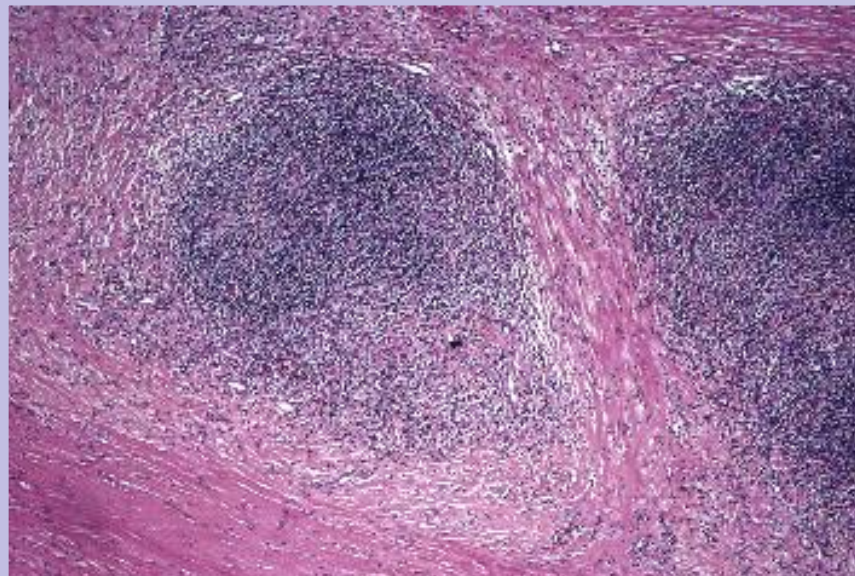
Annual Reviews

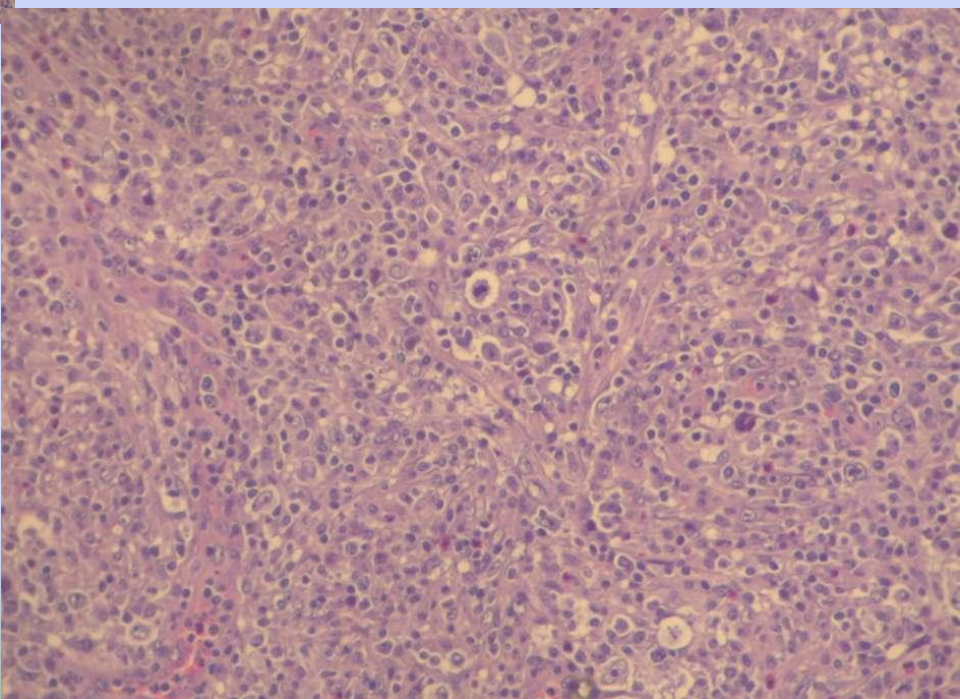
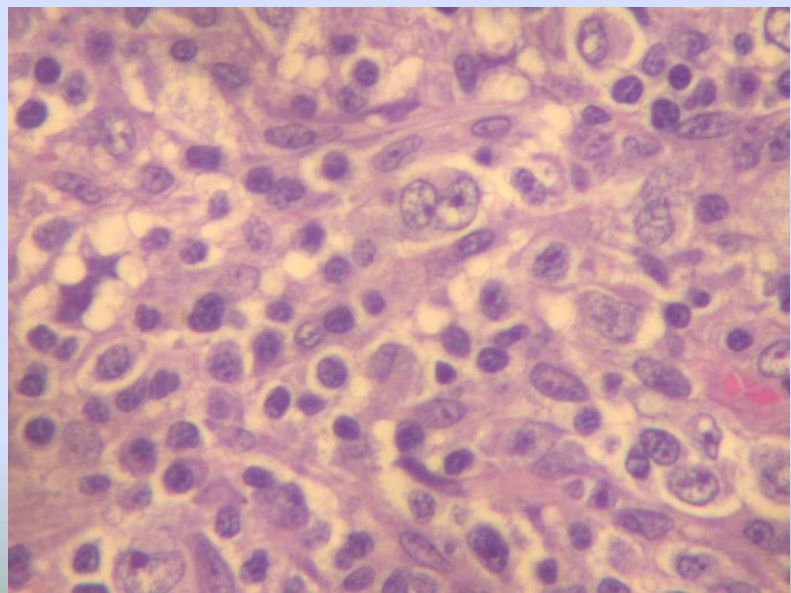
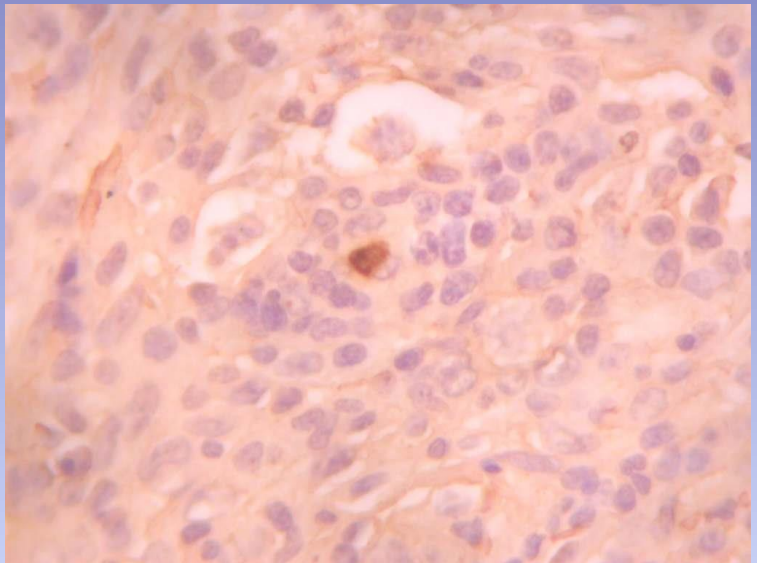
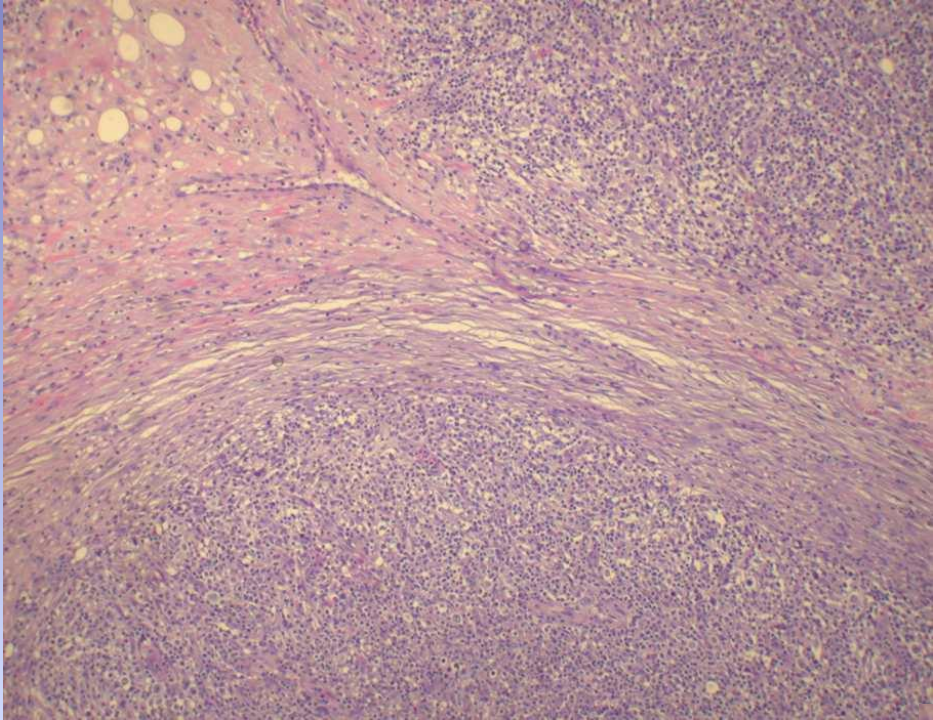
Células de Reed-Sternberg y variantes



LINFOMA HODGKIN CLASICO: ESCLEROSIS NODULAR

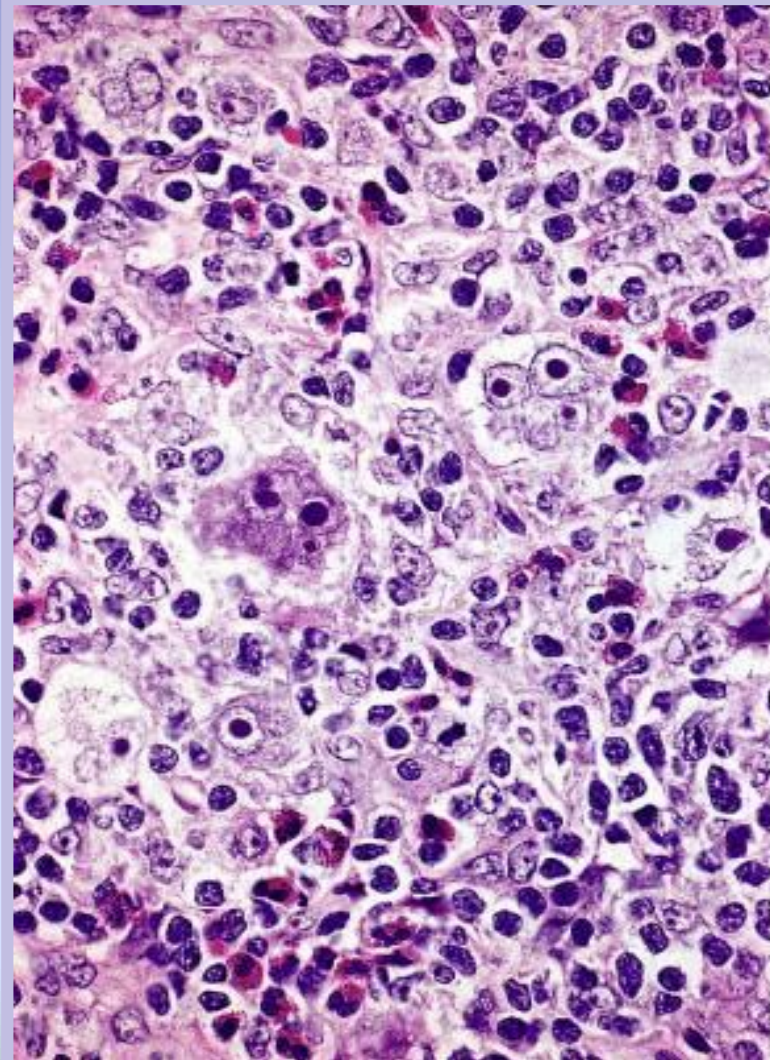
- Nódulos con células de R-S lacunares, linfocitos y eosinófilos, separados por bandas de colágeno
- 70% de LHC
- 80% afecta mediastino
- 10-40% relacionado a EBV
- Estadío II, 40% B





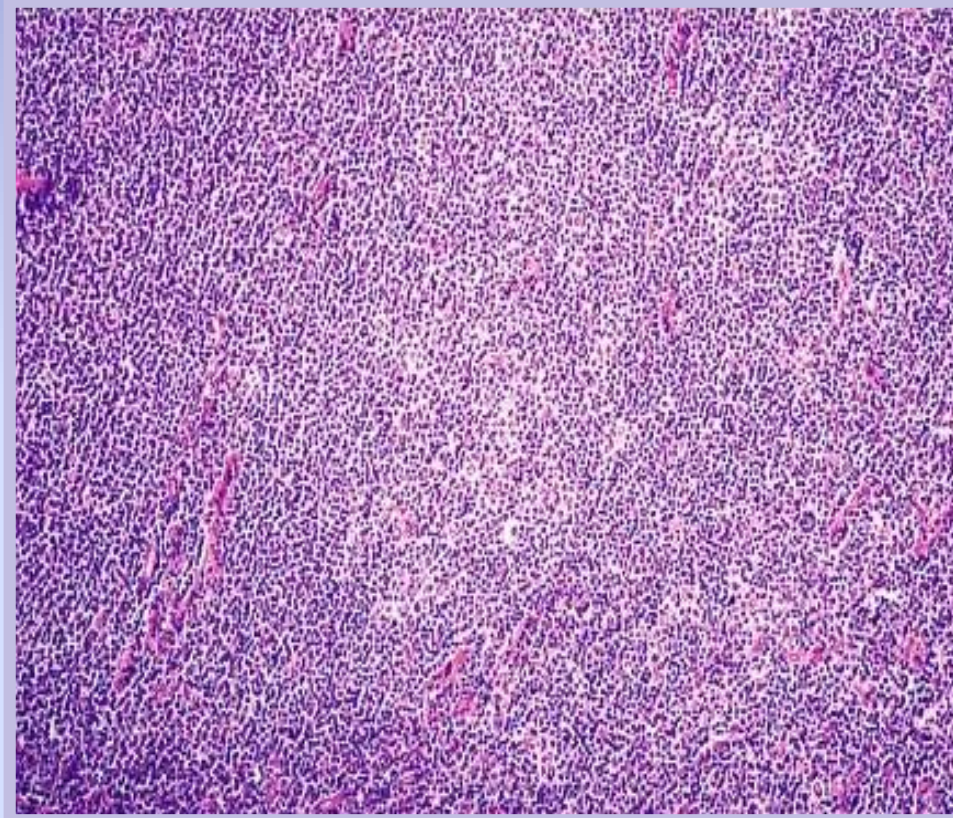
LINFOMA HODGKIN CLASICO: CELULARIDAD MIXTA

- células de R-S clásicas inmersas en un infiltrado difuso, de células inflamatorias variadas (linfocitos, células plasmáticas, eosinófilos, neutrófilos, e histiocitos)
- 20-25% de LHC
- Mas frecuente en varón, y en HIV+
- 70% relacionado a EBV (Latencia II)
- Estadio III o IV, B



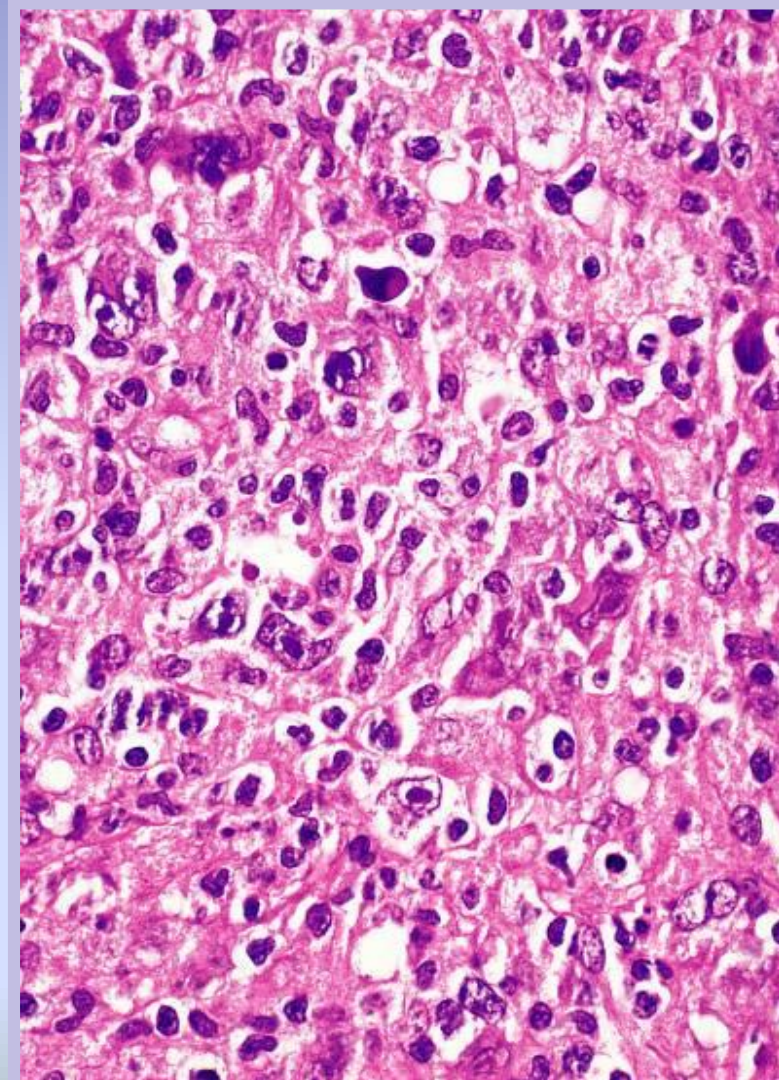
LINFOMA HODGKIN CLASICO: RICO EN LINFOCITOS

- Proliferación nodular o difusa con presencia de células R-S mono y multinucleadas dispersas, rodeadas de linfocitos T
- 5% de los LHC
- Predominio masculino
- Estadío I, II



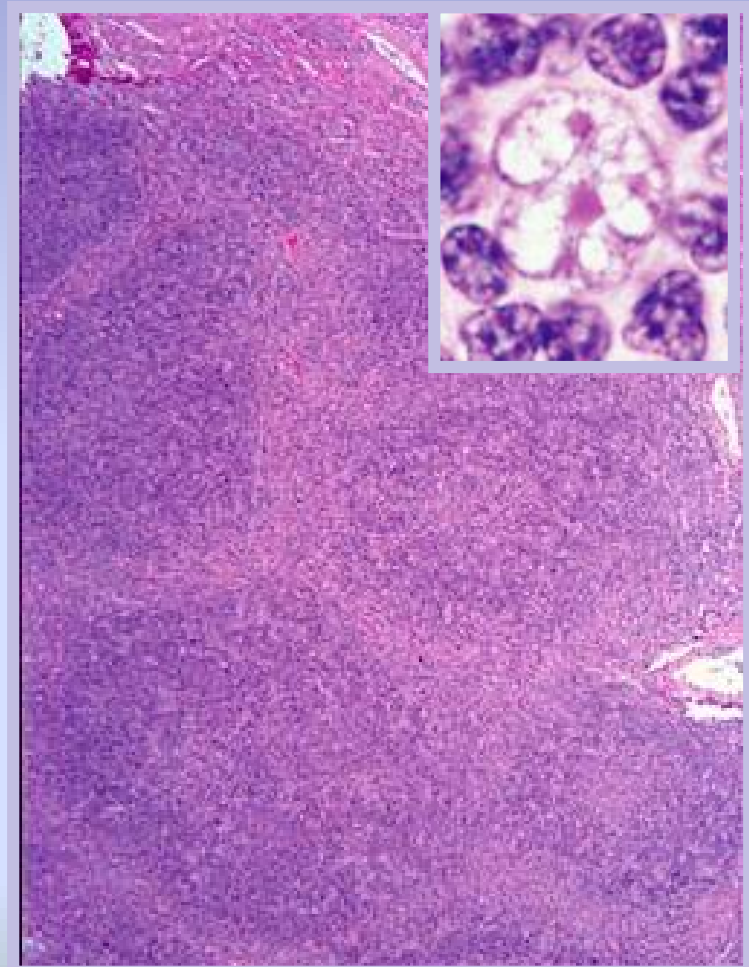
LINFOMA HODGKIN CLASICO: DEPLECION LINFOCITARIA

- Proliferación difusa rica en células de R-S, con depleción de linfocitos reactivos
- <5% de los LHC
- Predominio masculino, asociado a HIV y países subdesarrollados
- Estadío IV



LINFOMA HODGKIN PREDOMINIO LINFOCITARIO NODULAR

- Neoplasia de células B, con crecimiento nodular
- Célula L&H (linfocítica y/o histiocítica), CD20+, CD79a, PAX5
- Fondo: células foliculares dendríticas, histiocitos y linfocitos no neoplásicos B y T
- Estadío I
- Predominio masculino



Muchas
Gracias

